

# METODE U FIZIOLOGIJI INDUSTRIJSKIH MIKROORGANIZAMA

- pomoću različitih metoda moguće je:

identificirati, okarakterizirati i izolirati (izdvojiti) pojedine mikroorganizme i proizvode u ciljane svrhe;

opisati rasprostranjenost i aktivnost određenih mikroorganizama;

(bio)kemijsko i fizikalno-kemijsko međudjelovanje mikroorganizama i njihovih staništa;

povezanost biokemijskih reakcija u stanici i događanja na nivou stanice i čitave populacije;

različite biokemijske puteve i mehanizme prijenosa informacije u stanici i izvan stanice;

mehaničke karakteristike stanice (npr. turgor, elastičnost, ...);

raspodjelu i “kretanje” određenih molekula u različitim odjeljcima stanice;

...

## neke metode koje se mogu primijeniti u istraživanju fiziologije stanice (2)

- "vizualizacija":

- stanice (udjel vode u stanici!)
- organela
- molekula (!)

| prefiks                     | simbol(i) | potencija baze 10 | potencija baze 2 |
|-----------------------------|-----------|-------------------|------------------|
| yocto-                      | y         | $10^{-24}$        | —                |
| zepto-                      | z         | $10^{-21}$        | —                |
| atto-                       | a         | $10^{-18}$        | —                |
| femto-                      | f         | $10^{-15}$        | —                |
| pico-                       | p         | $10^{-12}$        | —                |
| nano-                       | n         | $10^{-9}$         | —                |
| micro-                      | $\mu$     | $10^{-6}$         | —                |
| milli-                      | m         | $10^{-3}$         | —                |
| centi-                      | c         | $10^{-2}$         | —                |
| deci-                       | d         | $10^{-1}$         | —                |
| (-)                         | —         | $10^0$            | $2^0$            |
| deka-                       | D         | $10^1$            | —                |
| hecto-                      | h         | $10^2$            | —                |
| kilo-                       | k ili K * | $10^3$            | $2^{10}$         |
| mega-                       | M         | $10^6$            | $2^{20}$         |
| giga-                       | G         | $10^9$            | $2^{30}$         |
| tera-                       | T         | $10^{12}$         | $2^{40}$         |
| peta-                       | P         | $10^{15}$         | $2^{50}$         |
| exa-                        | E         | $10^{18}$         | $2^{60}$         |
| zetta-                      | Z         | $10^{21}$         | $2^{70}$         |
| yotta-                      | Y         | $10^{24}$         | $2^{80}$         |
| * k = $10^3$ a K = $2^{10}$ |           |                   |                  |

# mikroskopija (1)

## 1. svjetlosna mikroskopija

$\lambda = 0.4 - 0.7 \mu\text{m}$  (boje)

rezolucija  $0.2 \mu\text{m}$  ili  $200 \text{ nm}$  (difrakcija)

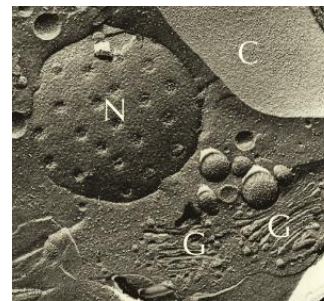
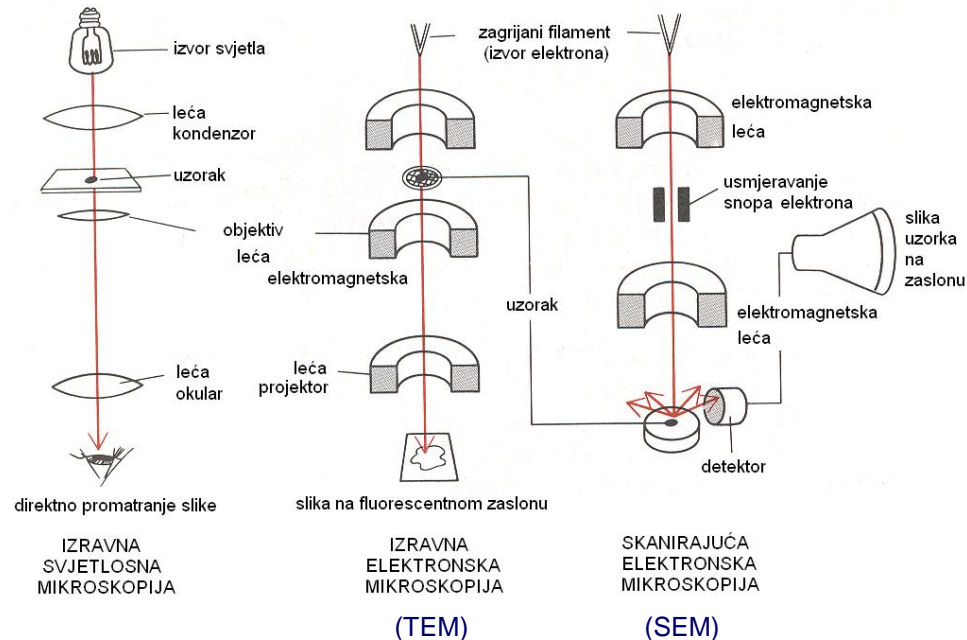
- izravna (transmisijska)
- fazno-kontrastna
- diferencijalno-kontrastna (Nomarski)
- tamnog polja

## 2. elektronska mikroskopija

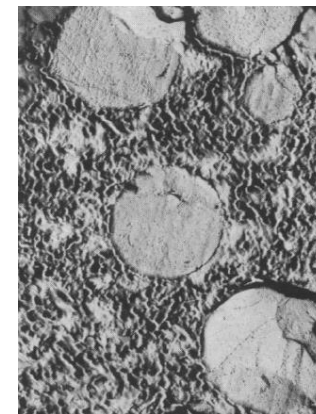
(rezolucija  $1 \text{ \AA}$ ,  $100\times$  bolja od svjetlosne)

- eng. Transmission Electron Microscope (TEM)
- eng. Scanning Electron Microscope (SEM)

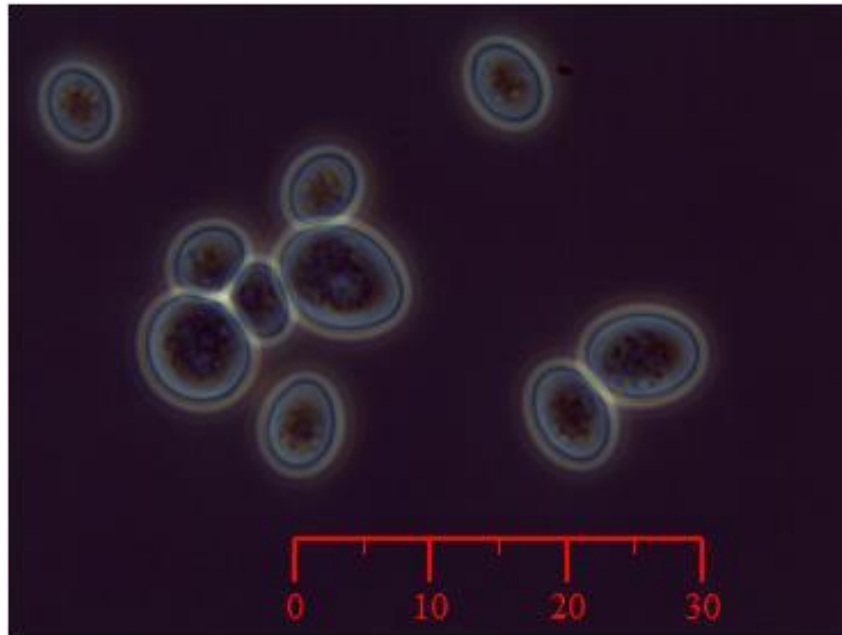
- tehnike: diferencijalno bojanje
- mikrotomski presjek
- eng. freeze-fracture
- eng. freeze-etch



freeze-fracture



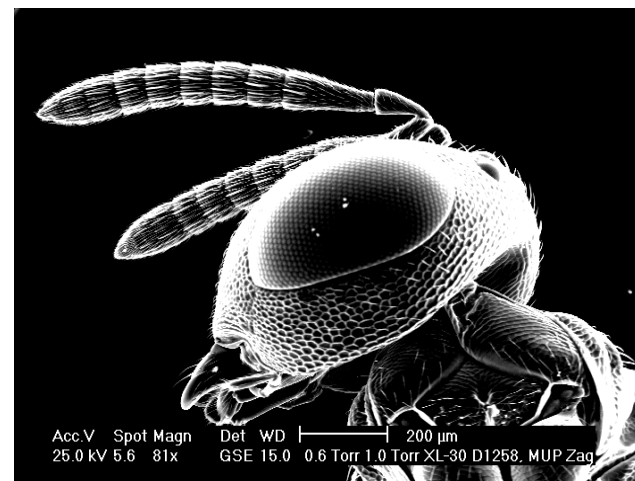
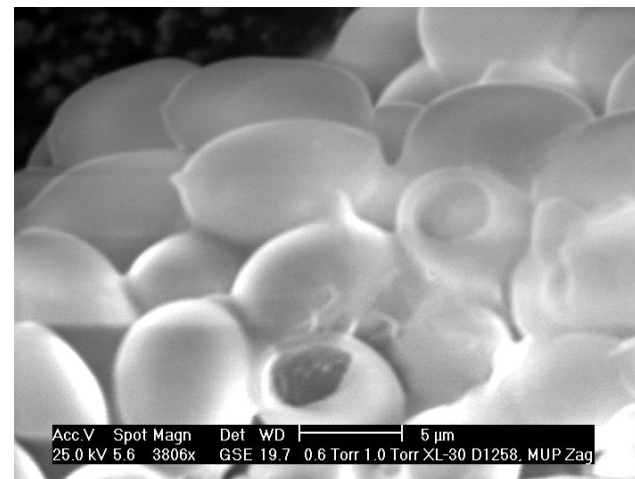
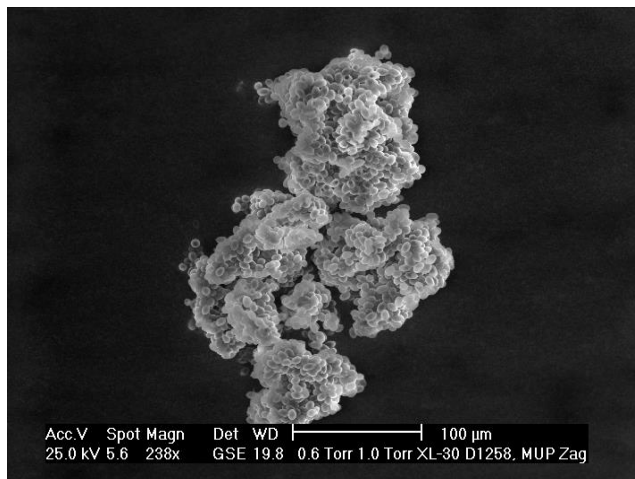
freeze-etch



*S. cerevisiae*, reverse-phase microscopy (Leica E3 camera; Leica, Wetzlar, Germany) with respective size-scale in  $\mu\text{m}$  created by using Dia Diagram Editor version 0.97.2

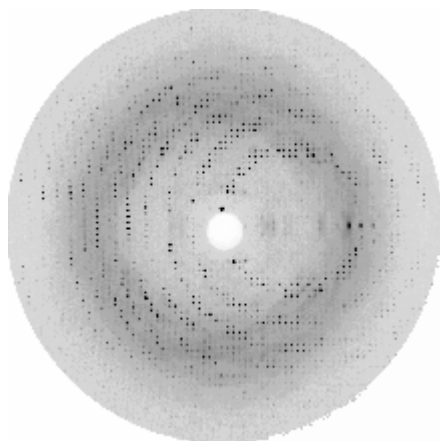
## mikroskopija (2)

### 2. elektronska mikroskopija

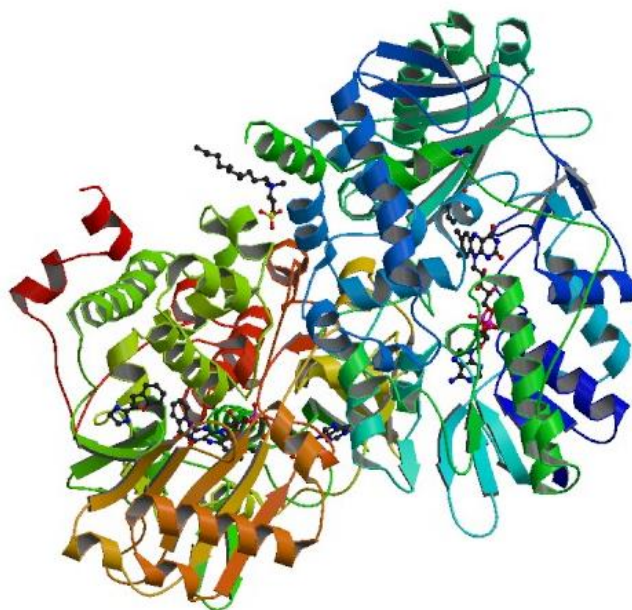


## difrakcija X-zraka

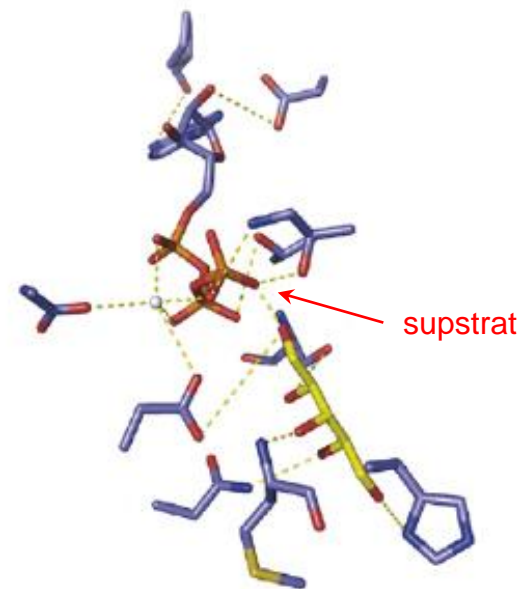
- $\lambda = 10 - 0.01 \text{ nm}$
- proučavanje strukture makromolekula ( $\text{\AA}$ ,  $0.1 \text{ nm}$ ,  $10^{-10} \text{ m}$ )



difrakcija X-zraka



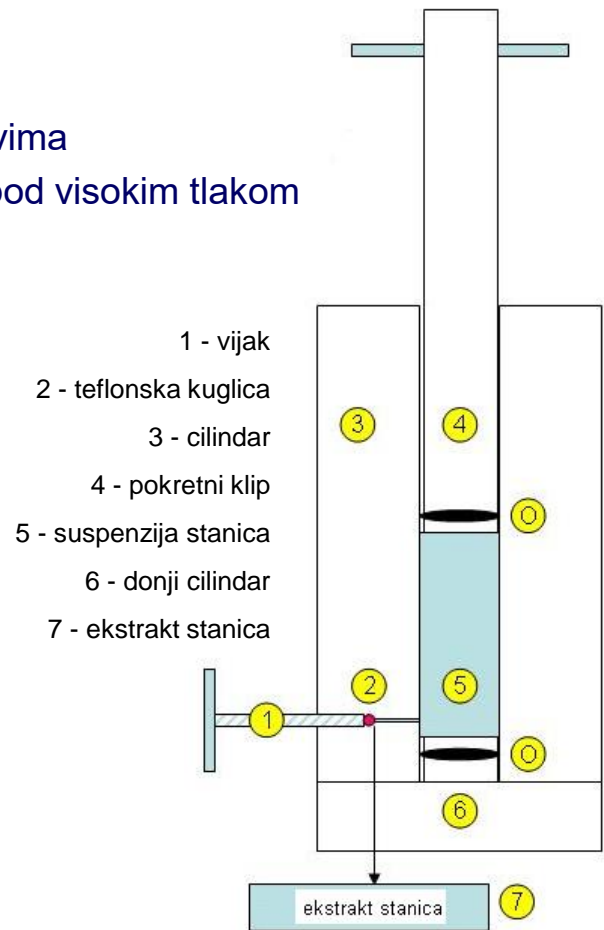
struktura proteina / enzima



primjer: aktivno mjesto enzima

## dobivanje i analiza ekstrakta stanica

- dobivanje ekstrakta stanica: ultrazvukom  
osmotskim šokom  
u tarionicima i kugličnim mlinovima  
propuštanjem kroz mali otvor pod visokim tlakom
- upotreba ekstrakcijskih reagensa: liza stanice i  
ekstrakcija (rekombinantnih) proteina iz *E. coli* npr. B-PER  
(eng. Bacterial Protein Extraction Reagent)
- analiza: izolacija i pročišćavanje proteina i dr. makromolekula  
određivanje enzimске aktivnosti (kinetika)  
primjena inhibitora i analogona





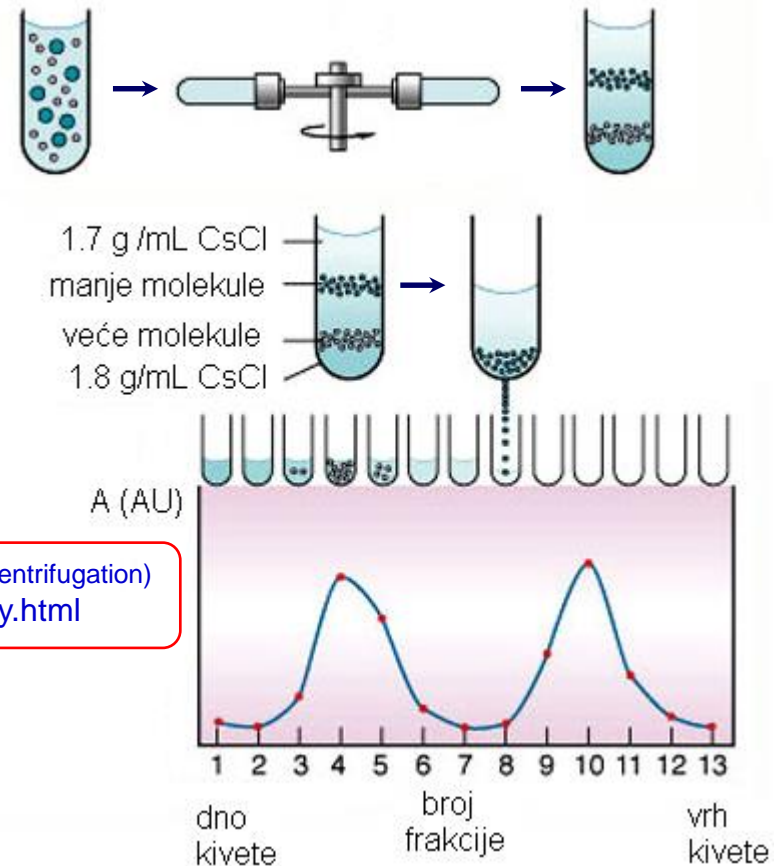
## frakcioniranje staničnih sastojaka: ultracentrifugiranje

- primjena ultracentrifuga
- diferencijalno centrifugiranje
  - male brzine                      npr. 1,000 g / 10 min
  - srednje brzine                    20,000 g / 20 min
  - velike brzine                     80,000 g / 1 sat
  - vrlo velike brzine               150,000 g / 3 sata

*g* relativna centrifugalna sila ili centrifugalni učinak

- razdvajanje u gradijentu gustoće (saharoza, CsCl)

animacija: **Cell Fractionation** (Sonication, Differential and Buoyant Density Centrifugation)  
[www.sumanasinc.com/webcontent/animations/microbiology.html](http://www.sumanasinc.com/webcontent/animations/microbiology.html)



- razdvajanje na temelju gustoće plutanja
- mikroskopska, kemijska i/ili enzimska analiza različitih frakcija stanica

animacija: **The Meselson-Stahl Experiment** (CsCl gradient)  
[www.sumanasinc.com/webcontent/animations/biology.html](http://www.sumanasinc.com/webcontent/animations/biology.html)

## izdvajanje, pročišćavanje i analiza makromolekula: tekućinska kromatografija (1)

- kromatografija:

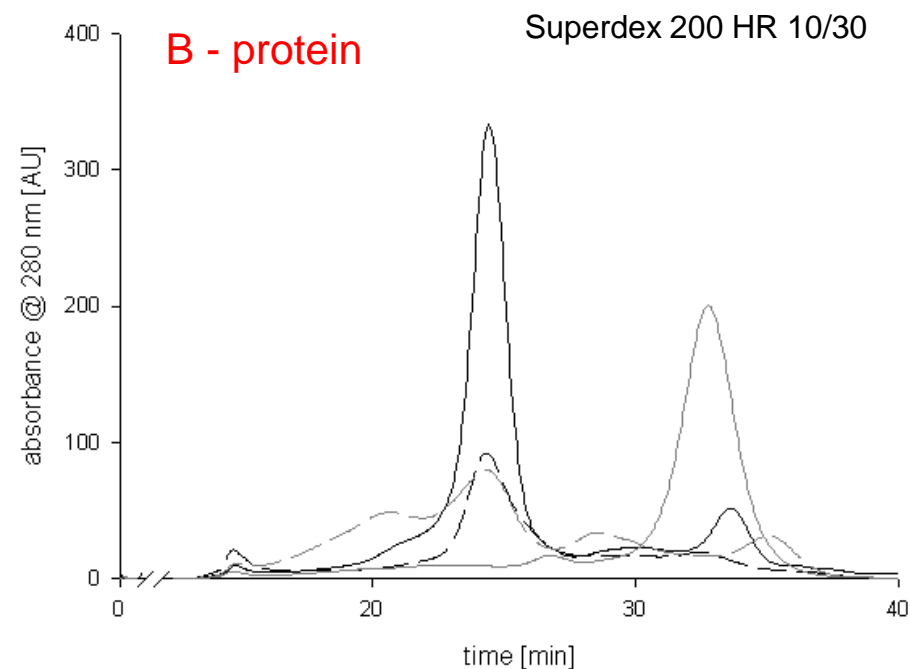
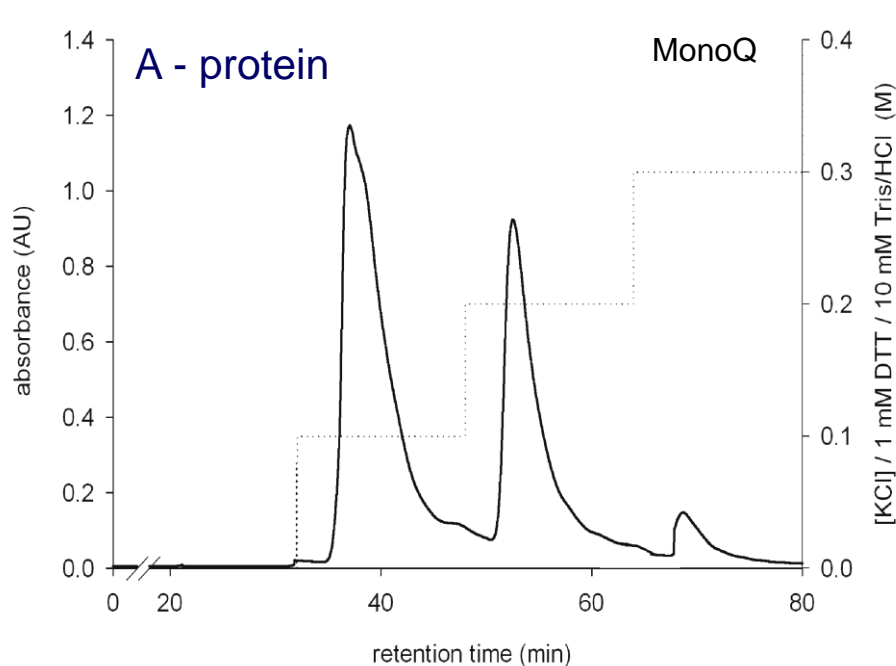
razdjelna (tankoslojna, papirna)

kromatografija u koloni: ionsko-izmjenjivačka (A)

gel-filtracija (B)

bio-specifična (afinitetna) kromatografija

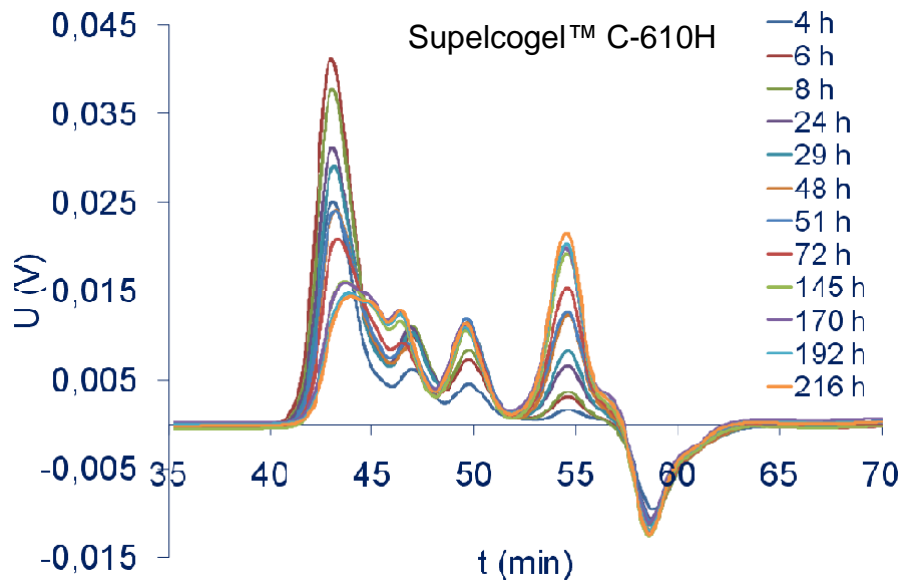
(npr. epoksi-aktivirana sefaroza za izdvajanje i pročišćavanje amilaza)



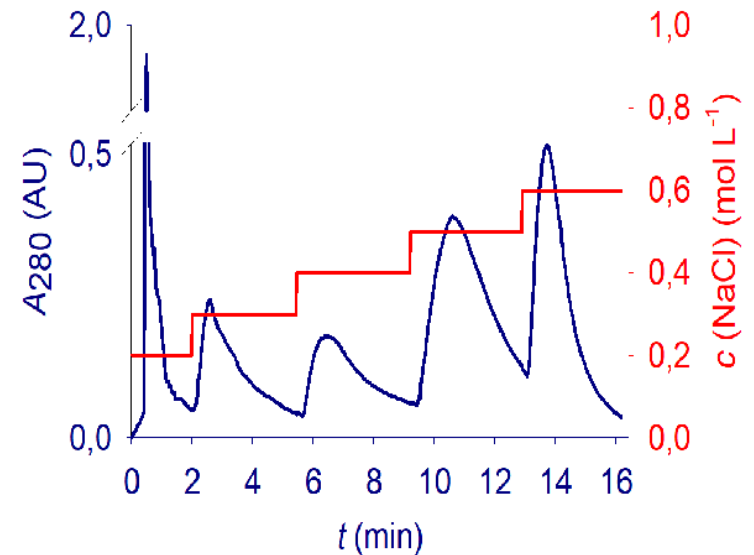
## izdvajanje, pročišćavanje i analiza makromolekula: tekućinska kromatografija (2)

- kromatografija: razdjelna (tankoslojna, papirna)
- kromatografija u koloni: ionsko-izmjenjivačka (C)
- gel-filtracija
- bio-specifična (afinitetna) kromatografija

### C - oligosaharidi (G2 – G7) i



### proteini

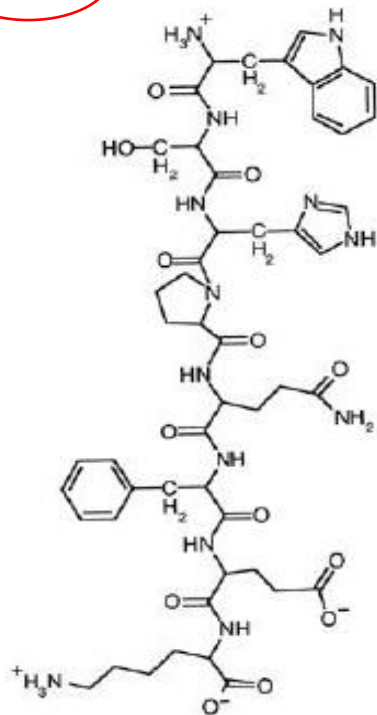


eng. High Pressure Liquid Chromatography (HPLC)

# izdvajanje, pročišćavanje i analiza makromolekula: tekućinska kromatografija (3)

- N- i C-terminalni tag-ovi:

FPLC



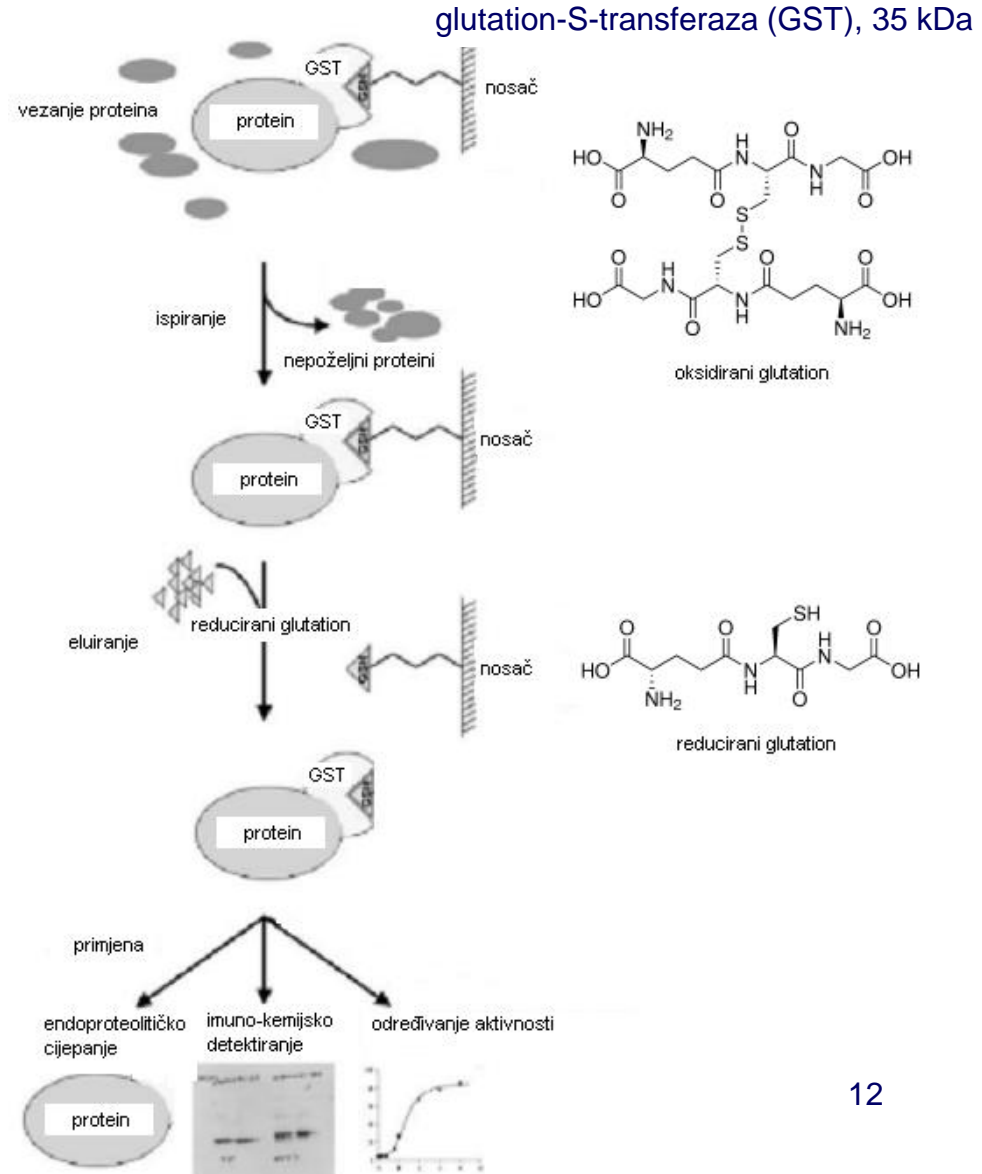
Strep-tag

**Strep**  
(NH<sub>2</sub>-WSHPQFEK-COOH)

**His** (6 x His)

**GST**

**Flag**



- N- i C-terminalni *tag*-ovi

## Integrated approach for production of recombinant acetylaceton dioxigenase from *Acinetobacter johnsonii*

GRIT D. STRAGANZ<sup>1</sup>, ANITA SLAVICA<sup>2</sup>, HANNES HOFER<sup>1</sup>, ULRIKE MANDL<sup>1</sup>,  
WALTER STEINER<sup>1</sup>, & BERND NIDETZKY<sup>1,2</sup>

<sup>1</sup>Institute of Biotechnology and Biochemical Engineering, and <sup>2</sup>Research Centre Applied Biocatalysis, Graz University of  
Technology, Petersgasse 12, A-8010 Graz, Austria

Table I. Reverse oligonucleotide primers used for the construction of expression vectors used in this study.

| Expression construct       | Primer   | Reverse primer sequence  | Restriction sites |
|----------------------------|----------|--|-------------------|
| pTXB1- <i>dke1</i> *       | PDkBam   | 5'-ATGGATCCTCAGGCAGGCAGCCTCATT'TTTG-3'                                       | <i>NdeI/BamHI</i> |
| pKYB1- <i>dke1</i>         | PDkBam   | 5'-ATGGATCCTCAGGCAGGCAGCCTCATT'TTTG-3'                                       | <i>NdeI/BamHI</i> |
| pKYB1- <i>dke1</i> _Intein | PDkInt   | 5'-GAGATAGCTCTTCCGCAGGCAGGCAGCCTCATT'TTTGGTAGC-3'                            | <i>NdeI/SapI</i>  |
| pKYB1- <i>dke1</i> _Strep  | PDkStrep | 5'-GATACGGATCCTTATTTTTCGAACTGCGGGTGGCTCC<br>AAGCGCTGGCAGCCTCATT'TTTGGTAGC-3' | <i>NdeI/BamHI</i> |

## izdvajanje, pročišćavanje i analiza makromolekula: tekućinska kromatografija i MS (4)

---

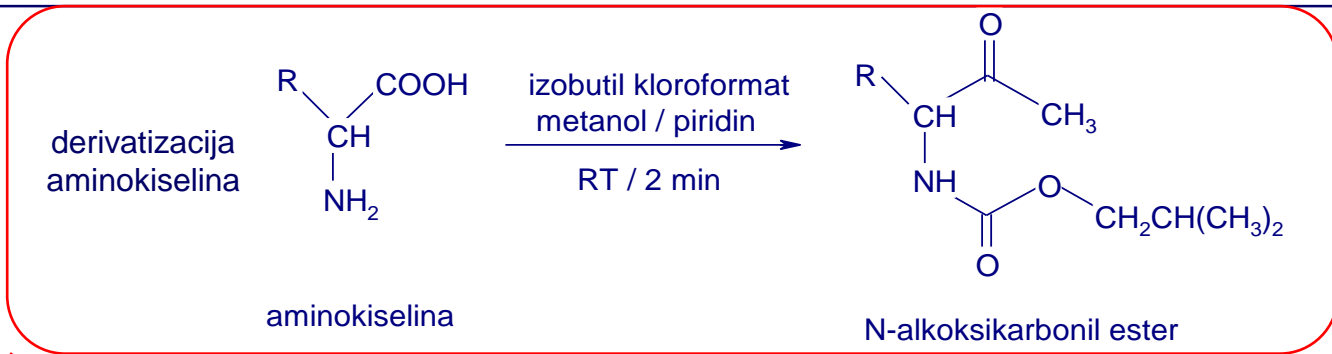
- nanoLC, hplc-chip-ms\_384

hyperlink 

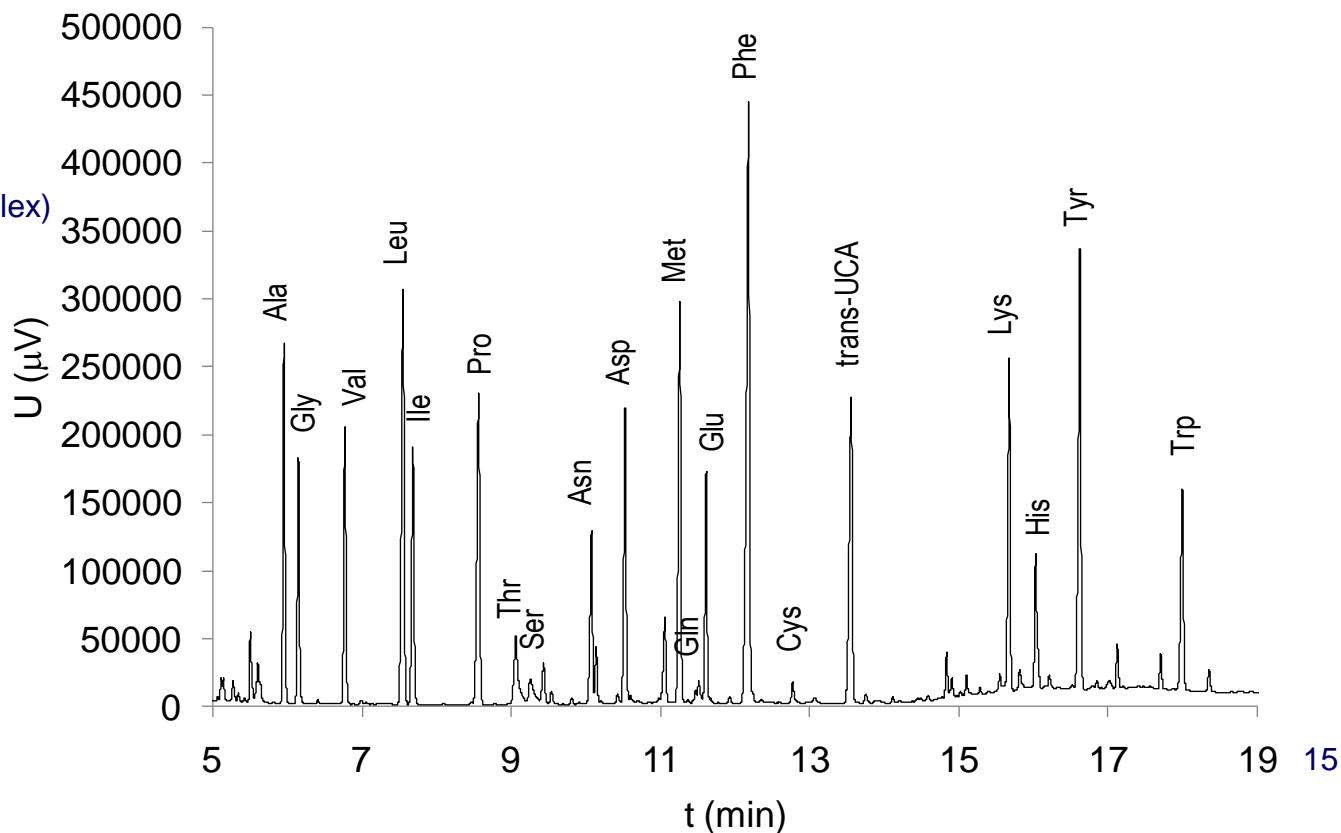
- 2D tekućinska kromatografija (npr. IEX + RP)

# izdvajanje, pročišćavanje i analiza aminokiselina: plinska kromatografija (5)

- GC i 2D GC

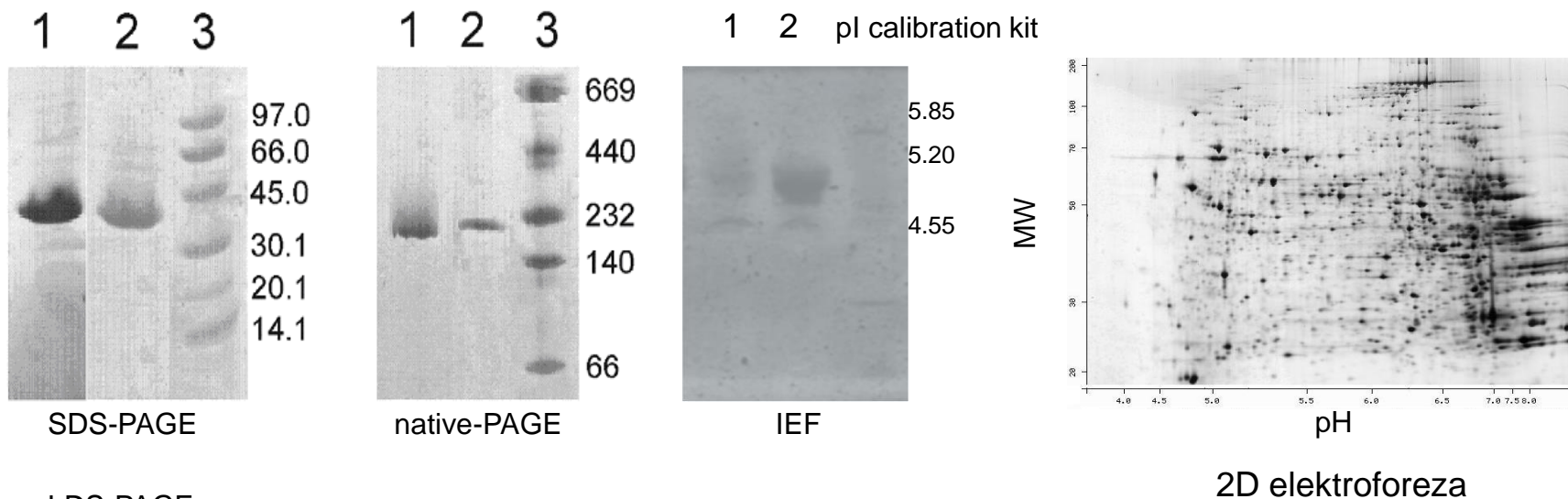


GC analiza  
AT-1701 kolona (Alltech Heliflex)  
(V = 2  $\mu$ L, 1 : 6 split ratio)

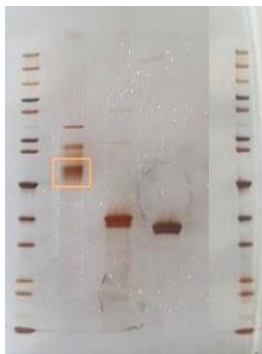


## Izdvajanje, pročišćavanje i analiza proteina: gel elektroforeza

- gel elektroforeza (SDS-PAGE, LDS-PAGE, native PAGE, IEF, 2D)



LDS-PAGE

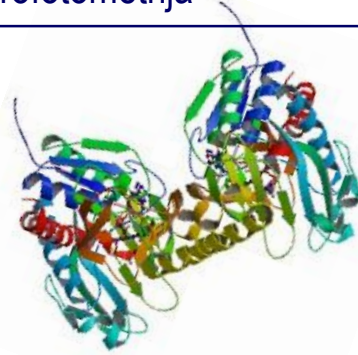


animacija: **Gel Electrophoresis (DNA)**  
**Heat Changes Protein Structure**  
[www.sumanasinc.com/webcontent/animations/biology.html](http://www.sumanasinc.com/webcontent/animations/biology.html)

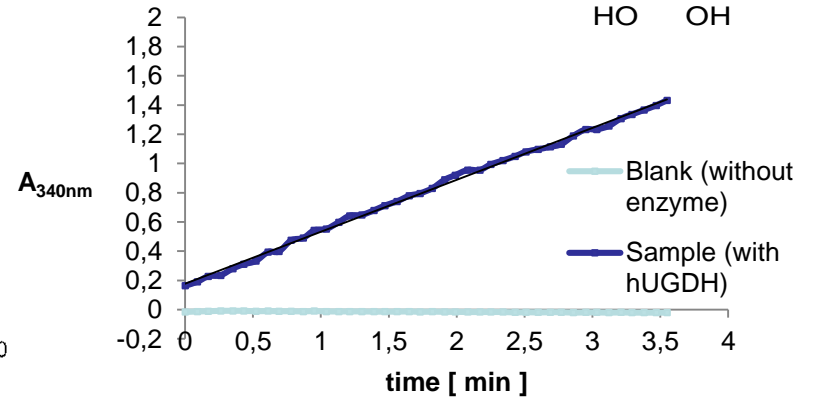
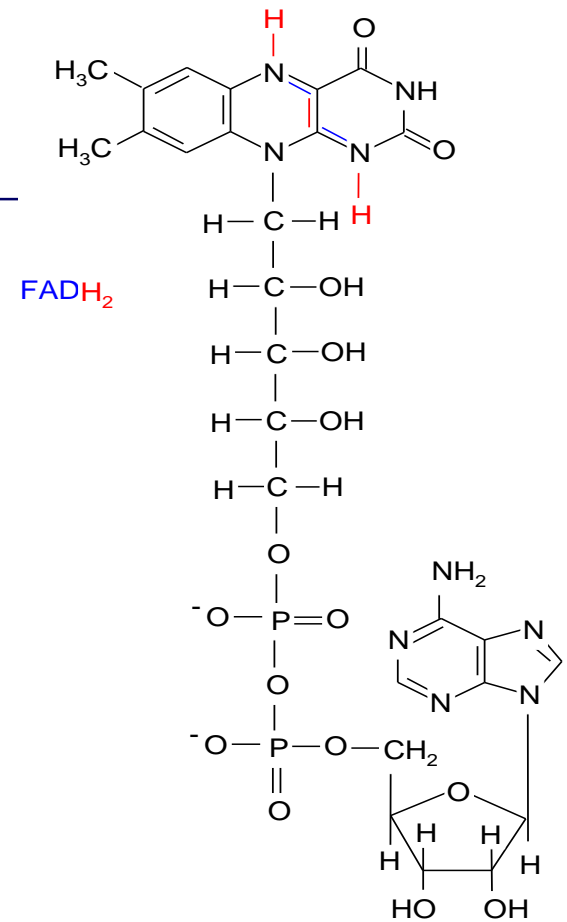
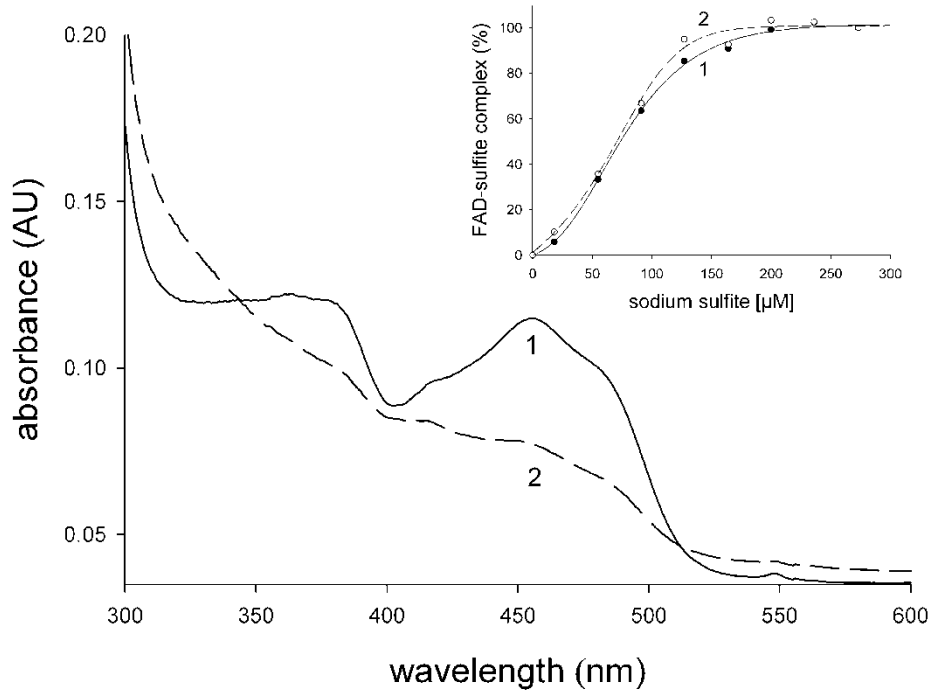


# analiza proteina: UV/Vis spektrofotometrija

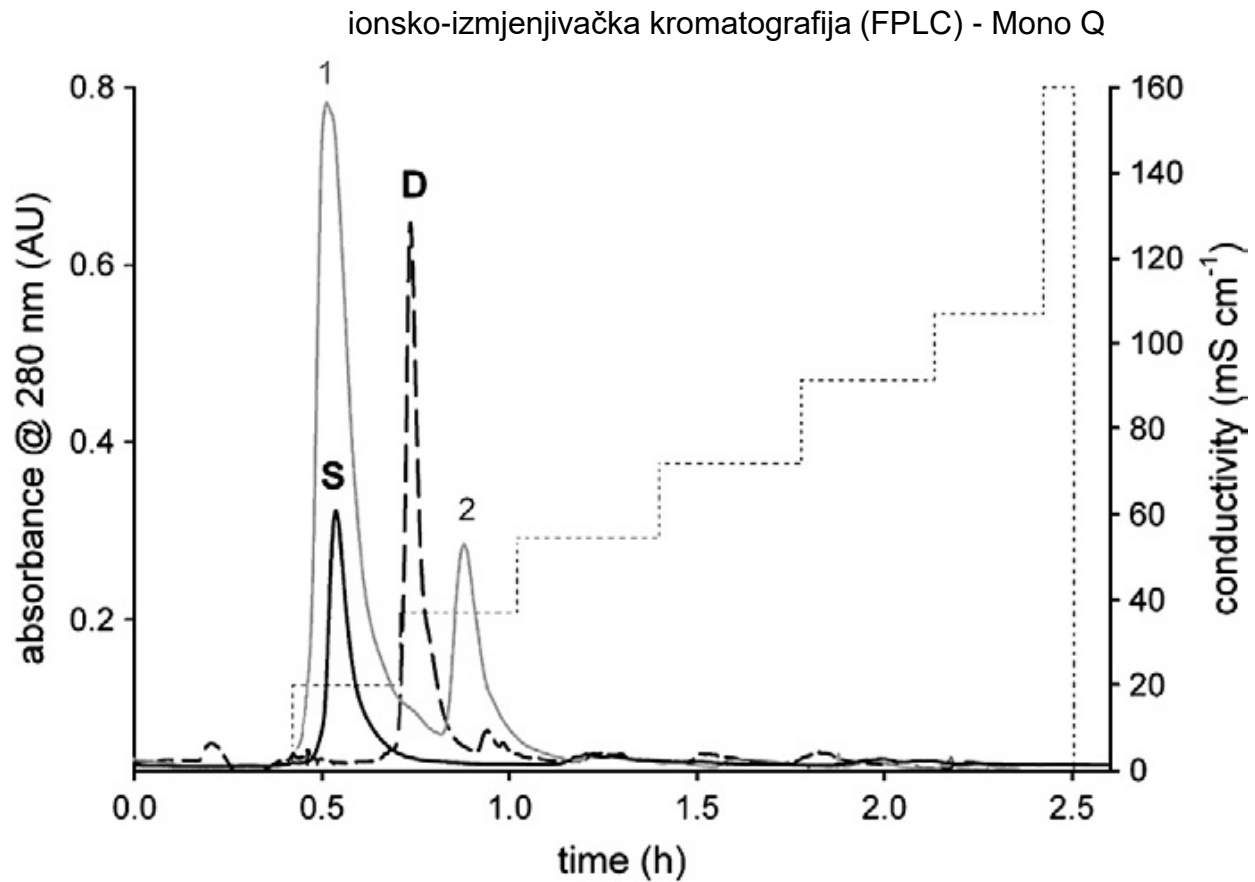
- UV/Vis spektrofotometrija



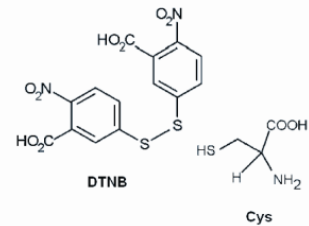
## FAD-zavisna oksidaza D-aminokiselina



analiza proteina: specifične (ciljane) modifikacije (1) - točkasta mutacija

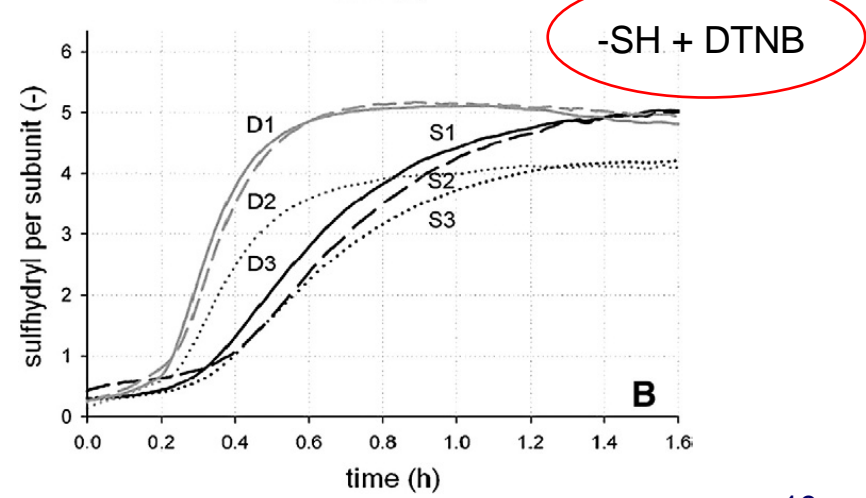
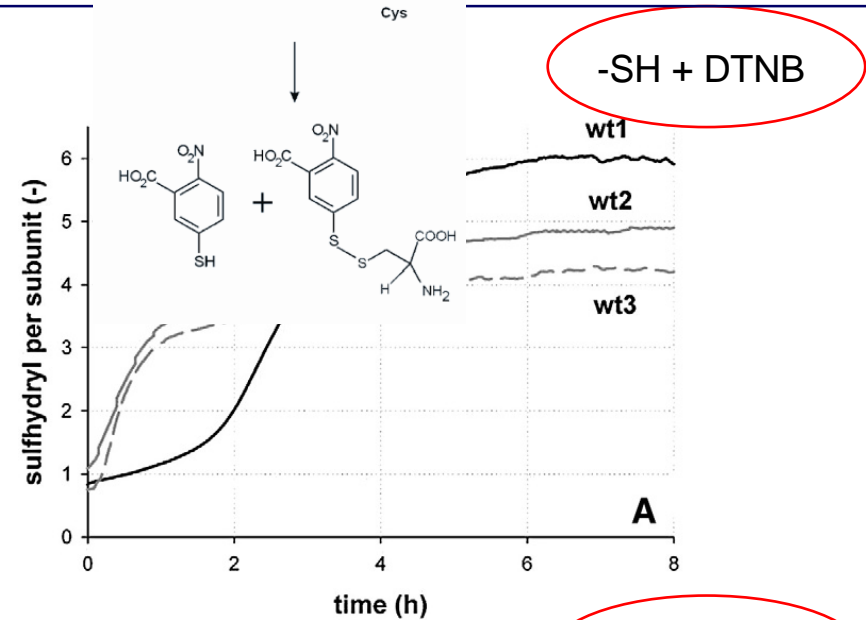
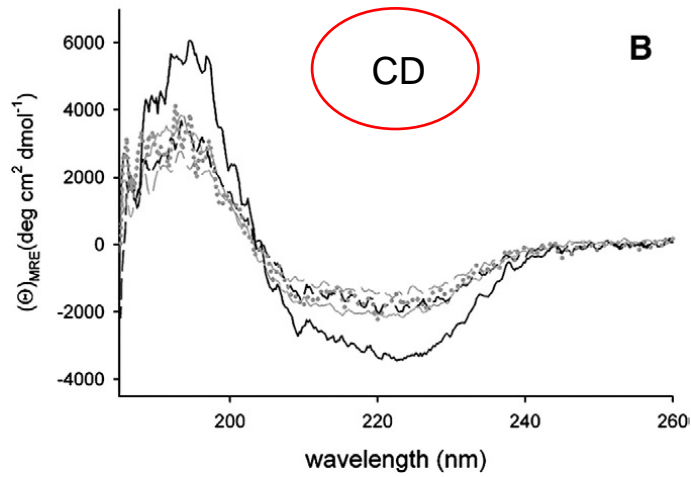
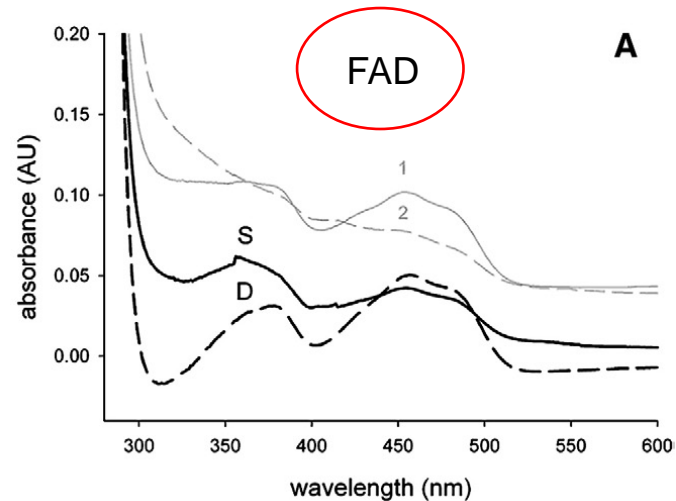


# analiza proteina: specifične (ciljane) modifikacije (2)



## kemijske modifikacije

### točkasta mutacija



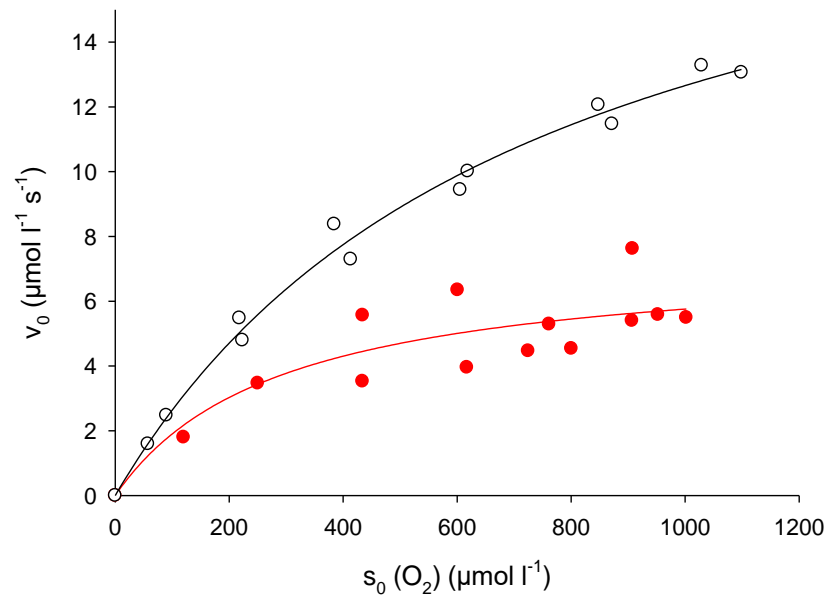
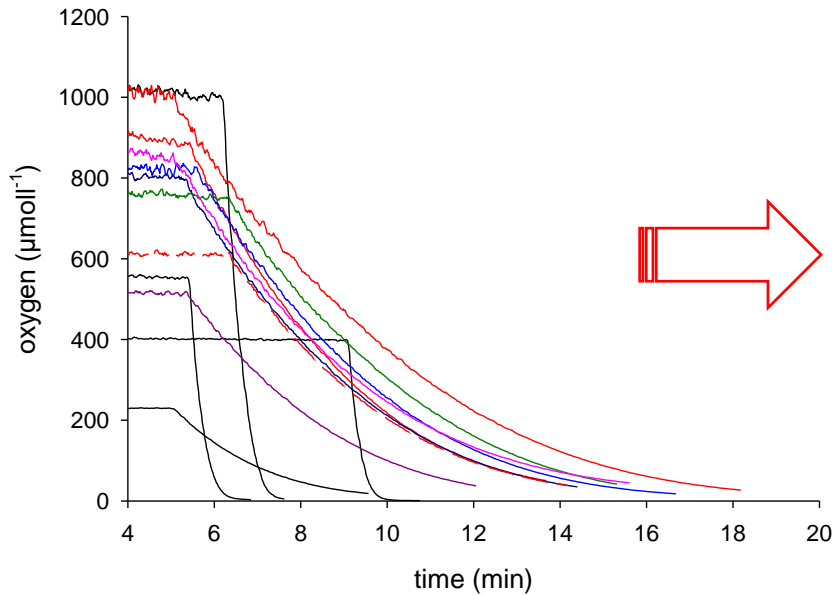
aktivnost enzima: primjena mikrosenzora ( $O_2$ ) (1)



## aktivnost enzima: primjena mikrosenzora ( $O_2$ ) (2)



princip: smanjenje intenziteta fluorescencije  
(eng. quenching) kisikom



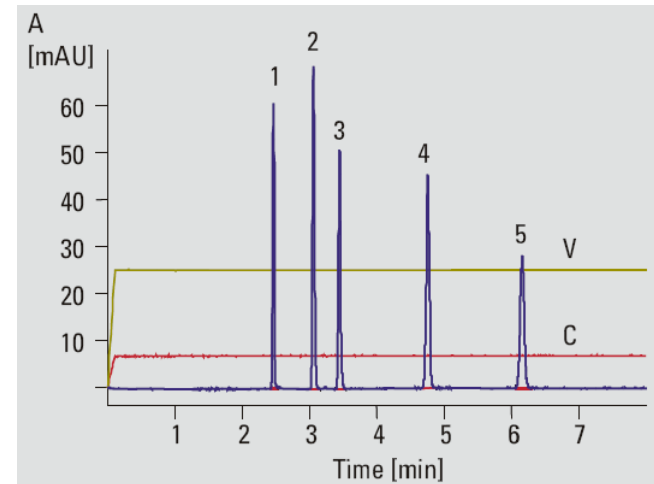
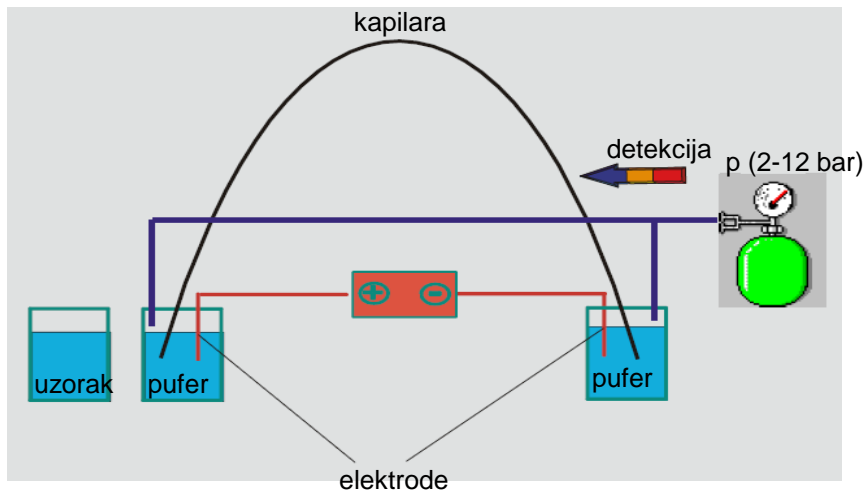
| Specifications                  | Gaseous & Dissolved Oxygen  | Dissolved Oxygen   |
|---------------------------------|---|--|
| Measurement range               | 0 – 3% $O_2$<br>0 – 28.8 hPa  | 0 – 1.1 mg/L<br>0 – 34.5 $\mu\text{mol}$   |
| Limit of detection              | 0.002 % oxygen  | 1 ppb  |
| Resolution                      | $\pm 0.0009$ % $O_2$ at 0.002 % $O_2$<br>$\pm 0.001$ % $O_2$ at 0.02 % $O_2$<br>$\pm 0.010$ hPa at 0.23 hPa<br>$\pm 0.015$ hPa at 2.0 hPa | $\pm 0.4$ ppb at 10 ppb<br>$\pm 0.63$ ppb at 200 ppb<br>$\pm 0.013$ $\mu\text{mol}$ at 0.31 $\mu\text{mol}$<br>$\pm 0.020$ $\mu\text{mol}$ at 6.20 $\mu\text{mol}$ |
| Accuracy                        | $\pm 1$ ppb or $\pm 5\%$ of the respective concentration<br>whichever is higher   |  |
| Drift at 0 % oxygen             | < 10 ppb within 30 days (sampling interval of 1 min)  |  |
| Measurement temperature range   | 0 – 50 °C   |  |
| Response time TS* ( $t_{90}$ )  | not available   |  |
| Response time TF** ( $t_{90}$ ) | < 15 s (gas)  | < 30 s (liquid)  |

## analiza proteina: kapilarna elektrokromatografija

### - kapilarna elektrokromatografija

HPLC + CE (kapilarna elektroforeza),  
elektrolit prolazi kroz kolonu (kapilaru) “tjeran” električnim poljem,  
detekcija: UV/Vis, fluorescencija, MS i dr.

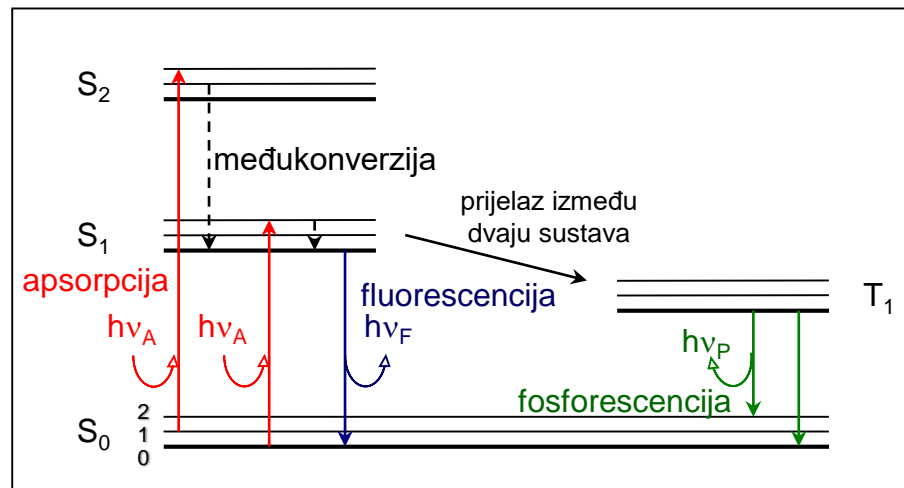
V = 25 kV  
C – jakost (A)  
t = 20°C  
p = 10-12 bar  
25 mM ACN/Tris.HCl, pH 8



**luminiscencija:** molekule određene tvari u pobuđenom stanju emitiraju svjetlost određene valne duljine

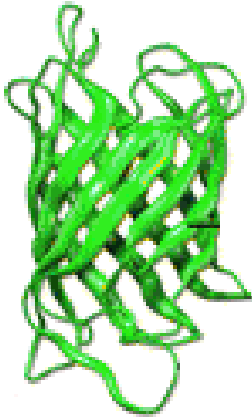
**fosforescencija:**  $e^-$  u orbitali višeg energetskog nivoa ima isti spin kao  $e^-$  u orbitali nižeg (osnovnog) energetskog nivoa, povratak  $e^-$  u orbitalu nije povoljan i odvija se relativno sporo ( $10^3$ - $10^0$  s $^{-1}$ ) uz emisiju fotona

**fluorescencija:**  $e^-$  u orbitali višeg energetskog nivoa ima suprotan spin s obzirom na  $e^-$  u orbitali nižeg energetskog nivoa, povratak u orbitalu je povoljan i odvija se brzo ( $10^8$  s $^{-1}$ ) uz emisiju fotona



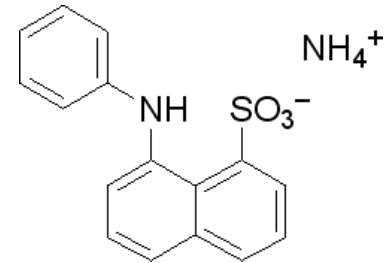
Jabloński dijagram

## fluorescentna spektrometrija: GFP i nekovalentno obilježavanje proteina

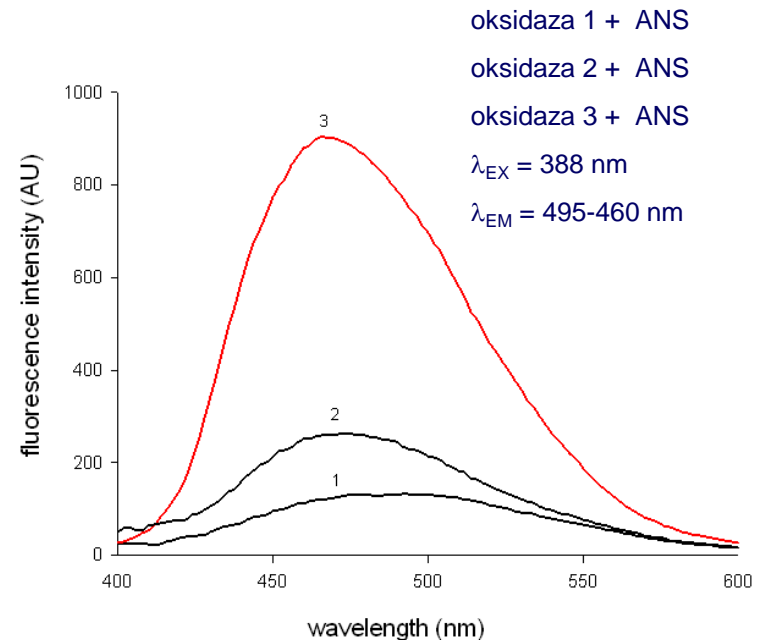


**GFP** (eng. Green Fluorescent Protein)

- npr. *Aequorea victoria*, *Renilla reniformis*, itd.
- varijacije GFP (cijan, žuti, crveni,...)
- FRET (eng. Fluorescence Resonance Energy Transfer)
- neke primjene GFP-a: obilježavanje stanica i organela, porijeklo stanica, marker kod fuzije, ekspresija gena, protein-protein međudjelovanje, lokalizacija proteina,...

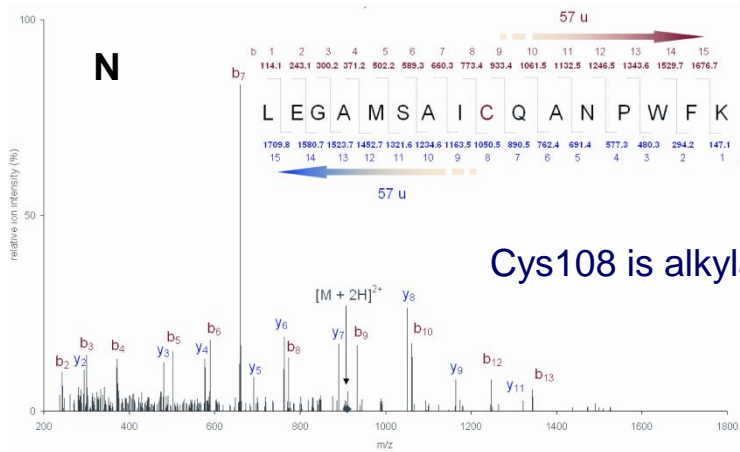


amonijeva sol 8-anilino-1-naftalen sulfonske kiseline (ANS)



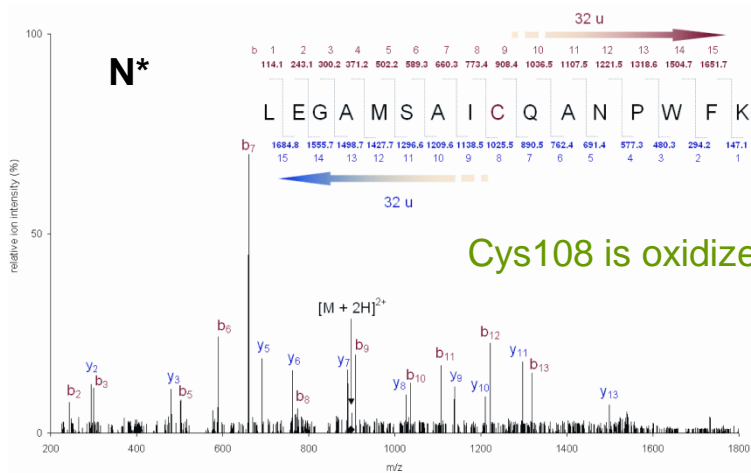
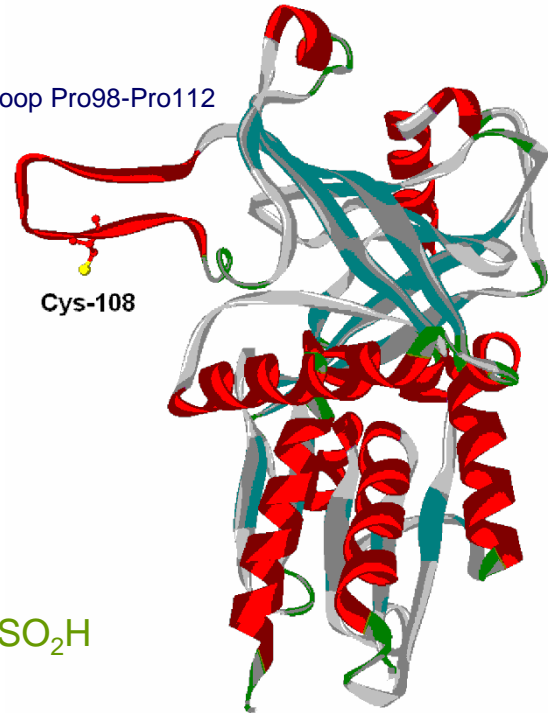


# oksidativna posttranslacijska modifikacija: FAD-zavisna oksidaza D-aminokiselina (TvDAO)



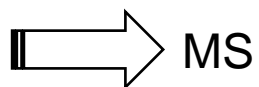
Cys108 is alkylated

loop Pro98-Pro112

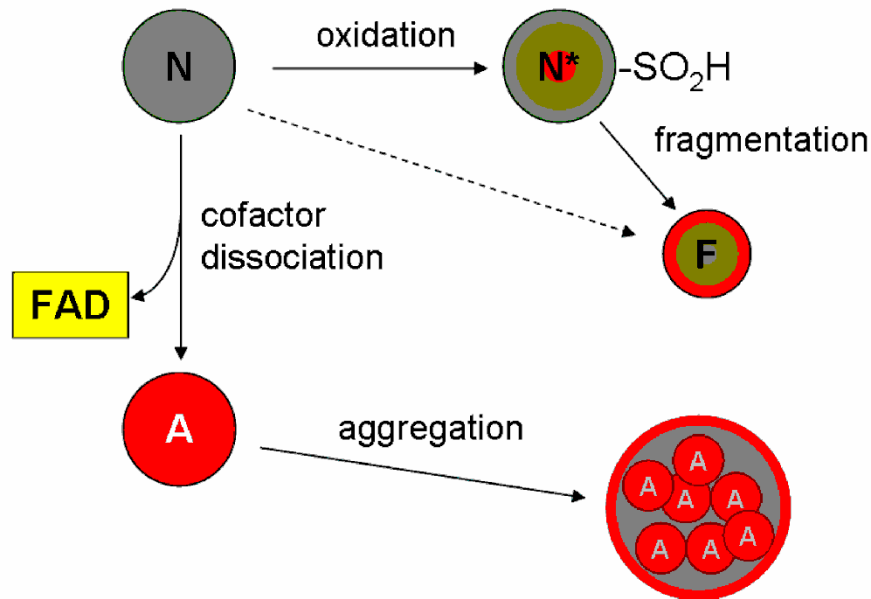


Cys108 is oxidized to Cys-SO<sub>2</sub>H

Predviđena trodimenzionalna struktura TvDAO



## mehanizam inaktivacije: oksidacija (signalno cijepanje - fragmentacija) i agregacija TvDAO



N...native

N\*..oxidatively modified

F...fragmented

A...apo-protein form

green...active

red...inactive

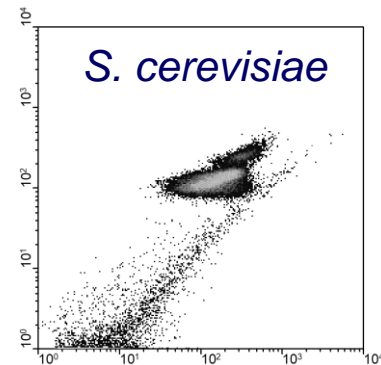
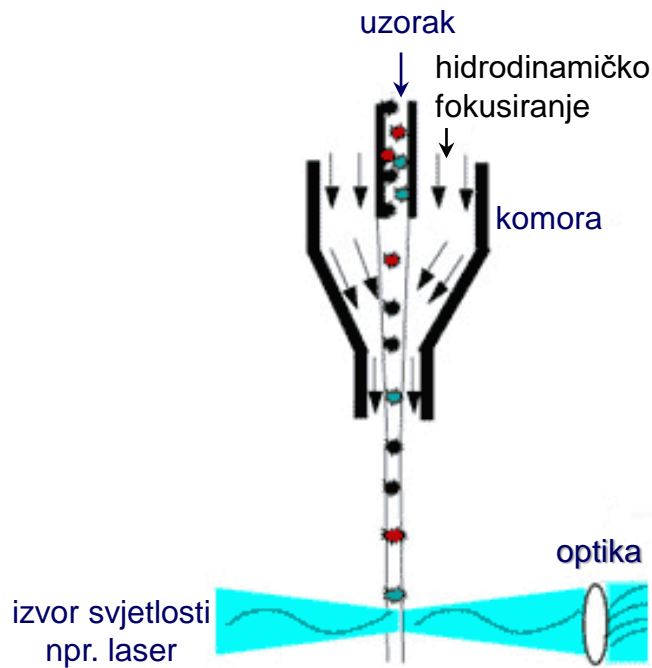


animacija: **Life Cycle of a Protein**

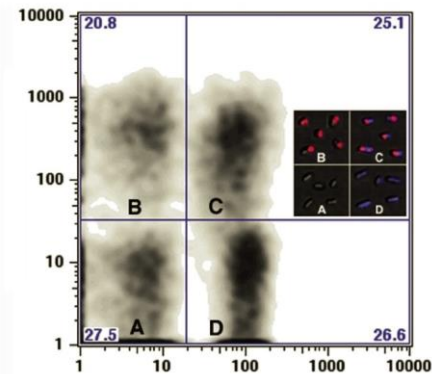
[www.sumanasinc.com/webcontent/animations/molecularbiology.html](http://www.sumanasinc.com/webcontent/animations/molecularbiology.html)

## protočna citometrija

- vrlo precizna metoda koja koristi principe apsorpcije svjetlosti, rasapa svjetlosti (eng. light scattering), pobuđivanja svjetlošću (eng. light excitation) i emisije svjetlosti određene valne duljine
- tijekom analize uzorka (čestica, dijelova stanice ili cijelih stanica promjera 0.5-40  $\mu\text{m}$ ) nastaje set višeparametarskih podataka koji su karakteristični za uzorak

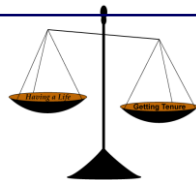


Professor Chris J. Hewitt  
Ashton University, UK



specifična fluorescencija

## spektrometrija masa (eng. mass spectrometry, MS)



- prvi spektrometar masa
- prvi MS stručnjak: Antoine Laurent de Lavoisier (1743-1794)
- MS analiza: prikupljanje, obrada i interpretacija spektara masa iona i njihovih fragmenata

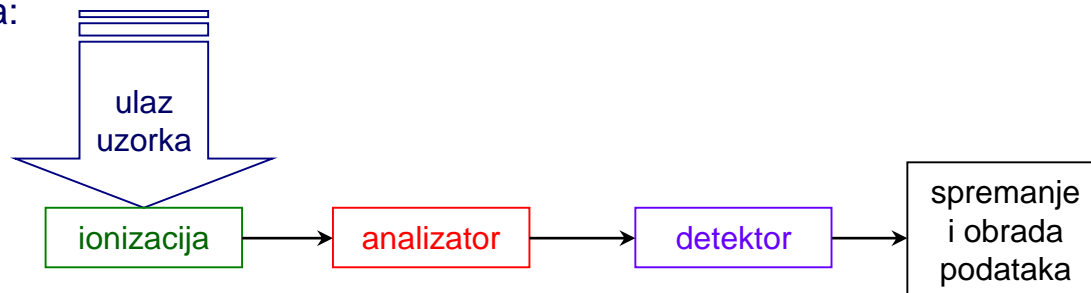


J. B. Fenn, Nobelova nagrada za kemiju 2002. godine (1/4),

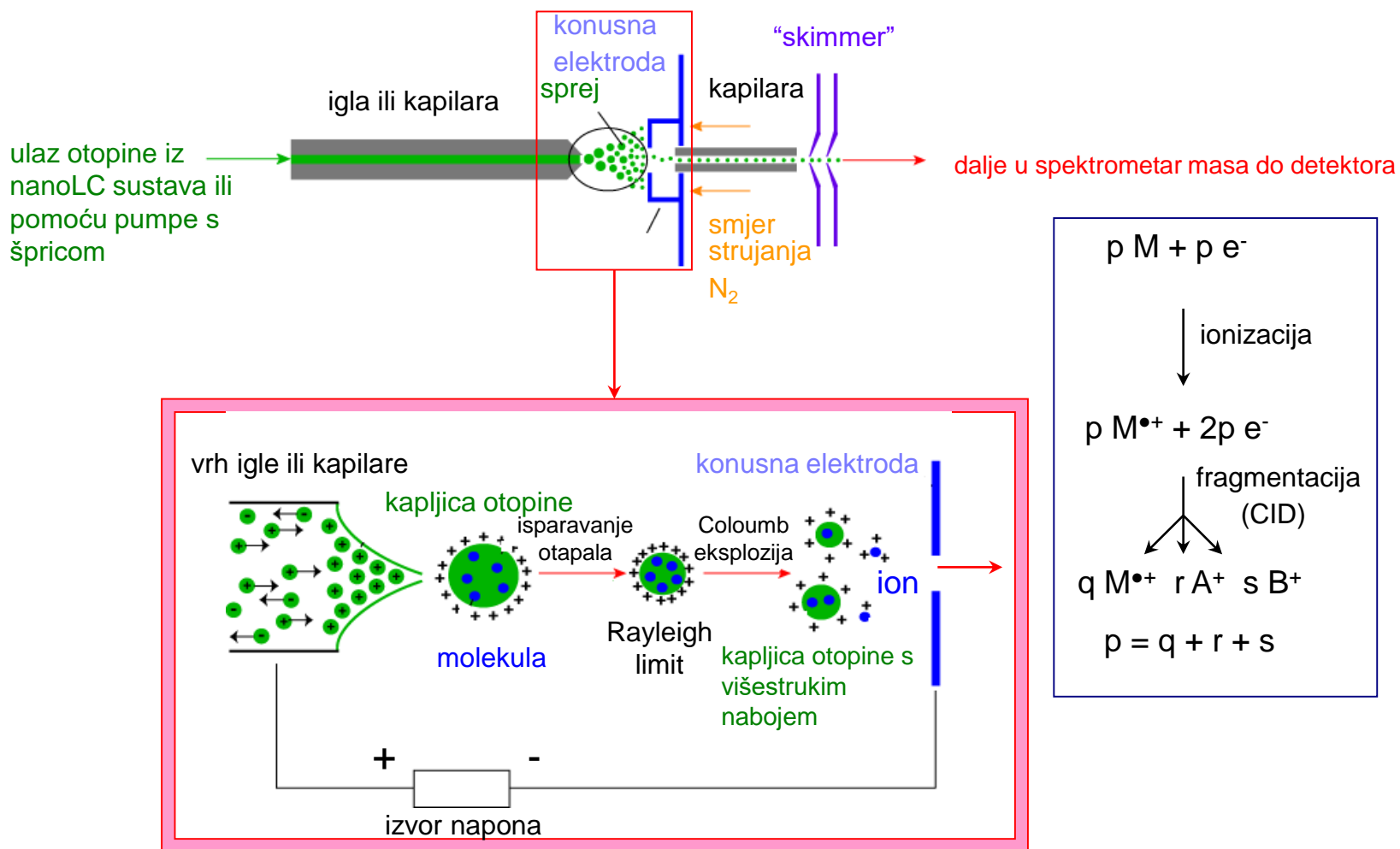
Fenn J.B., Mann M., Meng C.K., Wong S.F., Whitehouse C.M. (1989) Electrospray ionization for mass spectrometry of large biomolecules, *Science*, 246(4926):64-71.

Karas M., Hillenkamp F. (1988) Laser desorption ionization of proteins with molecular masses exceeding 10,000 daltons, *Anal. Chem.* 60(20):2299-301.

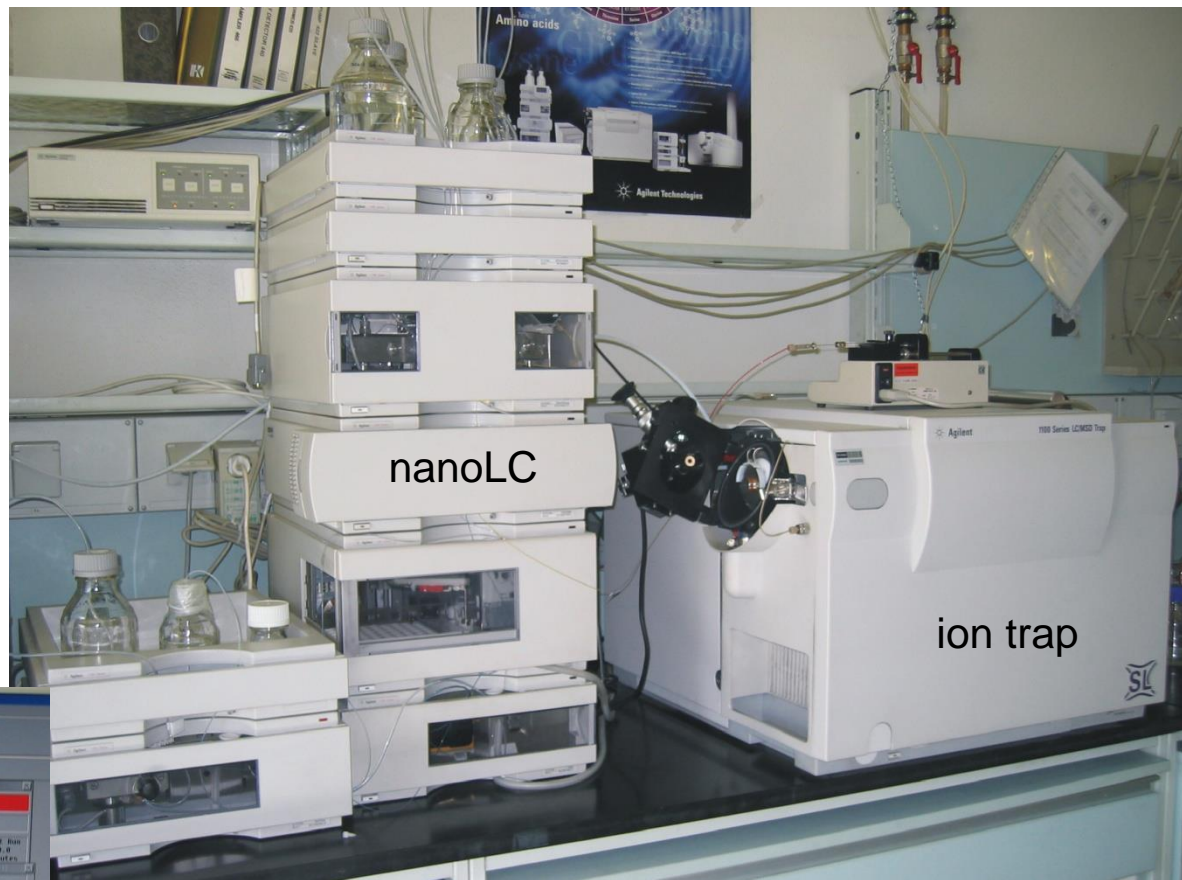
- naredna generacija MS sustava: MS putovnice (identifikacija proteoma)
- naredna generacija MS stručnjaka: carinski službenik
- **“POVIJEST” I PRIPREMA UZORKA!**(npr. denaturacija proteina, redukcija, alkilacija, tripsin, zaustavljanje reakcije)
- komponentne MS sustava:



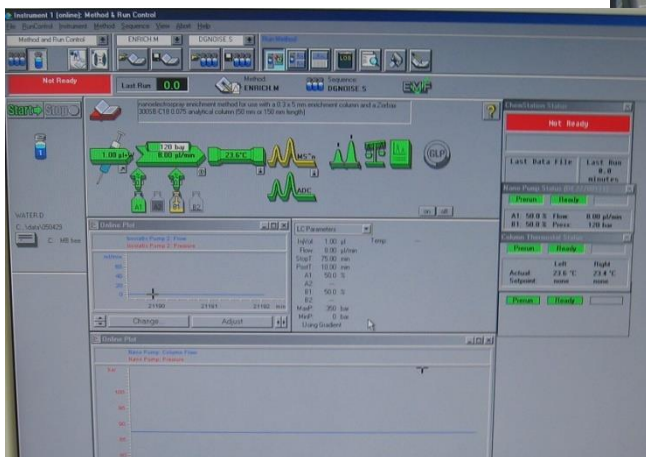
# spektrometrija masa (MS): ESI (eng. ElectroSpray Ionization) ("soft" ionization) (1)

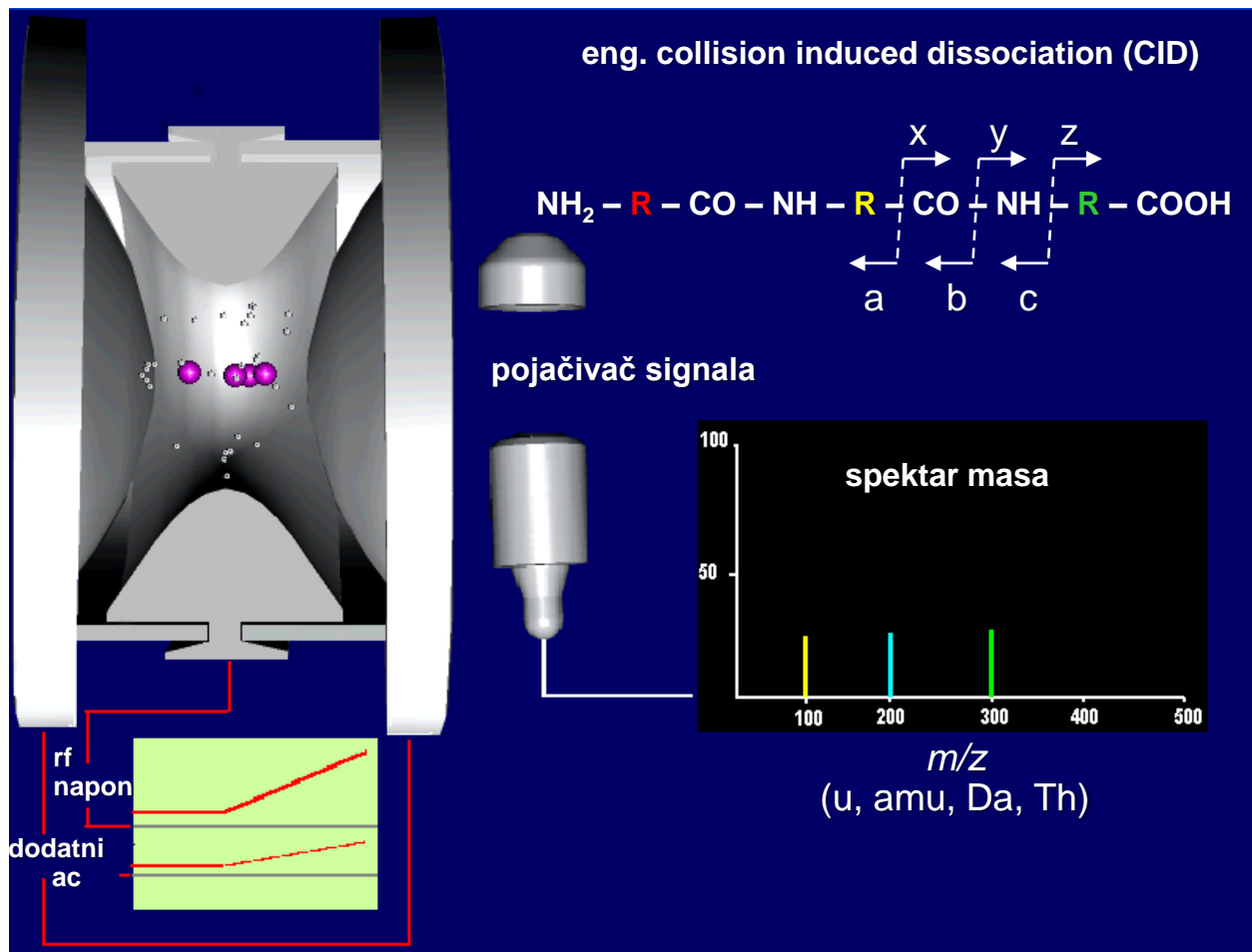


## spektrometrija masa (MS): ESI (eng. ElectroSpray Ionization) (“soft” ionization) (2)

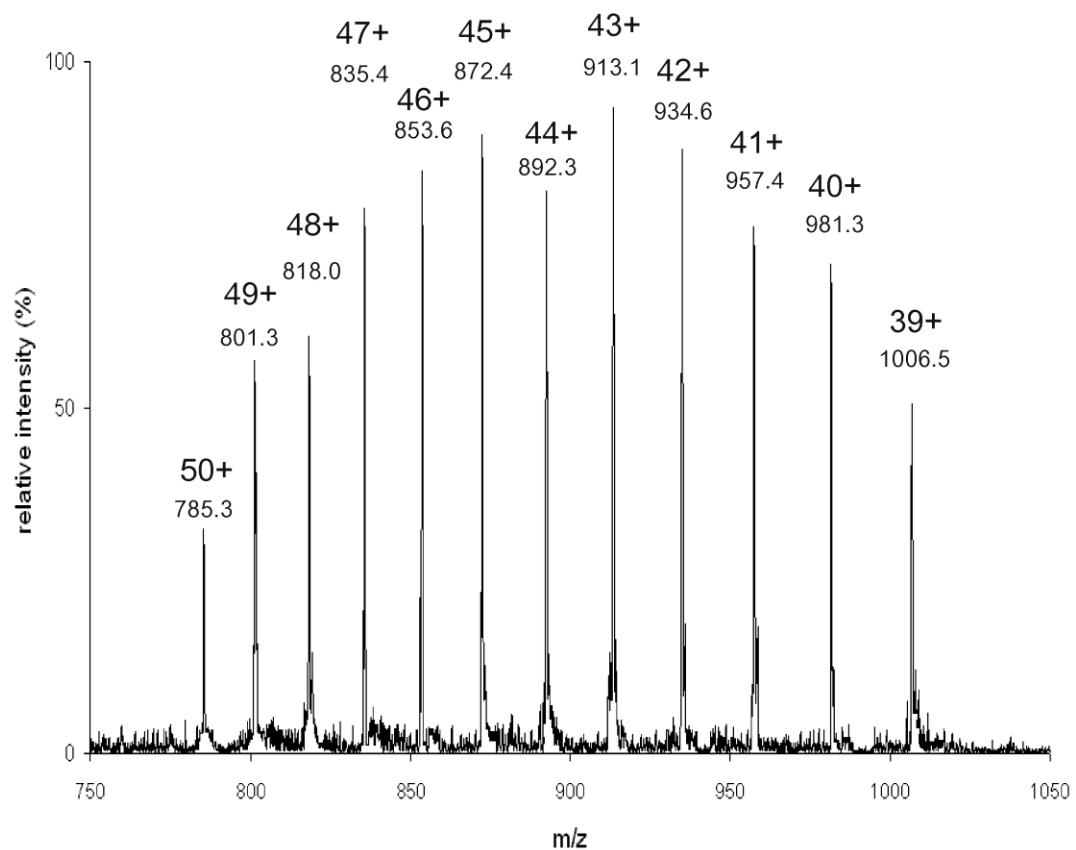


Software: ChemStation





# spektrometrija masa (MS): analiza FAD-zavisne oksidaze D-aminokiselina (ESI/MS)

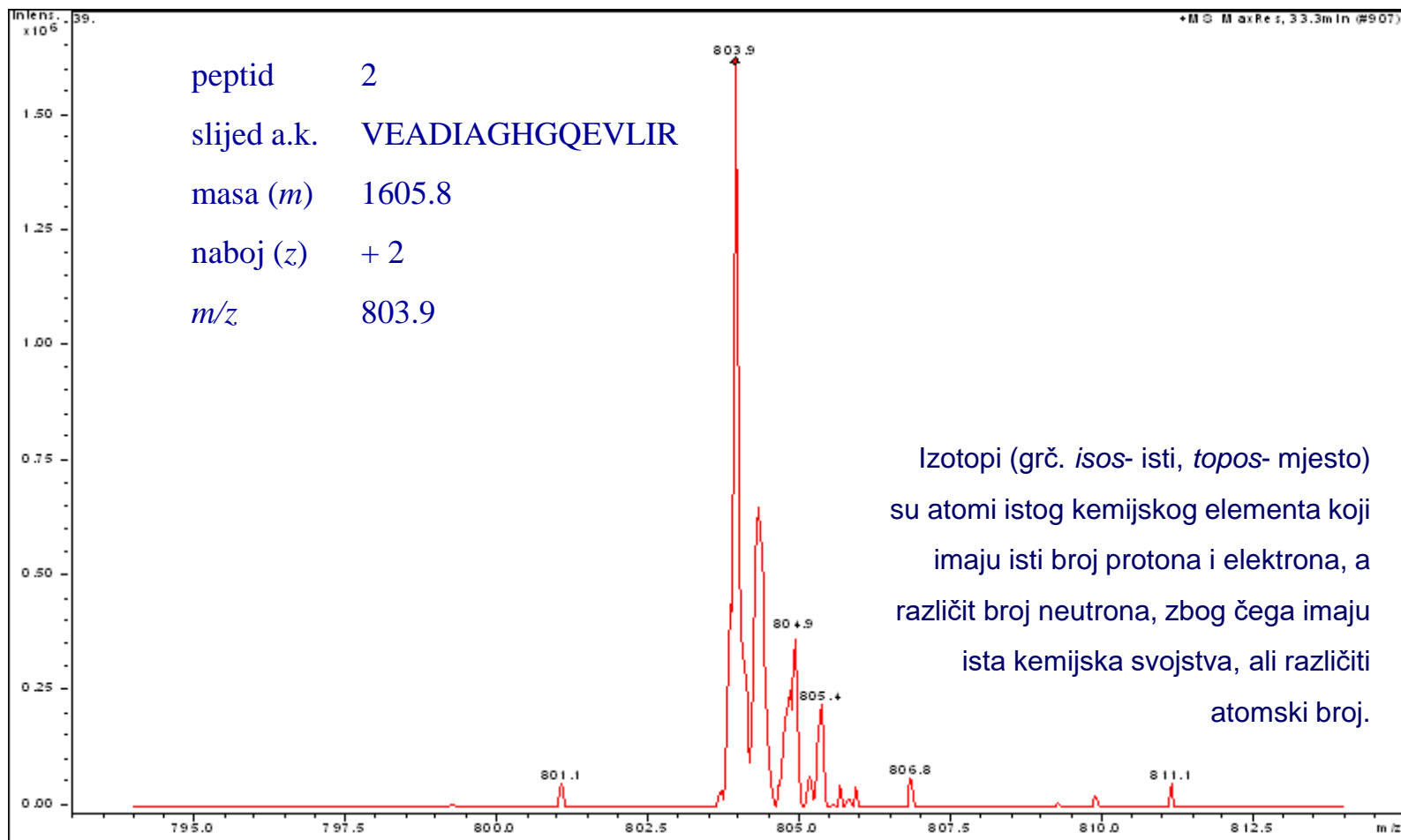


| DAO       | deconvoluted mass*  |          |
|-----------|---------------------|----------|
| <b>F1</b> | <b>39214.1 ± 10</b> |          |
|           | <i>m/z</i>          | <i>z</i> |
| <b>F2</b> | 836.0               | 47       |
|           | 854.2               | 46       |
|           | 873.0               | 45       |
|           | 893.0               | 44       |
|           | 913.8               | 43       |
|           | 935.4               | 42       |
|           | 958.3               | 41       |
|           | 982.1               | 40       |
|           | <b>39246.3 ± 10</b> |          |
| <b>F3</b> | 774.6               | 15       |
|           | 831.5               | 14       |
|           | 895.6               | 13       |
|           | 970.2               | 12       |
|           | 1058.6              | 11       |
|           | 1163.8              | 10       |
|           | <b>11630.2 ± 10</b> |          |

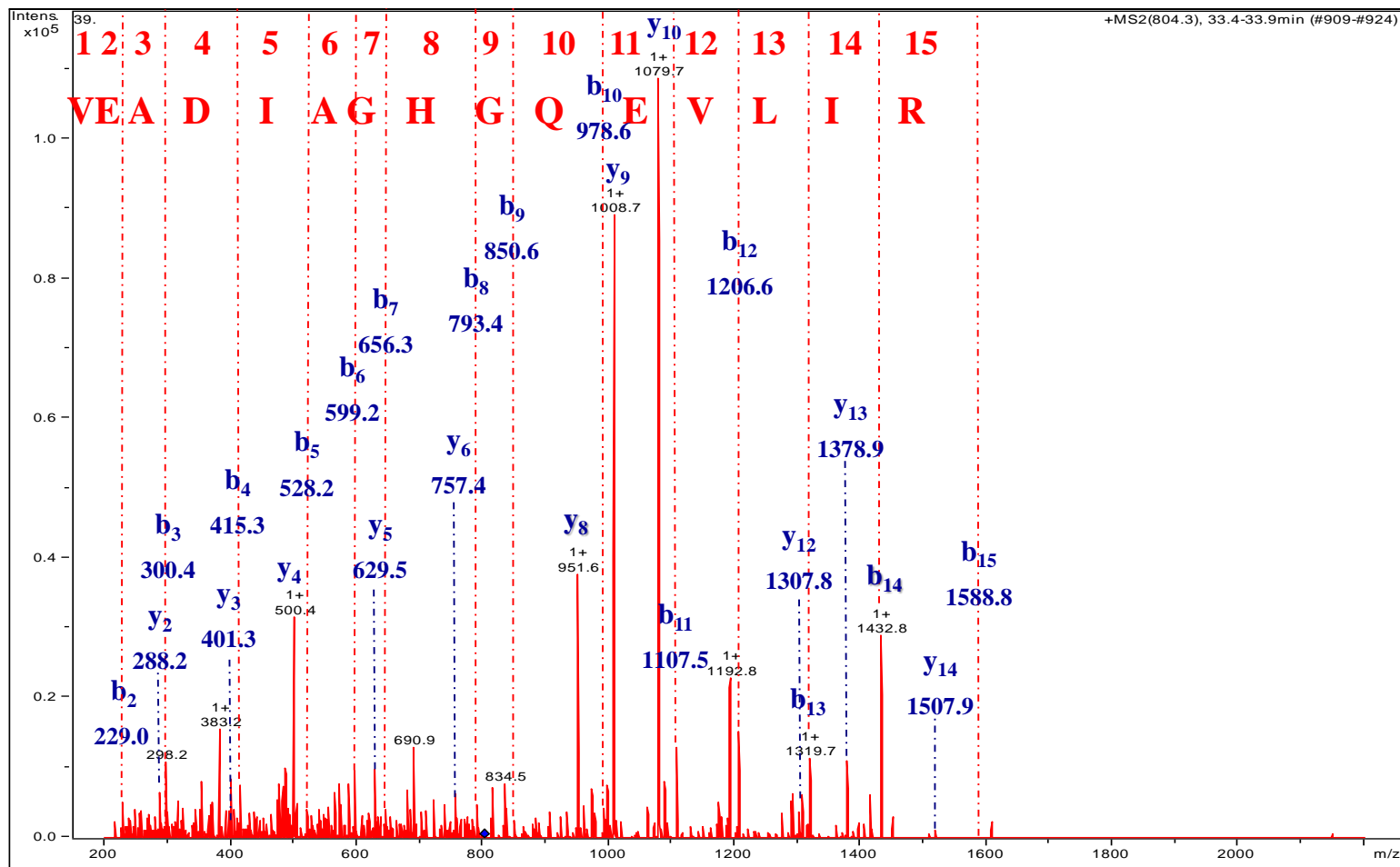
\*amu



## spektrometrija masa (MS): analiza mioglobina (nanoLC/ESI/MS, MaxRes)



# spektrometrija masa (MS): određivanje primarne strukture mioglobina (nanoLC/ESI/MS/MS)



## spektrometrija masa: *on-line* interpretacija i vrednovanje rezultata

### Peptide Mass Search: Matrix Science

User: Anita

Email: Slavica@biote.tu-graz.ac.at

Search title :

MS data file: C:\Dokumente und Einstellungen\Slavica\Eigene Dateien\Data\DataAnalysis\Anita051202\  
MyoDenaturatedDigTry051202-2\Analysis.mgf

Database: SwissProt 40.39 (201563 sequences; 110352130 residues)

Timestamp: 24 Jan 2003 at 08:32:44 GMT

Significant hits:

[P02188](#) Myoglobin STANDARD VARSPLIC; STANDARD VARIANT; STANDARD CONFLICT FROM P02188

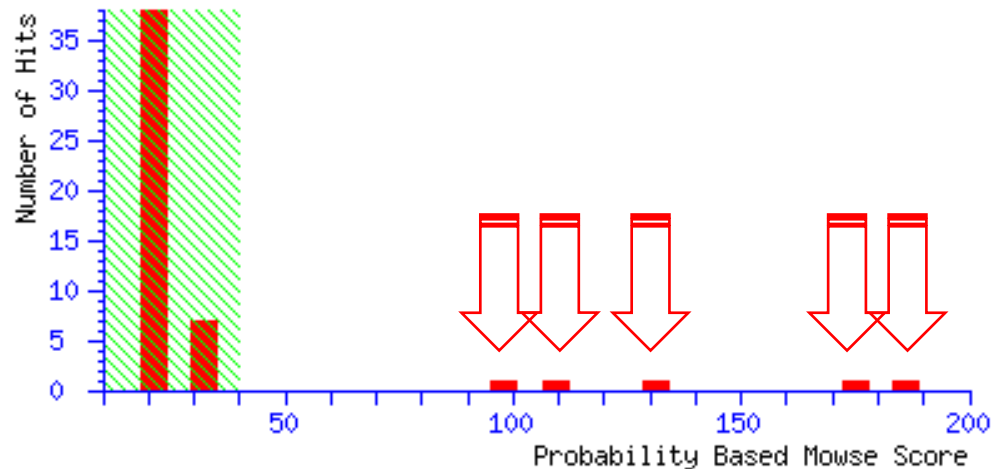
[P02188-00-00-01](#) Myoglobin STANDARD VARSPLIC; STANDARD VARIANT; REF. 1 FROM P02188

[P02170](#) Myoglobin

[P02187](#) Myoglobin

[P14396](#) Myoglobin Probability Based Mowse Score

Score is  $-10 \cdot \log(P)$ , where P is the probability that the observed match is a random event. Individual ions scores  $> 40$  indicate identity or extensive homology ( $p < 0.05$ ).

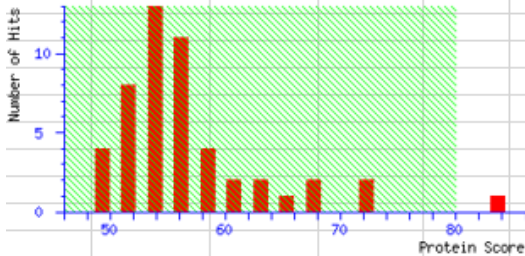


# spektrometrija masa: *on-line* interpretacija i vrednovanje rezultata

**Search title** : Marios Project folder\bsa\MSMS 72\W1  
**Database** : NCBI\nr 20140312 (37725837 sequences; 13391628756 residues)  
**Taxonomy** : Firmicutes (gram-positive bacteria) (5487348 sequences)  
**Timestamp** : 10 Jul 2017 at 18:11:03 GMT  
**Warning** : A Peptide summary report will usually give a much clearer picture of MS/MS search results.  
**Top Score** : 84 for [gi|511434551](#), hypothetical protein Lpp126\_18752, partial [Lactobacillus paracasei subsp. paracasei Lpp126]

## Mascot Score Histogram

Protein score is  $-10 \cdot \log(P)$ , where P is the probability that the observed match is a random event.  
 Protein scores greater than 80 are significant ( $p < 0.05$ ).  
 Protein scores are derived from ions scores as a non-probabilistic basis for ranking protein hits.



## Index

|   | Accession                    | Mass | Score | Description   |
|---|------------------------------|------|-------|---|
| 1 | <a href="#">gi 511434551</a> | 3381 | 84    | hypothetical protein Lpp126_18752, partial [Lactobacillus paracasei subsp. paracasei Lpp126]              |
| 2 | <a href="#">gi 48772733</a>  | 3298 | 72    | branched-chain amino acid ABC transporter, amino acid-binding protein, partial [Streptococcus pneumoniae] |

## Results List

1. [gi|511434551](#) Mass: 3381 Score: 84 Expect: 0.024 Matches: 80  
 hypothetical protein Lpp126\_18752, partial [Lactobacillus paracasei subsp. paracasei Lpp126]

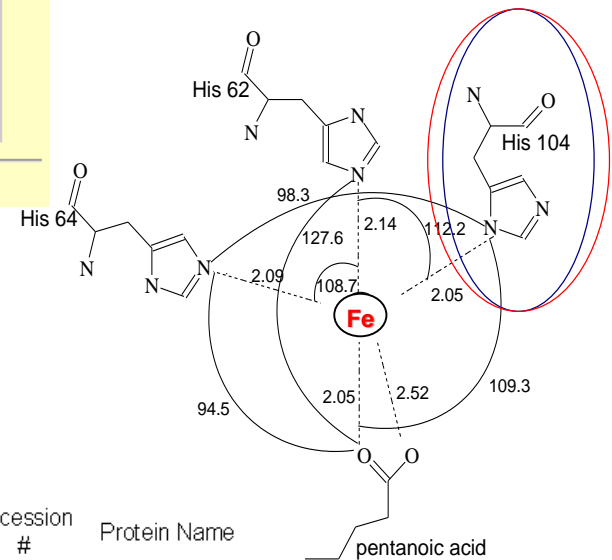
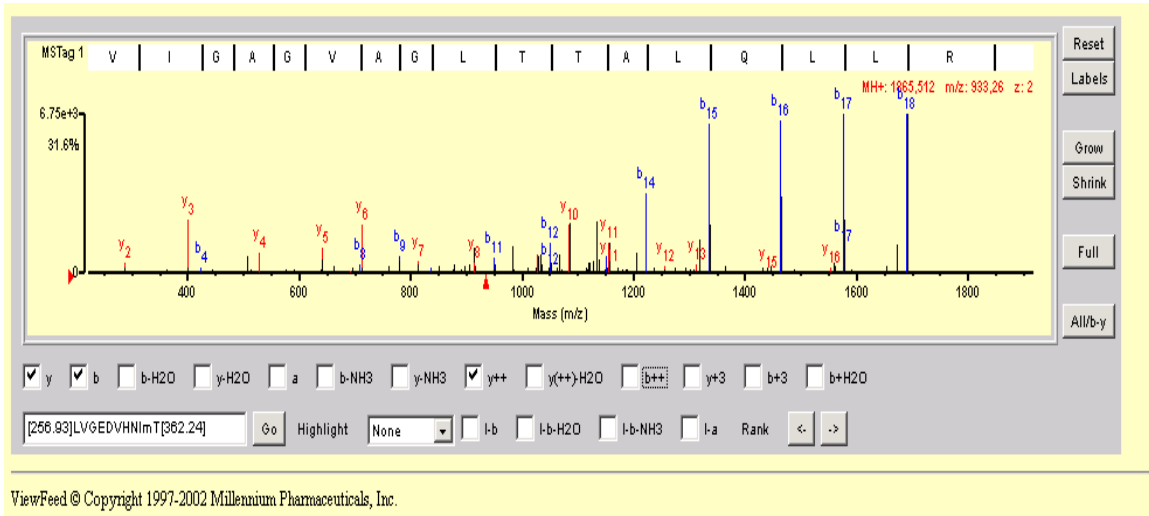
| Observed  | Mr(expt)  | Mr(calc)  | Delta   | Start | End | Miss | Ions | Peptide  |
|-----------|-----------|-----------|---------|-------|-----|------|------|--|
| 1006.4501 | 1005.4428 | 1005.3692 | 0.0736  | 17    | -   | 24   | 0    | --- L.NESFQKTA.T + 2 Deamidated (NQ); Phospho (ST) |
| 1011.6142 | 1010.6069 | 1010.4920 | 0.1149  | 18    | -   | 26   | 0    | --- N.ESFQKTATV.S + Deamidated (NQ)                |
| 1023.4194 | 1022.4121 | 1022.4548 | -0.0427 | 9     | -   | 16   | 0    | --- K.VYFIMTGL.N + Phospho (Y)                     |
| 1027.5426 | 1026.5353 | 1026.4692 | 0.0661  | 12    | -   | 20   | 0    | --- F.IMTGLNESF.Q + Oxidation (M)                  |
| 1044.5250 | 1043.5177 | 1043.4722 | 0.0455  | 21    | -   | 29   | 0    | --- F.QKTATVSV.M.- + Phospho (ST)                  |
| 1045.5370 | 1044.5297 | 1044.4563 | 0.0735  | 21    | -   | 29   | 0    | --- F.QKTATVSV.M.- + Deamidated (NQ); Phospho (ST) |

# in silico analiza i interpretacija MS spektara

peptide sequencing (*Sherenga, Spectrum Mill v2.7*)

User: Anita

Email: Slavica@biote.tu-graz.ac.at



## peptide 7 (analysis via Spectrum Mill)

GGEQEGGSTAYAPSYGFESSGALH<sub>104</sub>GK

| z | Score | SPI (%) | Spectrum Intensity | Sequence                          | Protein pl | Species                 | Accession # | Protein Name                  |
|---|-------|---------|--------------------|-----------------------------------|------------|-------------------------|-------------|-------------------------------|
| 3 | 18.72 | 93.9    | 1.36e+007          | (R) GGEQEGGSTAYAPSYGFESSGALHGK(T) | 4.96       | Acinetobacter johnsonii | 24078520    | diketone-cleaving enzyme Dke1 |

preferential ionization of His residues

## in silico analiza: de novo sequencing

peptide *de novo* sequencing (Sherenga, Spectrum Mill v2.7)

User: Anita

Email: Slavica@biote.tu-graz.ac.at

| #  | Filename             | z | Precursor MH <sup>+</sup> | Precursor m/z | # Detected Peaks | MS Precursor EIC Intensity | Max Tag Length | Longest Sequence Tag |
|----|----------------------|---|---------------------------|---------------|------------------|----------------------------|----------------|----------------------|
| 1  | 111103F3.0384.0384.0 | 2 | 3051.740                  | 1526.370      | 25               | 1.30e+004                  | 3              | [951.50]CQE[1681.36] |
| 2  | 111103F3.0009.0040.0 | 2 | 933.530                   | 467.270       | 25               | 2.91e+006                  | 2              | [237.46]AN[509.31]   |
| 3  | 111103F3.0010.0039.0 | 2 | 845.170                   | 423.090       | 25               | 2.16e+006                  | 2              | [1928.98]AV[1255.56] |
| 4  | 111103F3.0014.0019.0 | 2 | 1021.540                  | 511.270       | 23               | 6.38e+005                  | 2              | [1366.34]WPL[629.99] |
| 5  | 111103F3.0030.0030.0 | 2 | 2057.250                  | 1029.130      | 25               | 4.68e+004                  | 2              | [523.69]LS[1331.68]  |
| 6  | 111103F3.0050.0054.0 | 2 | 1021.070                  | 511.040       | 23               | 3.71e+005                  | 2              | [1731.45]CL[986.03]  |
| 7  | 111103F3.0085.0085.0 | 2 | 2036.040                  | 1018.530      | 16               | 1.21e+004                  | 2              | [1634.06]WW[27.82]   |
| 8  | 111103F3.0100.0100.1 | 1 | 2102.210                  | 2102.210      | 14               | 7.92e+003                  | 2              | [1063.87]DW[735.40]  |
| 9  | 111103F3.0106.0106.0 | 2 | 3000.870                  | 1500.940      | 25               | 8.86e+003                  | 2              | [1854.98]YL[931.84]  |
| 10 | 111103F3.0134.0156.0 | 2 | 2993.980                  | 1497.500      | 25               | 7.80e+003                  | 2              | [1258.31]CR[1116.01] |
| 11 | 111103F3.0191.0191.0 | 2 | 2134.380                  | 1067.690      | 25               | 9.17e+003                  | 2              | [1838.05]CC[1136.88] |
| 12 | 111103F3.0212.0212.0 | 2 | 3449.370                  | 1725.190      | 24               | 1.42e+004                  | 2              | [539.13]VC[633.45]   |
| 13 | 111103F3.0215.0215.0 | 2 | 1898.640                  | 949.830       | 18               | 9.79e+003                  | 2              | [886.43]LE[768.38]   |
| 14 | 111103F3.0221.0221.0 | 2 | 2521.750                  | 1261.380      | 20               | 1.60e+004                  | 2              | [1672.23]DE[603.31]  |
| 15 | 111103F3.0255.0255.0 | 2 | 1562.680                  | 781.840       | 18               | 1.73e+004                  | 2              | [833.66]EW[411.63]   |
| 16 | 111103F3.0261.0261.0 | 2 | 1089.120                  | 545.060       | 17               | 1.27e+004                  | 2              | [205.83]AS[723.09]   |
| 17 | 111103F3.0288.0288.0 | 2 | 3149.000                  | 1575.000      | 17               | 1.02e+004                  | 2              | [3609.32]YL[833.15]  |
| 18 | 111103F3.0297.0297.0 | 2 | 2754.540                  | 1377.780      | 14               | 1.14e+004                  | 2              | [227.61]FL[2265.38]  |
| 19 | 111103F3.0305.0305.0 | 2 | 3143.460                  | 1572.230      | 23               | 1.05e+004                  | 2              | [145.00]VS[2810.75]  |
| 20 | 111103F3.0308.0308.0 | 2 | 1335.530                  | 668.270       | 15               | 2.15e+004                  | 2              | [532.85]VT[1266.25]  |
| 21 | 111103F3.0342.0342.0 | 2 | 2126.330                  | 1063.670      | 18               | 1.13e+004                  | 2              | [1959.33]TL[-49.72]  |

Gln158 – Cys159 (opposite direction)

Cys145 – Ile146

disulfide bond

Asn192 – Cys193

# in silico analiza: multiple sequence alignment

cysteine residues are not conserved (< 30 sequences, search in TrEMBL)

```
Trigonopsi 1 : ---MAKIVVIGAGVAGLTTAQLLR-KGHEVTIIVSEFTPGLSIGYTPWAGANWLTIFYDGGKLADYDAVSYPIILRELARSSPEAGIRLISQRS--HVLK : 94
Fusarium_s 1 : --MSNTIVVVGAGVIGLTSALLSKNKGNKITVAKHMPGDYDVEYASPFAGANHSPMATEE-SSEWERRTWYEFKRLVEEVPEAGVHFQKSRIQRNV : 97
Rhodospori 1 : MHSQKRIVVVLGSGVIGLSSALILARKGYSVHILARDLPEDVSSQTFASPWAGANWTFPMTLTDGPRQAKWEESTFKKWVELVPTG-----HAM : 88
Mus_muscul 1 : ---MRVAVIGAGVIGLSTALCIHERYHPTQP-LHMKIYADRFTPFSTDVAAGLWQPYLSDPSN-PQAEAWSQQTFDYLLSCLHSPNAEK-----M : 86
Rattus_nor 1 : ---MRVAVIGAGVIGLSTALCIHERYHPAQP-LHMKIYADRFTPFSTDVAAGLWQPYLSDPSN-PQAEAWNQQTFDHLQSCSLHSPNAEK-----M : 86
Sus_scrofa 1 : ---MRVVVIGAGVIGLSTALCIHERYHVSVLQPLDVKVYADRFTPFSTDVAAGLWQPYTSEPSN-PQEANWNQQTFNYYLLSHIGSPNAAN-----M : 87
homo_sapie 1 : ---MRVVVIGAGVIGLSTALCIHERYHVSVLQPLDIKVYADRFTPLTSTDVAAGLWQPYLSDPNN-PQEADWSQQTFDYLLSHVHSPNAEN-----L : 87
Oryctolagu 1 : ---MRVVVIGAGVIGLSTALCIHELHYHSALQPLDMTIYADRFTPLTNDVAAGLWQPYLSDPSN-PQEADWSRQTFNHLSSHHSPPSAEK-----M : 87
Caenorhabd 1 : --MANIIPKIAIIGBGVIGCTSALQISKAIPNAKITVLDHKPFKKKSCSAGPAGLFRIDYEENTYEGRASFAWFSHLYRRTTK---GSETGVK-----L : 87

Trigonopsi 95 : RDLPKLEVAMSAICORNPFWFKMTVDSFEIIEDR--SRIVHDDVAYLVFEFRSVCIHTGVYLNWLMSSQCLSLGATVVKRVRVNHKIDANLLHSSGSRPQDVIVN : 192
Fusarium_s 98 : TEKAQRSGFPDALFSKEPWFKNMFEDFREQHPS--EVIIPGYDSG--CEFTSVCINTAIYLPWLLGQCCKNGVIVKRAILNDISEAKKLSHAGKTPNIIVN : 193
Rhodospori 89 : WLKGTTRFAQNEDELGLGHWYKDIITPNYRPISS--ECPPGAIGVT---YDTLSVHAPKYCOYLARELQKLQKLGATFERFVTSLAQAFDQ-----ADLVVN : 177
Mus_muscul 87 : GLALISGYNLFREVPDPFKNVAVLGFRLKLTTPS-EMDLFPDYG-YGWENTSIILLEGKSYLPLWTERLTERGVNLIHKKVSLBEVARGG-----VDVIIN : 179
Rattus_nor 87 : GLALISGYNLFREVPDPFKNVAVLGFRLKLTTPS-ELDMFPDYS-YGWENTSIILLEGKSYLWLTERRLTERGVKFIHKKVASFEEVVRGG-----VDVIIN : 179
Sus_scrofa 88 : GLTPVSGYNLFREAVDPYWKDMVLGFRKLTTPR-ELDMFPDYR-YGWENTSIILLEGKRYLQWLTERRLTERGVKFFLRKVESFEEVARGG-----ADVIN : 180
homo_sapie 88 : GLFLISGYNLFHEAIPDPSWKDITVLGFRKLTTPR-ELDMFPDYG-YGWENTSIILLEGKNYLQWLTERRLTERGVKFFQKRVESFEEVAREG-----ADVIVN : 180
Oryctolagu 88 : GLALISGYNLFKAVPDPSPWKDITVLGFRKLTTLR-ELDMFPDYS-YGWENTSIILDGRSYLQWLTERRLTERGVKLFQKRVESFEEVARGG-----VDVIVN : 180
Caenorhabd 88 : VSGHIQSDNLESKQQQRAYGDIIVYNFRFLDDRRLDIFPEPSKHCHIHYYAYASEGNKYVYLNKLLLEQKIEFKQEVTSLEDAVADG-----YDVIVN : 182

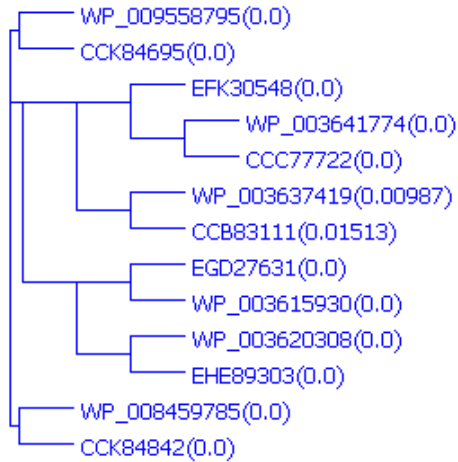
Cys 193
Trigonopsi 193 : CSGLFAREILGGVEDKMYPIIRGOVVLVRSNLPFMASFSSTPEKENEDEALYIMTRFDG-TSITGGCFQPNWSSPEPDSLTHRTLSRALDRFPETTKDG- : 290
Fusarium_s 194 : ATGLGSYKLGGVEDKTMAPARGQIVVVRNESSPMLITSGVE--DGGADVMYLMQRAAGGGTILGGTYDVGNWESQDPNIAIRIMQRIVEVVRPEIANGKG : 291
Rhodospori 178 : ATGLGAKSTAGIDDQAAEPIIRGQIVLVKSECKRCTMDSSDE---ASPAYIIPRPGG-EVICGGTYGVGDWDLVSNPETVQRILKHLRLEDPITISSDGT : 271
Mus_muscul 180 : CTGVWAGALQADA--SLQPRGQIIQVEAPWIKHFIILTHDPSLGIYNSPYIIP---GSKTIVTLGGIFQLGNWSELNSVHDHNTIWKSCCLEPTLKNARI : 274
Rattus_nor 180 : CTGVWAGALQADA--SLQPRGQIIQVEAPWIKHFIILTHDPSLGIYNSPYIIP---GSKTIVTLGGVIFQLGNWSELNSVHDHNTIWKSCCLEPTLKNARI : 274
Sus_scrofa 181 : CTGVWAGVLPQDP--LLQPRGQIIKVDAPWLKNEFIILTHDLRGIYNSPYIIP---GLQAVTLGGTFQVGNWNEINNIQDHNITWEGCCCLEPTLKDAKI : 275
homo_sapie 181 : CTGVWAGALQDP--LLQPRGQIMKVDPWPKHFIILTHDPERGIYNSPYIIP---GTQVTLGGIFQLGNWSELNNIQDHNITWEGCCCLEPTLKNARI : 275
Oryctolagu 181 : CTGVWASALQDP--LLQPRGQIIKVDAPWVKHFIILTHDPESGIYKSPYIIP---GVHAVTLGGIFQMGNWSEGNSTDDHNTIWKGCCCLEPTLKDARI : 275
Caenorhabd 183 : CAGLYGKLAGDDD-TCYPIIRGVILEVDPAPWHKHENYRD-----FTFTTIP---KEHSVVVGSTKQDNRWDLITDEDRIIDILKRYIALHPGMREFPKI : 271

Trigonopsi 291 : --PLDIVRECVGHRPGRREGGPRVELEKIPG-----VGFEVNHNYGAACAGYQSSYGMADLAVSYVEFALTRPNL----- : 356
Fusarium_s 292 : VKGLSVIRHAVGMRPWRKDGVRIEEEKLDD-----ETWIVHNYGSCWGYQSSYGCENVVQLVDVFGKAASKL----- : 361
Rhodospori 272 : IEGIEVLRHNVGLRPARRRGGVVEAERIVLPLDRKTSPLSLGRGSARAAKEKEVTLVHAYGFSAGYQSSWGAEDVAQLVDEAFQRYHGAARESGL- : 368
Mus_muscul 275 : VGEITGERFPVR--PQVRLRERWDRFGSS-----SAEVIHNYGHGGYGLTIHWGCAMEAANLFGKILEEKLSRLPSSH : 346
Rattus_nor 275 : MGEITGERFPVR--PQVRLRERERDRFGSS-----SAEVIHNYGHGGYGLTIHWGCAMEAANLFGKILEEKLSRMPSSH : 346
Sus_scrofa 276 : VGEYTGFRFPVR--PQVRLRERQDRFGSS-----NTEVIHNYGHGGYGLTIHWGCALVAKLFGKILEERNLLTMPSSH : 347
homo_sapie 276 : IGERYGERFPVR--PQIRLREQLRGTGPS-----NTEVIHNYGHGGYGLTIHWGCALVAKLFGKILEEKLSRMPSSH : 347
Oryctolagu 276 : VGEWTGERFPVR--PQIRLGRQLSAGPS-----KTEVIHNYGHGGYGLTIHWGCALVAKLFGKILEEKLSRMPSSH : 347
Caenorhabd 272 : IKESVALRFG--KHVRIEAQRRTSVGNSK-----DYMVVHNYGHSNGFTLWGTAIEATKLVKTAIAGL----- : 334
```



# in silico analiza: multiple sequence alignment

*Lactobacillus* sp. alpha-amylases consisted of 412-440 amino acid residues (Vector NTI® Software)



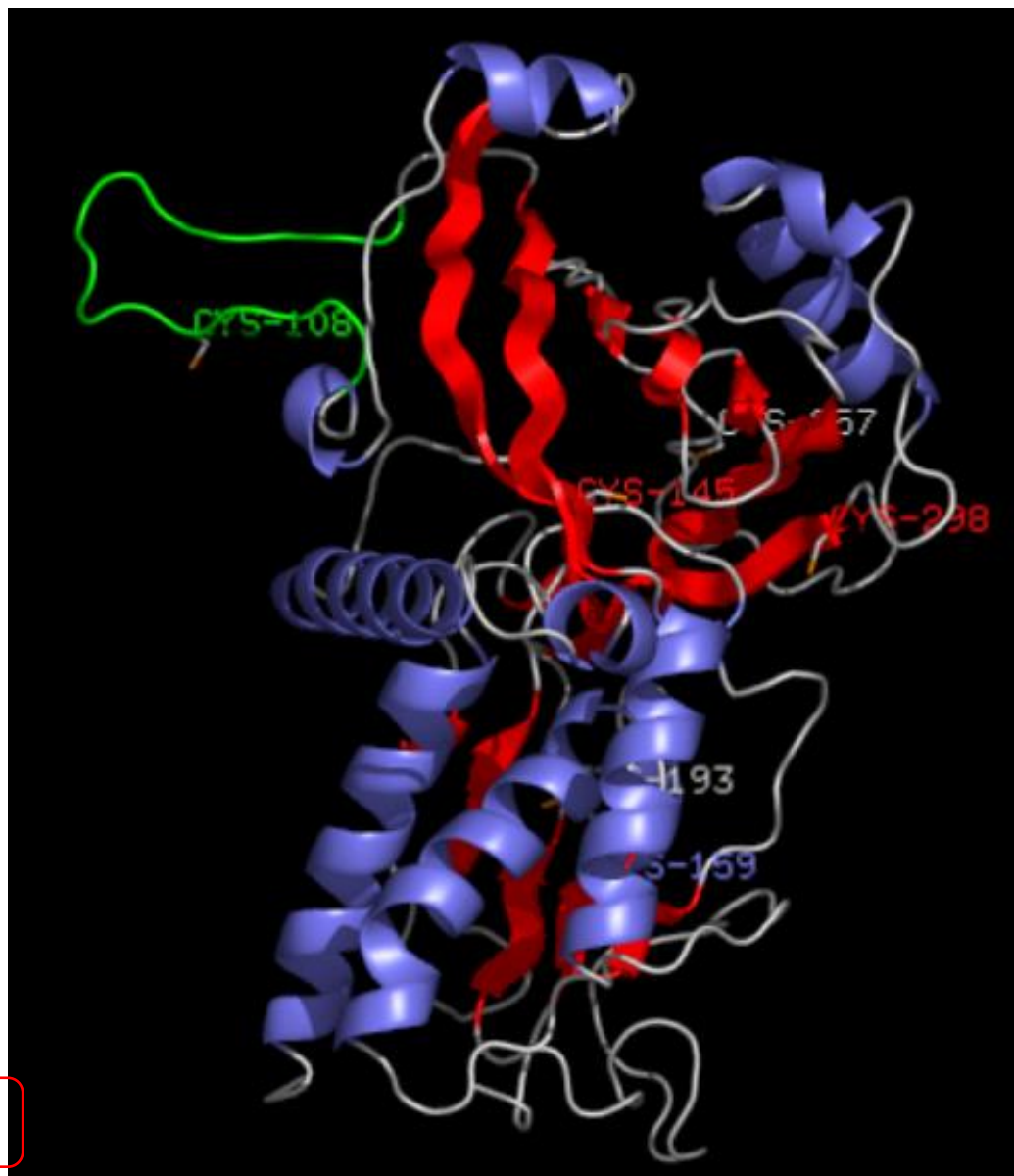
(alignment settings: ClustalW2,  
slow alignment, gap open 10, gap  
extension 0.20, gap distance 5,  
no end gaps, clustering NJ)

| Accession    | Consensus | 1   | 118 | 235 | 326 |
|--------------|-----------|-----|-----|-----|-----|
| WP_008459785 | 1         | MA  | 118 | 235 | 326 |
| CCK84842     | 1         | MA  | 118 | 235 | 326 |
| WP_009558795 | 1         | MA  | 118 | 235 | 326 |
| CCK84695     | 1         | MA  | 118 | 235 | 326 |
| EGD27631     | 1         | MA  | 118 | 235 | 326 |
| WP_003641774 | 1         | MA  | 118 | 235 | 326 |
| WP_003620308 | 1         | MA  | 118 | 235 | 326 |
| EHE89303     | 1         | MA  | 118 | 235 | 326 |
| WP_003641774 | 1         | MA  | 118 | 235 | 326 |
| CC77722      | 1         | MA  | 118 | 235 | 326 |
| EFK30548     | 1         | MA  | 118 | 235 | 326 |
| WP_003637419 | 1         | MA  | 118 | 235 | 326 |
| CCB83111     | 1         | MA  | 118 | 235 | 326 |
| Consensus    | 118       | 235 | 326 |     |     |
| WP_008459785 | 118       | 235 | 326 |     |     |
| CCK84842     | 118       | 235 | 326 |     |     |
| WP_009558795 | 118       | 235 | 326 |     |     |
| CCK84695     | 118       | 235 | 326 |     |     |
| EGD27631     | 118       | 235 | 326 |     |     |
| WP_003615930 | 118       | 235 | 326 |     |     |
| WP_003620308 | 118       | 235 | 326 |     |     |
| EHE89303     | 118       | 235 | 326 |     |     |
| WP_003641774 | 118       | 235 | 326 |     |     |
| CC77722      | 118       | 235 | 326 |     |     |
| EFK30548     | 118       | 235 | 326 |     |     |
| WP_003637419 | 118       | 235 | 326 |     |     |
| CCB83111     | 118       | 235 | 326 |     |     |
| Consensus    | 235       | 326 |     |     |     |
| WP_008459785 | 235       | 326 |     |     |     |
| CCK84842     | 235       | 326 |     |     |     |
| WP_009558795 | 235       | 326 |     |     |     |
| CCK84695     | 235       | 326 |     |     |     |
| EGD27631     | 235       | 326 |     |     |     |
| WP_003615930 | 235       | 326 |     |     |     |
| WP_003620308 | 235       | 326 |     |     |     |
| EHE89303     | 235       | 326 |     |     |     |
| WP_003641774 | 235       | 326 |     |     |     |
| CC77722      | 235       | 326 |     |     |     |
| EFK30548     | 235       | 326 |     |     |     |
| WP_003637419 | 235       | 326 |     |     |     |
| CCB83111     | 235       | 326 |     |     |     |
| Consensus    | 326       |     |     |     |     |
| WP_008459785 | 326       |     |     |     |     |
| CCK84842     | 326       |     |     |     |     |
| WP_009558795 | 326       |     |     |     |     |
| CCK84695     | 326       |     |     |     |     |
| EGD27631     | 326       |     |     |     |     |
| WP_003615930 | 326       |     |     |     |     |
| WP_003620308 | 326       |     |     |     |     |
| EHE89303     | 326       |     |     |     |     |
| WP_003641774 | 326       |     |     |     |     |
| CC77722      | 326       |     |     |     |     |
| EFK30548     | 326       |     |     |     |     |
| WP_003637419 | 326       |     |     |     |     |
| CCB83111     | 326       |     |     |     |     |



*in silico* analiza: 3D model proteina

<http://swissmodel.expasy.org>

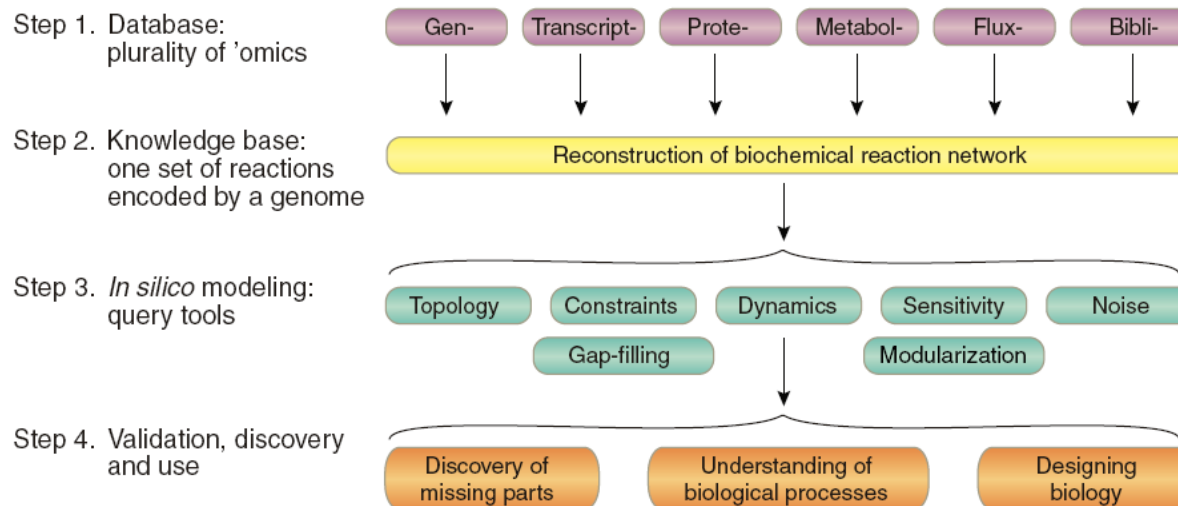


hyperlink

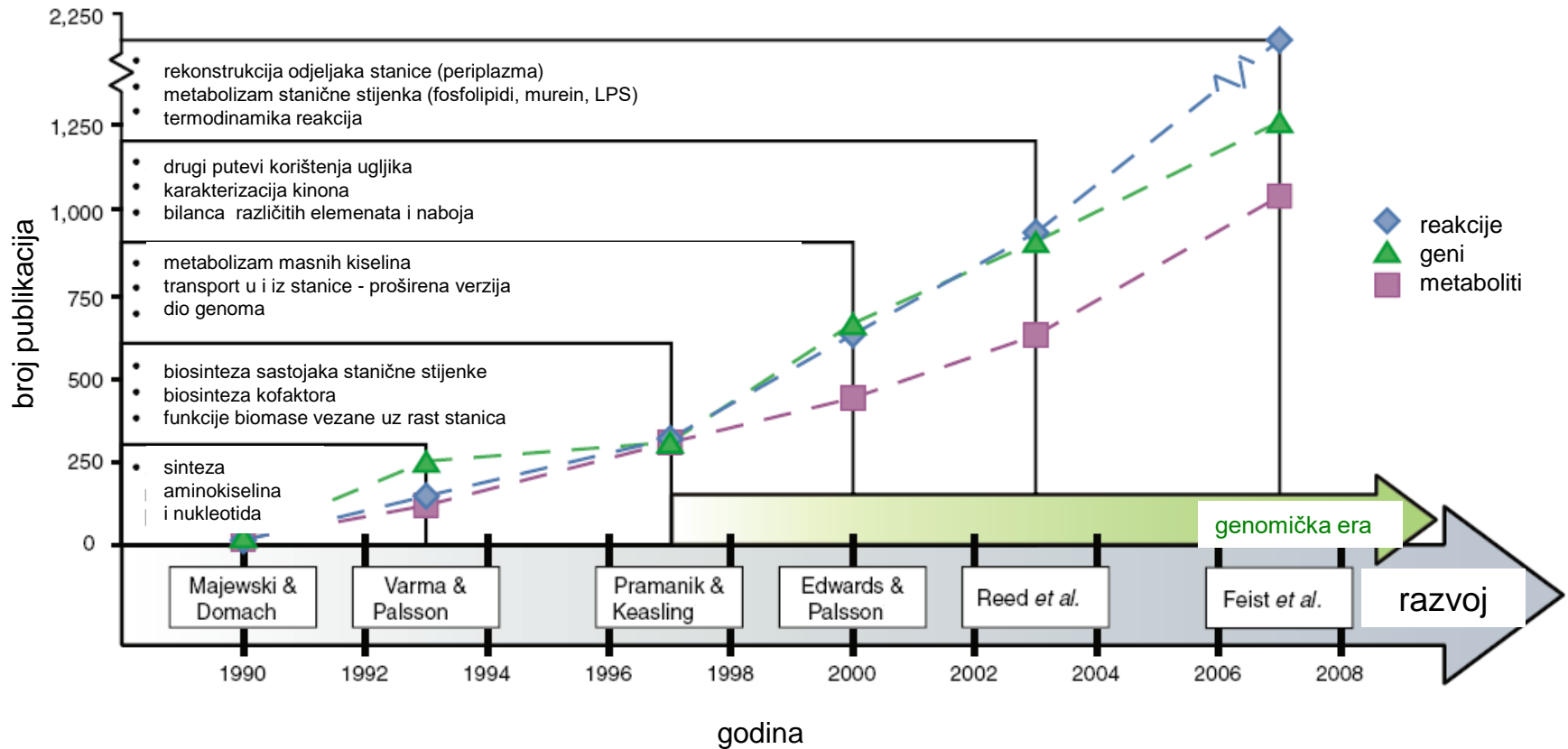


## *in silico* modeli

- set primarnih informacija koji se odnosi na određeni (mikro)organizam
- baza podataka načinjena od biokemijskih, genetičkih i drugih podataka čiji se međudnos može opisati matematičkim jednadžbama



## in silico modeli: razvoj metaboličkog modela *E. coli*



*in silico* model stanice patogena *Mycoplasma genitalium*

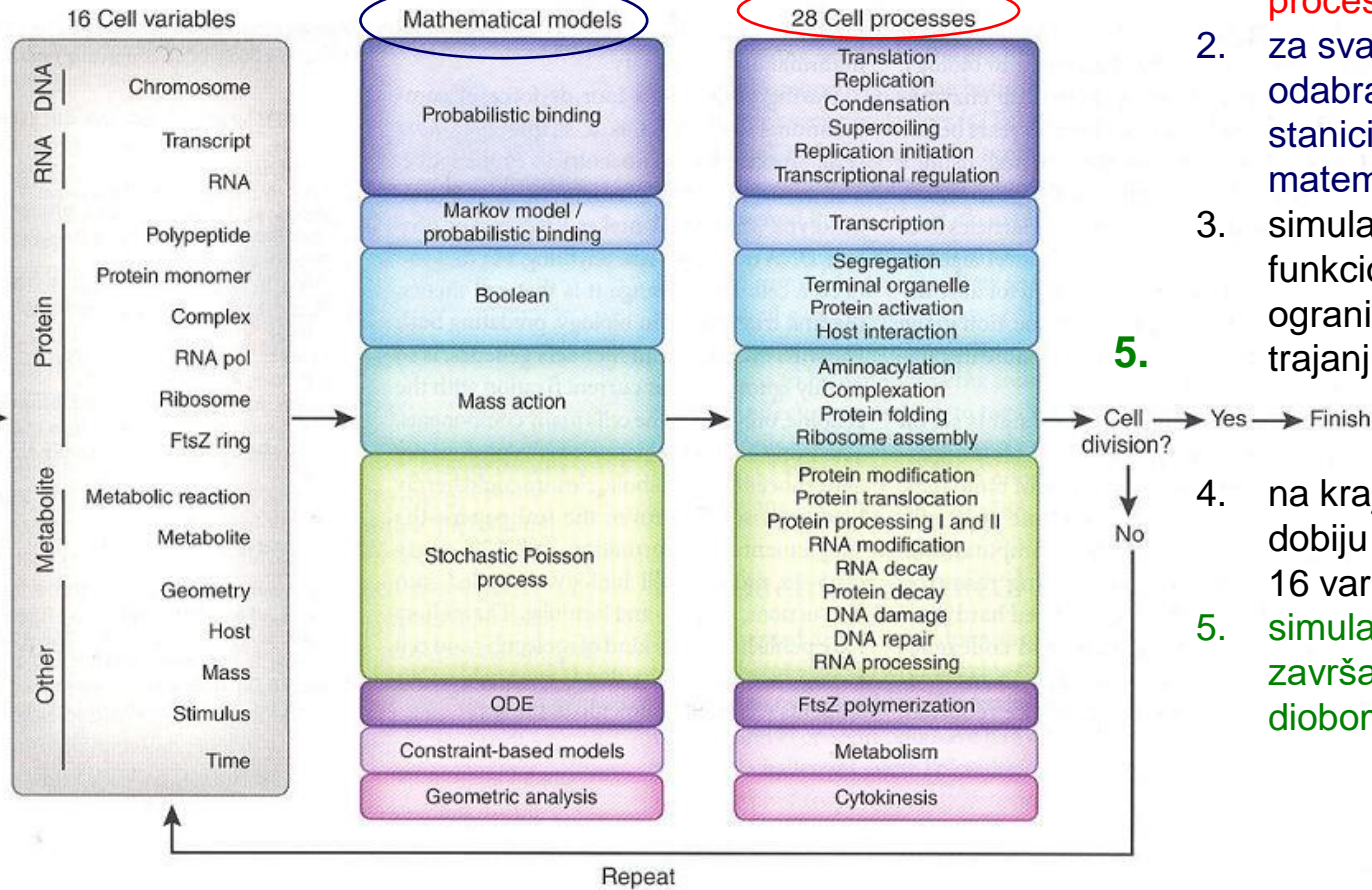
4.

2.

1.

1. Odabrano 28 ključnih procesa u stanici;
2. za svaki od 28 odabranih procesa u stanici formiran matematički model;
3. simulacija funkcioniranja stanice ograničena na korake u trajanju od  $t = 1$  s;
4. na kraju svakog koraka dobiju se vrijednosti za 16 varijabli;
5. simulacija završava/započinje diobom stanice.

5.

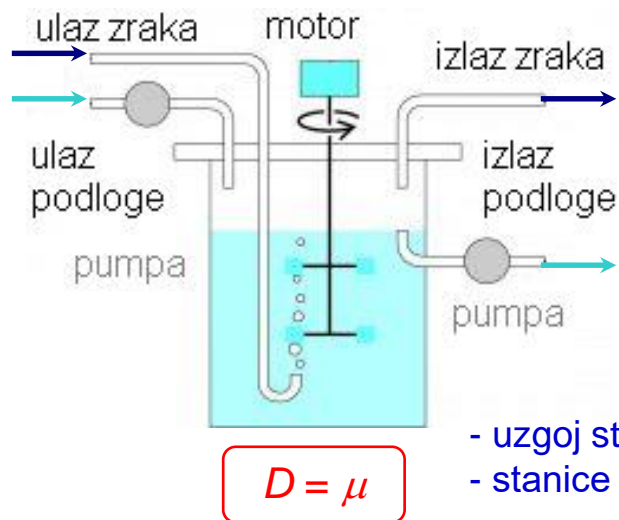


FtsZ protein formira prsten gdje se kasnije formira septum (dioba bakt. stanice); ordinary differential equation, ODE.

## primjena kemostata u istraživanjima fiziologije mikroorganizama

- istraživanja uz korištenje kultura uzgojenih šaržnim postupkom npr. tijekom uzgoja uz stresanje: hranjiva podloga naciepljena relativno niskom koncentracijom stanica, stanice rastu uz stalno smanjenje koncentracije supstrata, stanice iz eksponencijalne faze rasta.

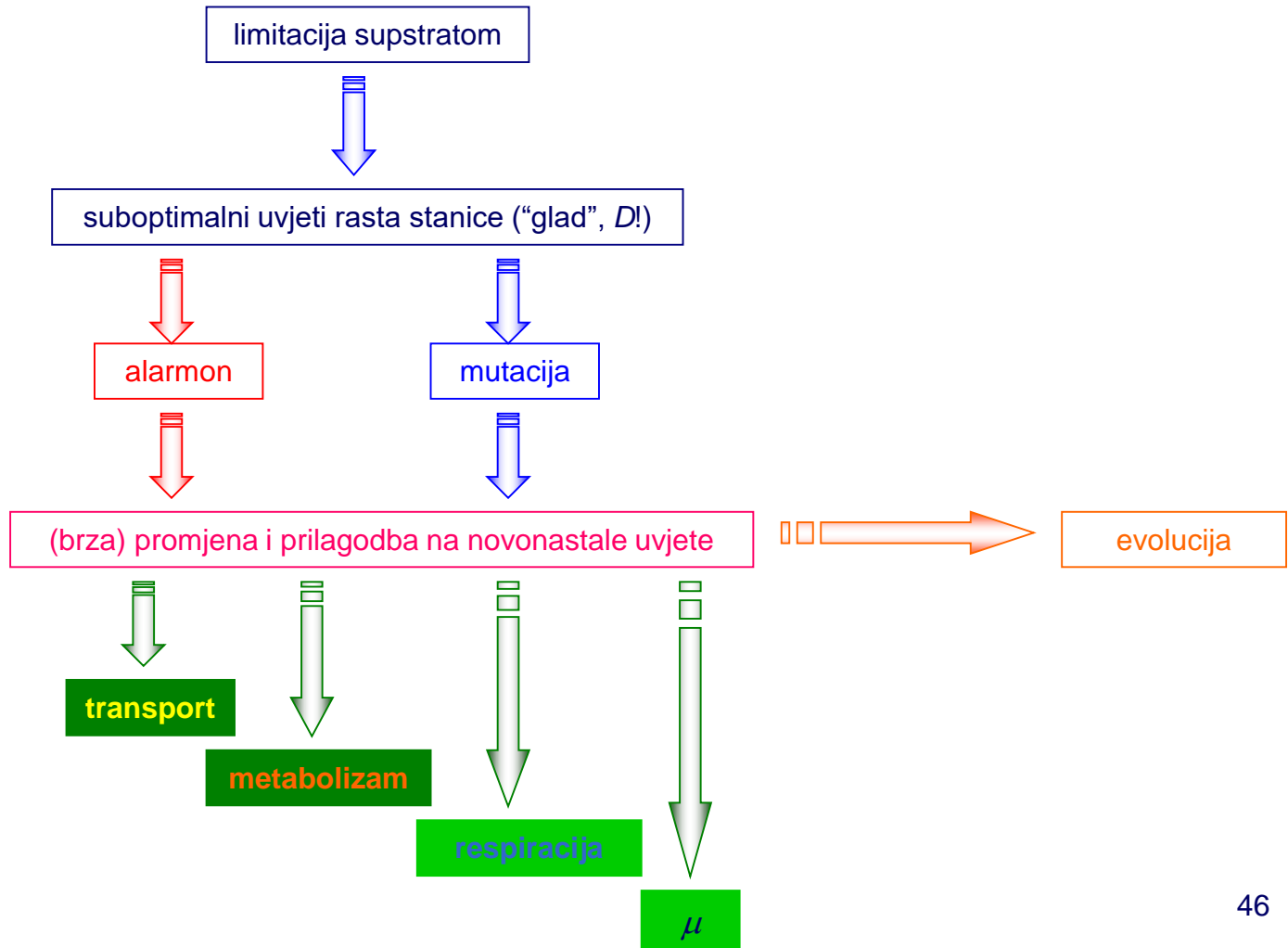
### - kemostat



- konstantan volumen održava se preljevnom cijevi
- supstrat ulazi u bioreaktor i troši se za rast stanica pa je konc. supstrata u izlaznom toku manja od ulazne
- stanice u reaktoru rastu brzinom ( $\mu$ ) koja je određena dotokom svježije podloge ( $D$ ), a istom se brzinom i razrjeđuju, pa je konc. stanica u reaktoru konstantna
- uzgoj stanica u (ne)kontroliranim (ustaljeno stanje) i ponovljivim uvjetima
- stanice kemostat kulture natječu se za limitirajući supstrat
- problemi vezani za uspostavljanje ustaljenog stanja:
  - neidealno miješanje (koncentracijski gradijenti)
  - rast biomase na stijenjkama
  - koncentriranje stanica u pjeni
  - vrijeme obrade uzorka prije analize

# primjena kemostata u istraživanjima fiziologije mikroorganizama

- istraživanje odziva staničnog metabolizma na promjene u okolini stanice, stupnjevite i pulsne

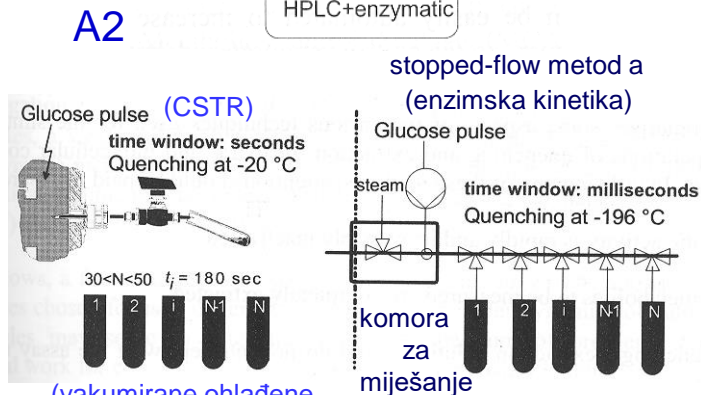
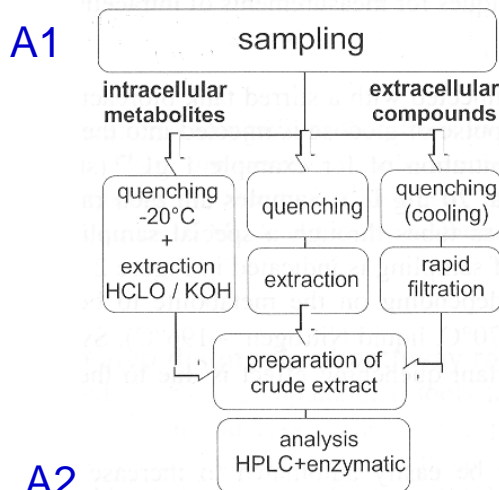




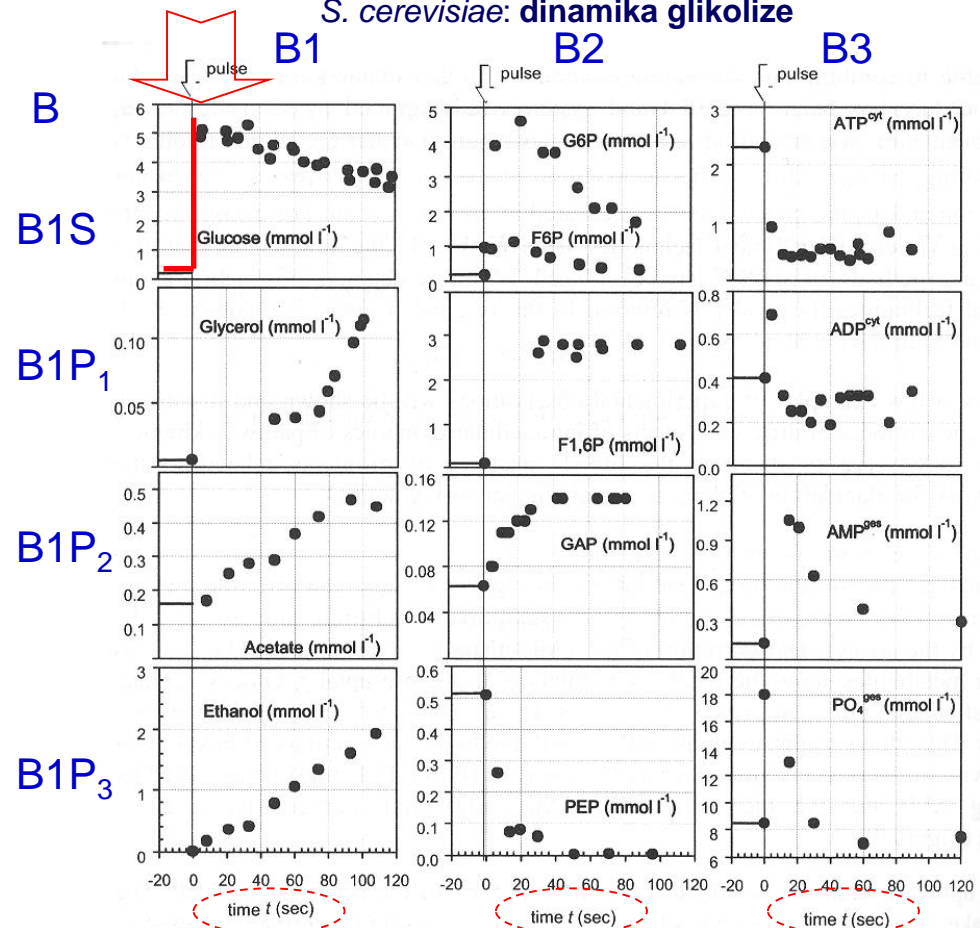
# primjena kemostata kod *in vivo* istraživanja fiziologije mikroorganizama (1)

- uzorkovanje (A) i analiza (B) supstrata i vanstaničnih proizvoda (B1), unutarstaničnih međuspojeva (B2) i energetskih spojeva ATP/ADP/AMP/Pi (B3) nakon pulsa glukoze u vremenu  $t = 0 - 120$  s

*S. cerevisiae*: dinamika glikolize



(vakumirane ohlađene epruvete koje sadrže odgovarajuću smjesu)



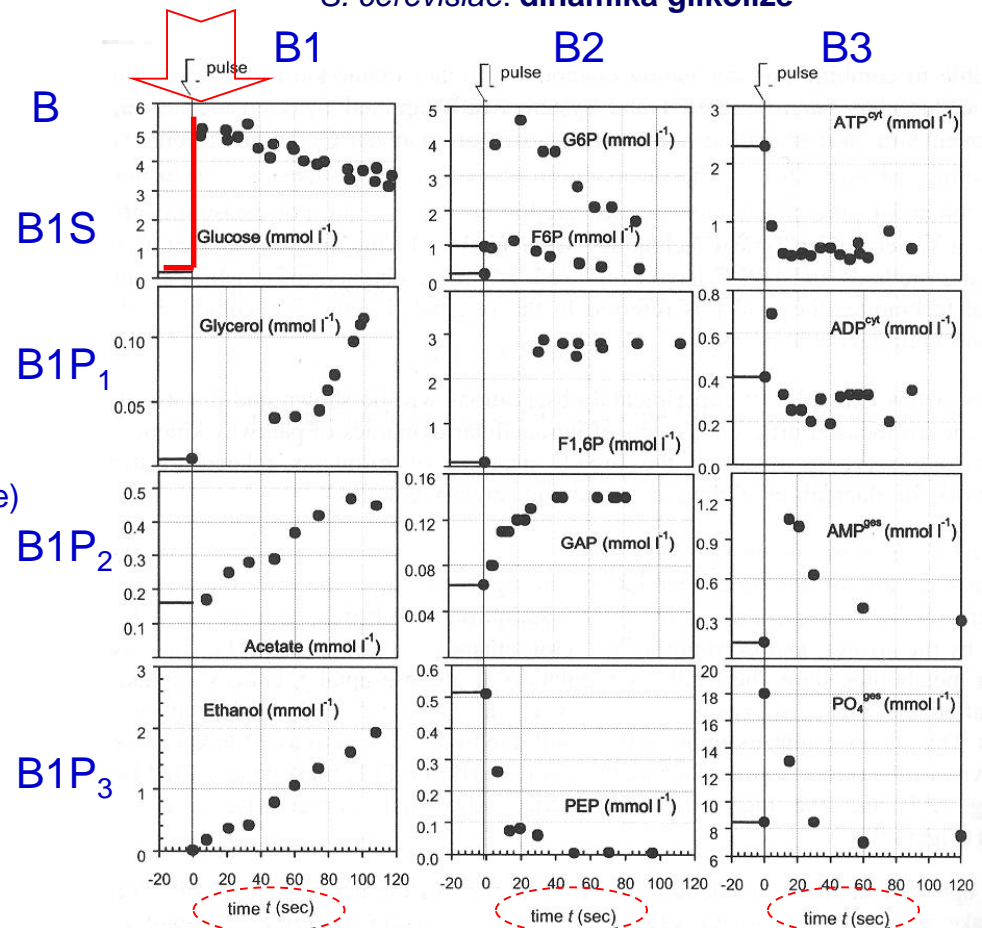
# primjena kemostata kod *in vivo* istraživanja fiziologije mikroorganizama (2)

- analiza (B) supstrata i vanstaničnih proizvoda (B1), unutarstaničnih međuspojeva (B2) i energetskih spojeva ATP/ADP/AMP/Pi (B3) nakon pulsa glukoze u vremenu  $t = 0 - 120$  s

## Metabolic Control Analysis (MCA)

- kontinuirani uzgoj, puls glukoze (npr.  $S = 20 \text{ mg L}^{-1}$ , puls glukoze  $S = 1 \text{ g L}^{-1}$ )
- promjene u koncentraciji spojeva ( $t \rightarrow s$ ) zbog regulacije metabolizma (promjene konc. proteina zanemarive)

## *S. cerevisiae*: dinamika glikolize





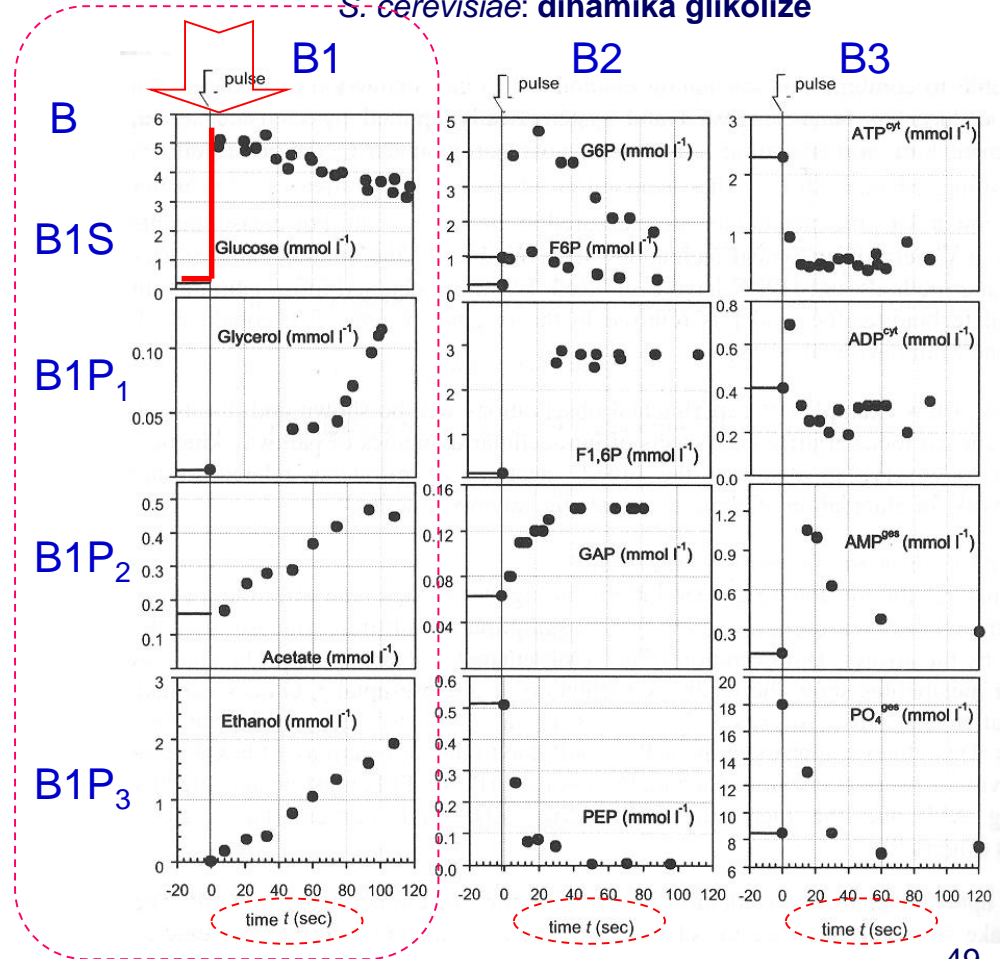
# primjena kemostata kod *in vivo* istraživanja fiziologije mikroorganizama (3)

- analiza (B) supstrata i vanstaničnih proizvoda (B1), unutarstaničnih međuspojeva (B2) i energetskih spojeva ATP/ADP/AMP/Pi (B3) nakon pulsa glukoze u vremenu  $t = 0 - 120$  s

## Metabolic Control Analysis (MCA)

glukoza  $\rightarrow$   $\rightarrow$  glicerol (B1P<sub>1</sub>)  
 acetat (B1P<sub>2</sub>)  
 etanol (B1P<sub>3</sub>)

## *S. cerevisiae*: dinamika glikolize

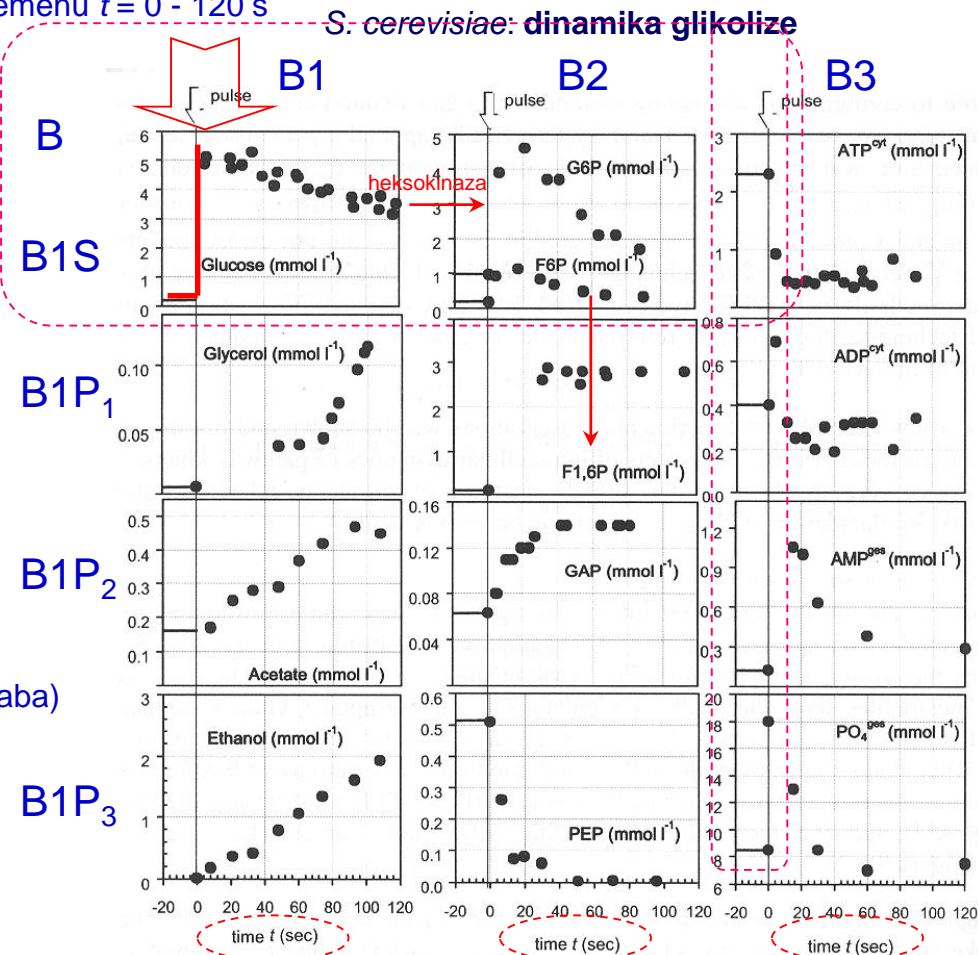


# primjena kemostata kod *in vivo* istraživanja fiziologije mikroorganizama (4)

- analiza (B) supstrata i vanstaničnih proizvoda (B1), unutarstaničnih međuspojeva (B2) i energetskih spojeva ATP/ADP/AMP/Pi (B3) nakon pulsa glukoze u vremenu  $t = 0 - 120$  s

## Metabolic Control Analysis (MCA)

- promjena koncentracije unutarstaničnih međuspojeva pokazuje kontrolu metabolizma glukoze povratnom spregom
- nakon pulsa glukoze raste brzina metabolizma glukoze za  $\approx 6$  puta (B1S)
- “višak” glukoze se fosforilira (heksokinaza, HK) i tako se povećava unutarstanična koncentracija G6P (B2) (aktivnost fosfofruktokinaze, PFK, je slaba)
- PFK se aktivira zbog opadanja konc. ATP (B3) i zbog povećanja konc. F6P (B2), AMP i ADP (B3)



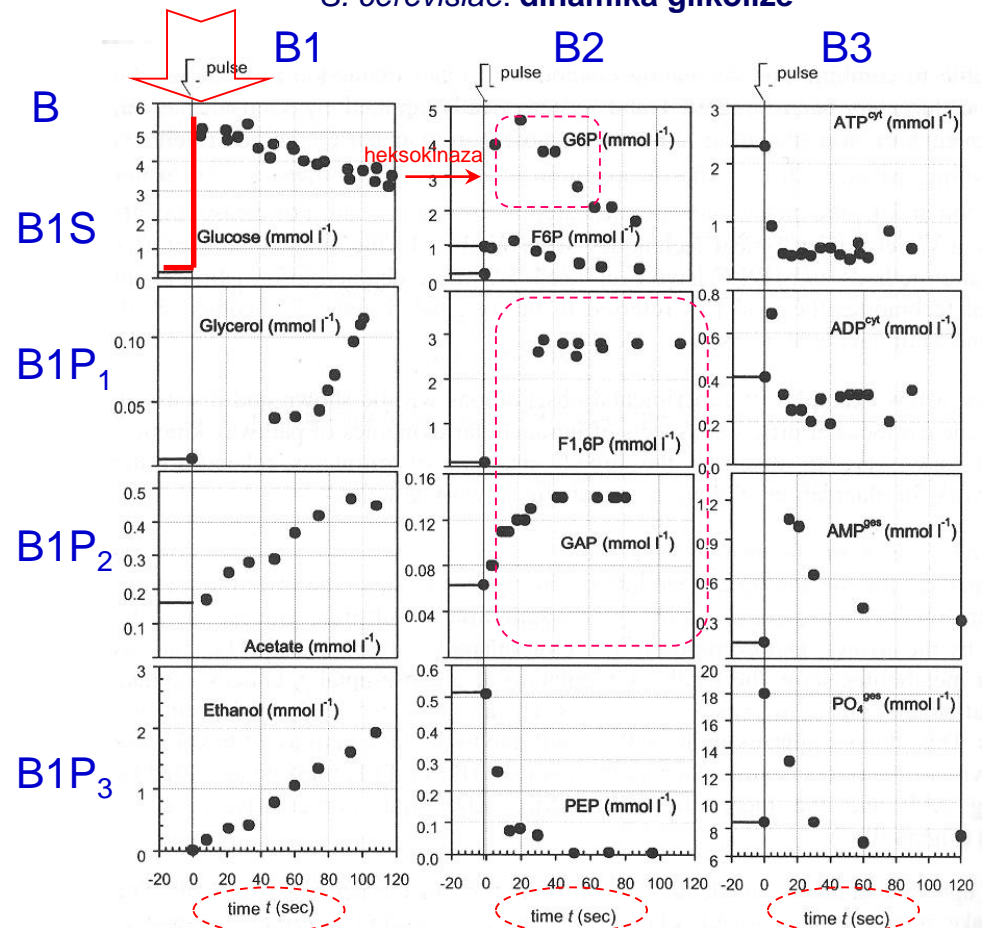
# primjena kemostata kod *in vivo* istraživanja fiziologije mikroorganizama (5)

- analiza (B) supstrata i vanstaničnih proizvoda (B1), unutarstaničnih međuspojeva (B2) i energetskih spojeva ATP/ADP/AMP/Pi (B3) nakon pulsa glukoze u vremenu  $t = 0 - 120$  s

## Metabolic Control Analysis (MCA)

- opada potrošnja glukoze jer G6P (B2) inhibira njezin transport (transport permeazom)
- koncentracije F1,6P i GAP (B2) ostaju visoke kroz period od  $\approx 100$  s zbog regulacije glikolize i pentoza-P puta
- porast konc. G6P na početku povezan je s porastom konc. 6P-glukonata i porastom potrošnje glukoze kroz pentoza-P put
- zbog toga i konc. F1,6P i GAP ostaju relativno konstantne i visoke kroz ovaj period

## *S. cerevisiae*: dinamika glikolize



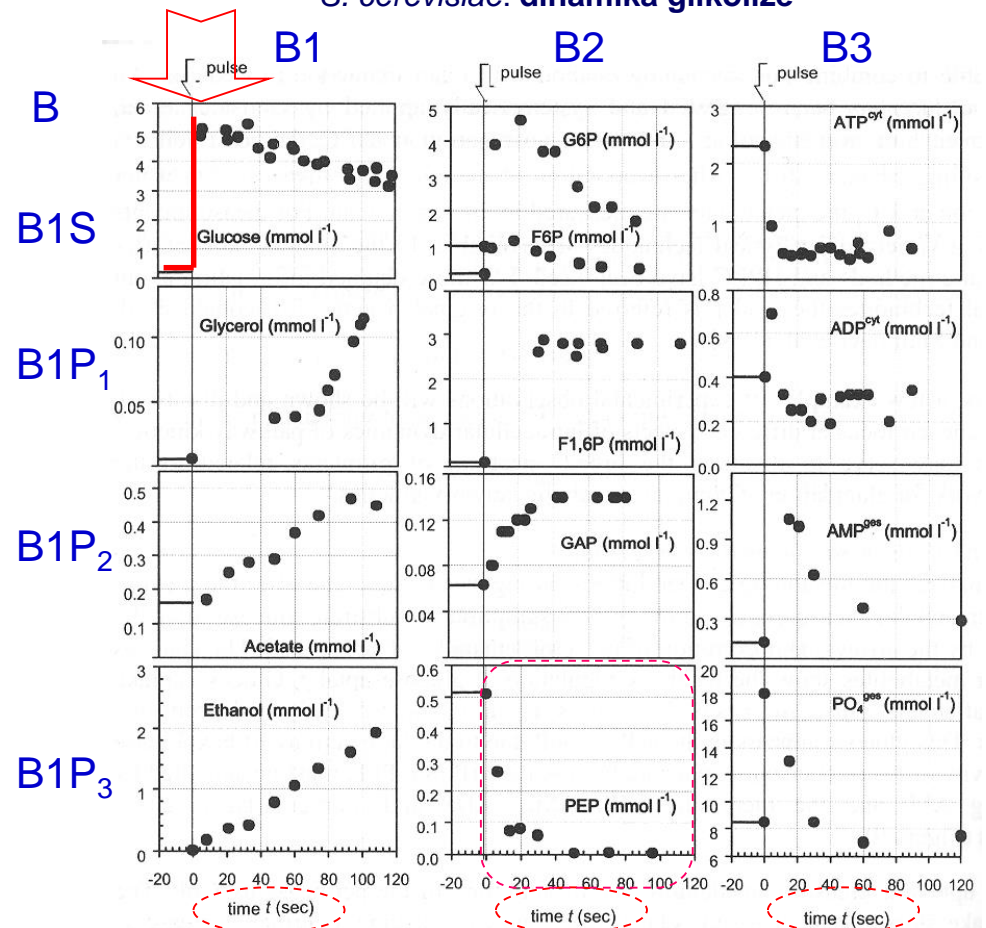
# primjena kemostata kod *in vivo* istraživanja fiziologije mikroorganizama (6)

- analiza (B) supstrata i vanstaničnih proizvoda (B1), unutarstaničnih međuspojeva (B2) i energetskih spojeva ATP/ADP/AMP/Pi (B3) nakon pulsa glukoze u vremenu  $t = 0 - 120$  s

## Metabolic Control Analysis (MCA)

- koncentracija PEP (B2) opada zbog aktivacije piruvat kinaze (PK) i to visokom konc. F1,6P
- porast konc. F1,6P vodi ka brzom opadanju konc. PEP koji se prevodi u piruvat
- nakon pulsa glukoze “val” ugljika prenosi se “niz glikolizu”

## *S. cerevisiae*: dinamika glikolize



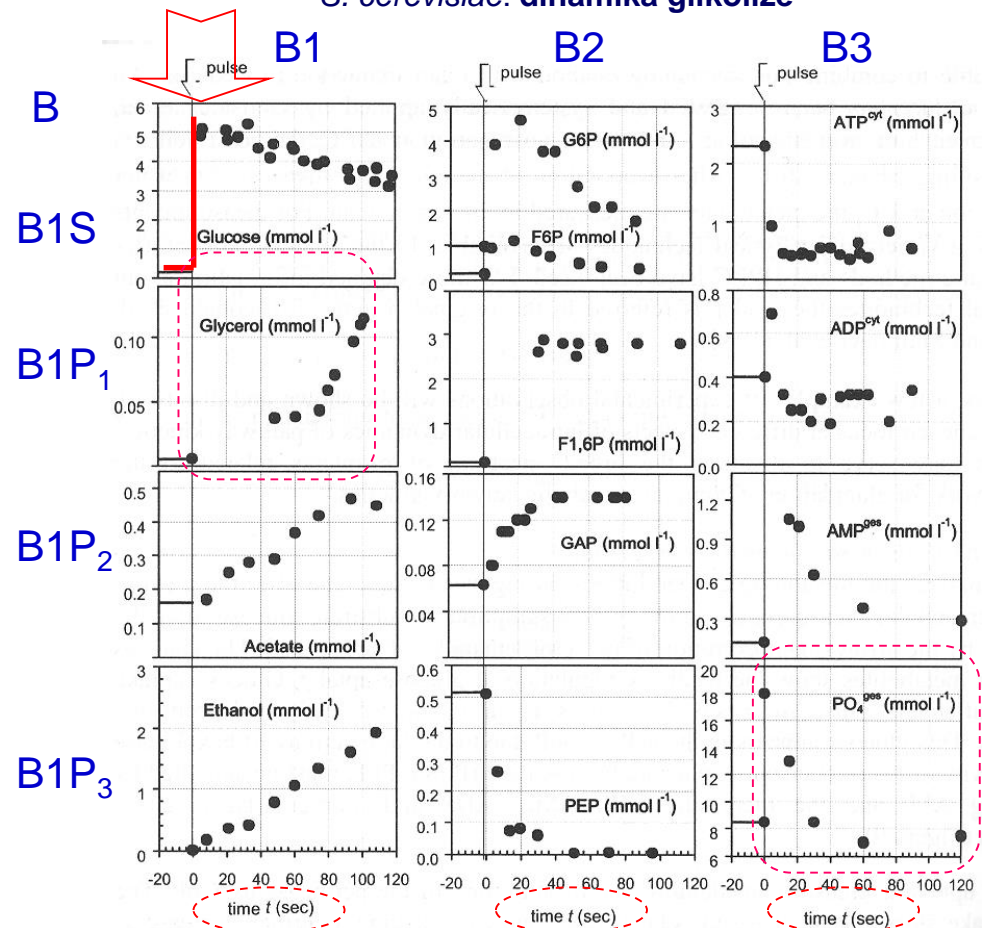
# primjena kemostata kod *in vivo* istraživanja fiziologije mikroorganizama (7)

- analiza (B) supstrata i vanstaničnih proizvoda (B1), unutarstaničnih međuspojeva (B2) i energetskih spojeva ATP/ADP/AMP/Pi (B3) nakon pulsa glukoze u vremenu  $t = 0 - 120$  s

## Metabolic Control Analysis (MCA)

- raste konc. NADH u citoplazmi kao i konc.  $PO_4^{3-}$  (B3); PK “vuče” 1,3-DPG; odvija se transport glicerola iz stanice (B1P<sub>1</sub>) i smanjuje se konc. NADH u stanici

## *S. cerevisiae*: dinamika glikolize





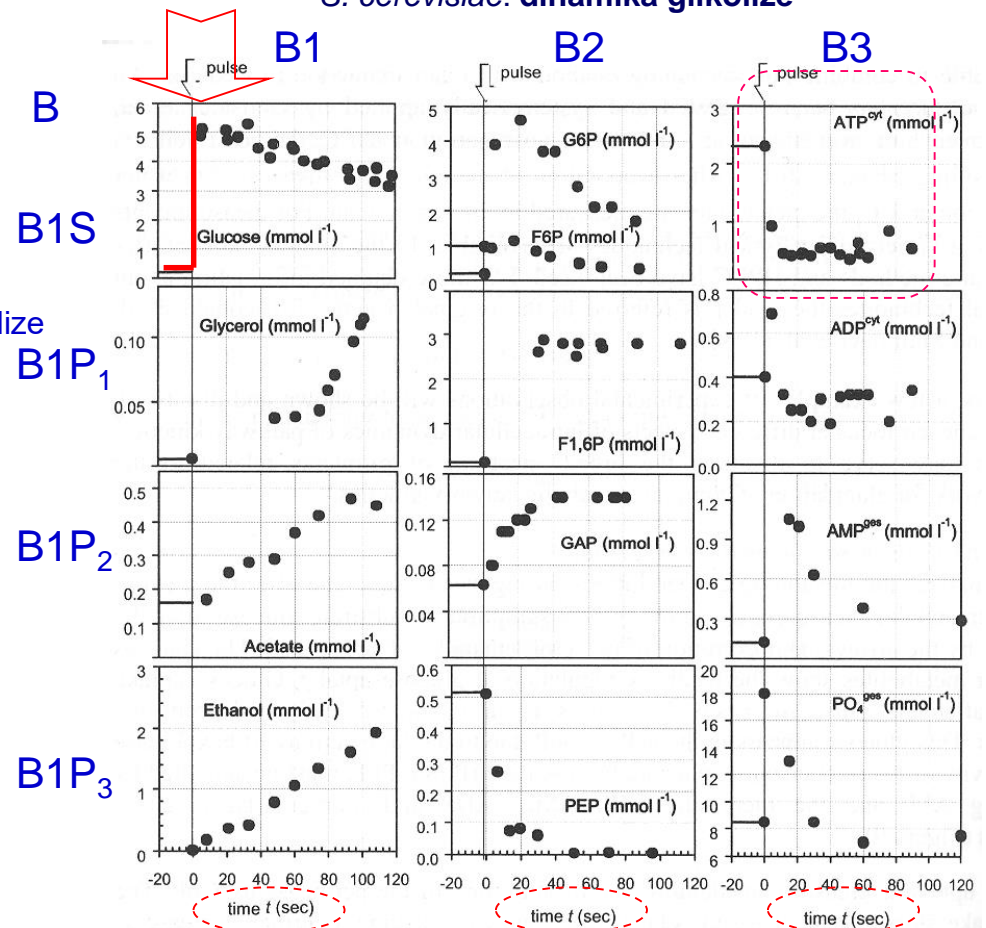
# primjena kemostata kod *in vivo* istraživanja fiziologije mikroorganizama (8)

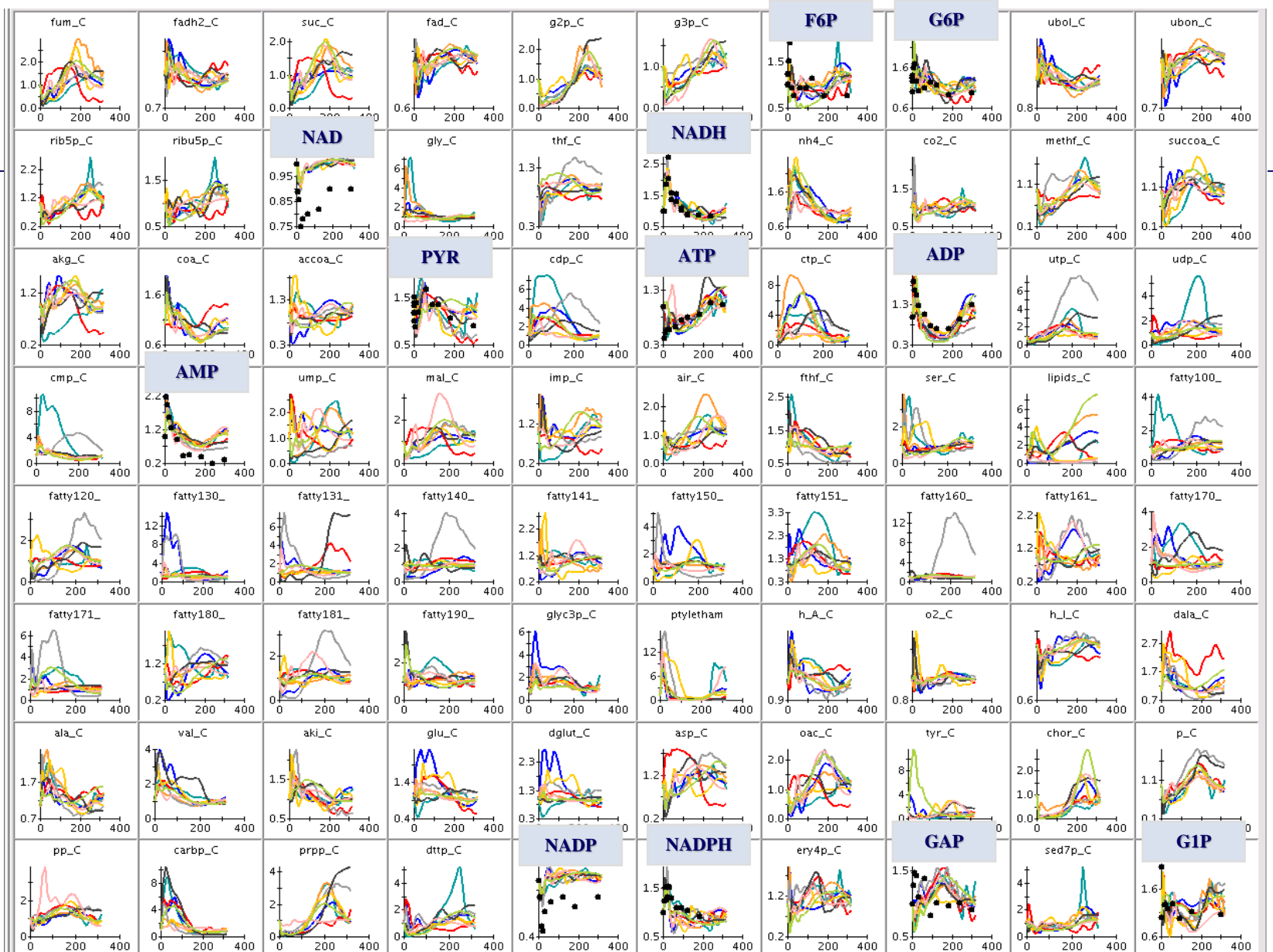
- analiza (B) supstrata i vanstaničnih proizvoda (B1), unutarstaničnih međuspojeva (B2) i energetskih spojeva ATP/ADP/AMP/Pi (B3) nakon pulsa glukoze u vremenu  $t = 0 - 120$  s

## Metabolic Control Analysis (MCA)

- konc. ATP opada brzo nakon pulsa glukoze
- ATP se troši za fosforilaciju (HK i PFK) brže nego što ATP nastaje u kasnijim reakcijama glikolize
- ne nastaje glikogen jer je za taj proces potrebna visoka konc. ATP

## *S. cerevisiae*: dinamika glikolize





*Escherichia coli*

(1) Regulacija metabolizma odvija se u vremenu od nekoliko sekundi ili kraćem.

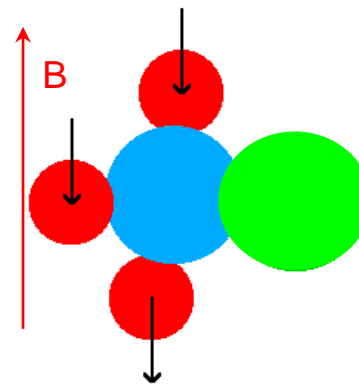
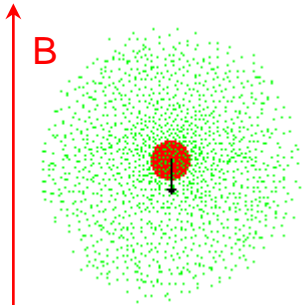
(2) U ovom vremenskom okviru promjene se događaju zbog regulacije metabolizma. Reakcije biosinteze (biosinteza enzima) smatra se „zamrznutom” (“frozen“ state).





## NMR - nuklearna magnetna rezonancija

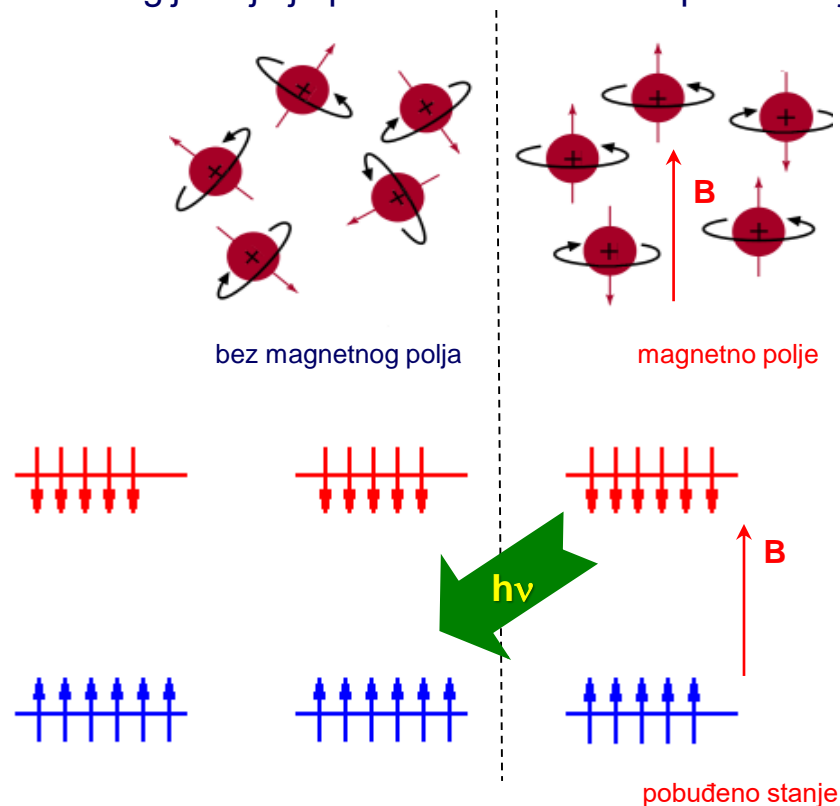
- *in vivo* NMR je neinvazivna metoda određivanja koncentracije metabolita u različitim odjeljcima stanice
- princip: u magnetnom polju elektroni određenog atoma kruže u smjeru ovog polja; kruženjem elektrona nastaje drugo, suprotno magnetno polje oko jezgre atoma; gustoća elektrona oko jezgre atoma ovisi o vrsti jezgre i vrsti veza kod određene molekule (npr. metanol)



metanol

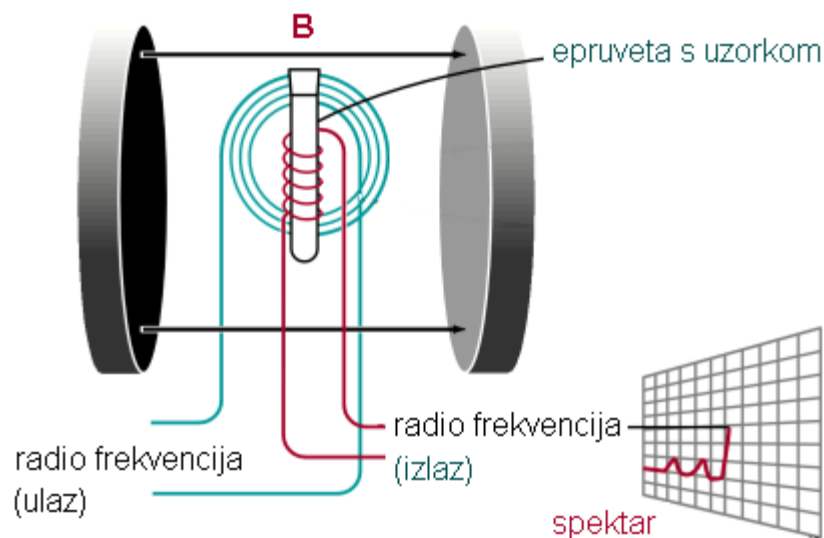
## NMR analiza metaboličkih flukseva (2)

- princip: jezgre atoma koji imaju neparan atomski broj (npr.  $^1\text{H}$  i  $^{13}\text{C}$ ) imaju spin (sličan spinu elektrona); jezgra predstavlja nabijenu česticu koja se kreće i samim time stvara magnetno polje; bez “vanjskog” magnetnog polja jezgre atoma imaju tzv. slučajnu orijentaciju, primjenom magnetnog polja jezgre ovih atoma orijentiraju se paralelno s poljem; EM se koristi za “okretanje” (eng. flip) spinova; količina energije koju je potrebno uložiti za “flip” ovisi o jačini magnetnog polja



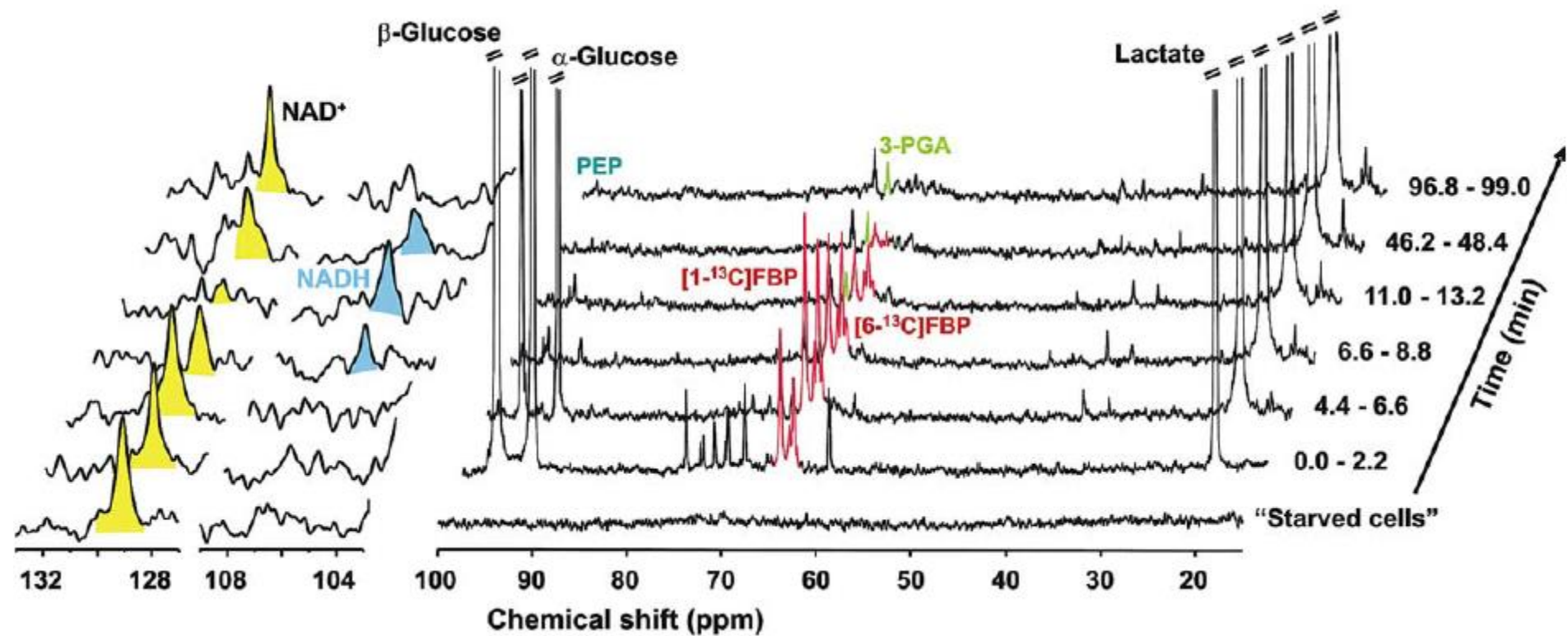
## NMR analiza metaboličkih flukseva (3)

- osnovne komponente NMR sustava: uzorak smješten u magnetnom polju pobudi se pulsevima radio frekvencije, tada magnetno polje inducira radio signal koji se koristi za formiranje izlaznog signala, Fourier analiza kompleksnih izlaznih signala formira konačni spektar

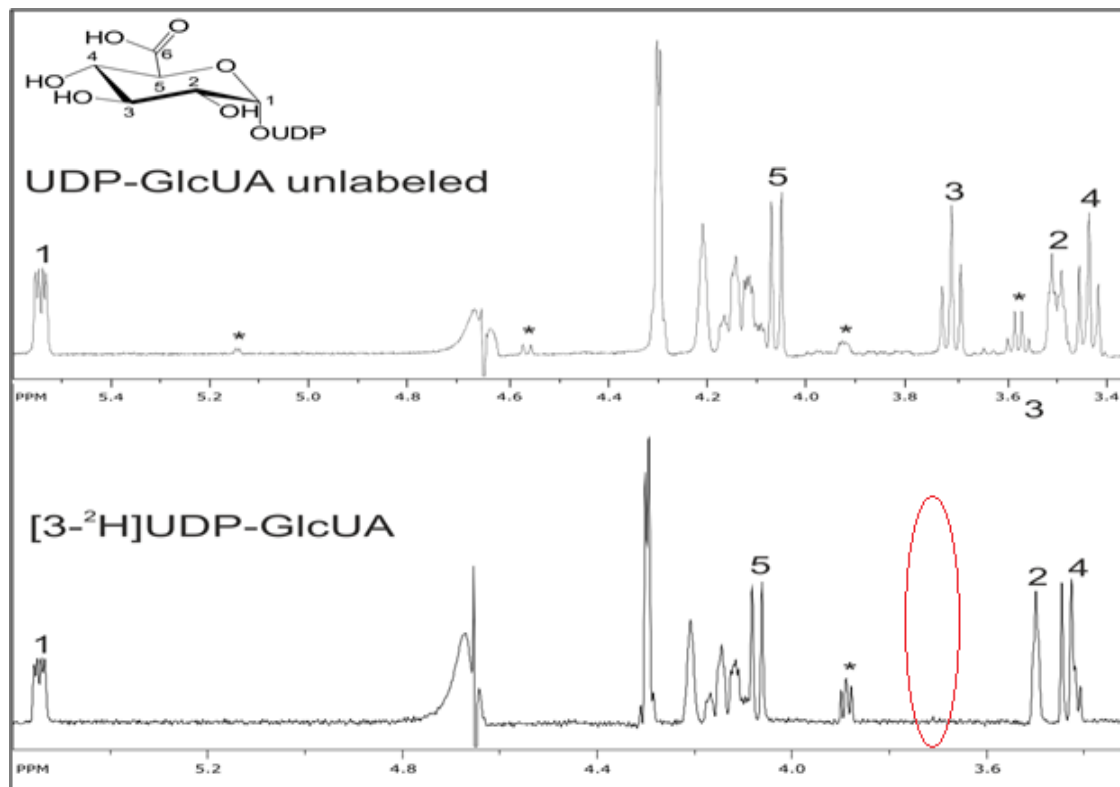


- primjena: NMR analiza  $^{31}\text{P}$  omogućava praćenje metabolizma ugljikohidrata jer se ovom metodom mogu razlikovati unutarstanični i vanstanični anorganski fosfat, zatim pirofosfat, ATP, ...; NMR analiza  $^{13}\text{C}$  zahtijeva korištenje spojeva bogatih na ovom izotopu; metaboličko inženjerstvo

# NMR analiza metaboličkih flukseva (3a)



# NMR analiza metaboličkih flukseva (3b)



- Geiger i scintilacijski brojači

- primjena:

stupnjevita (eng. step) ili udarna (eng. pulse-chase) pobuda

(kratkotrajna pobuda radioaktivnim materijalom koji se ispire i zamjenjuje molekulama koje ne pokazuju radioaktivnost)

određivanje redoslijeda reakcija u biokemijskim putevima

praćenje ugradnje građevnih blokova u polimere

lokalizacija određenih funkcija u stanici

autoradiografija (istraživanje funkcija tkiva pod mikroskopom)

analiza frakcija stanica

proučavanje transporta u stanicu

**transport glukoze u stanice kvasca *Saccharomyces cerevisiae***

- **scintilacijsko brojanje:** određivanje radioaktivnog raspada određene tvari tj. određivanje količine radioaktivnosti u uzorku. U “koktelu” se odvijaju fizikalno-kemijske reakcije tj. energija koja se oslobađa tijekom radioaktivnog raspada prevodi se u energiju koja se mjeri scintilacijskim brojačem.

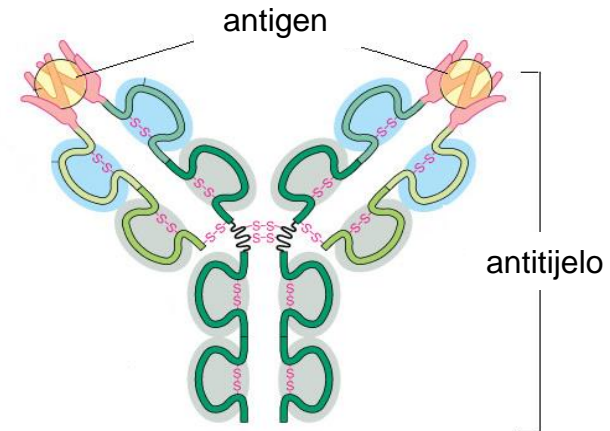
**scintilacijski brojač:** fotoćelija visoke rezolucije koja može detektirati  $\alpha$ -čestice (jezgre He),  $\beta$ -čestice (elektroni),  $\gamma$ - i x-zrake, te pozitrone, Comptonove i Angerove elektrone.

Najčešće su se koristile  $^{14}\text{C}$ ,  $^3\text{H}$  i  $^{32}\text{P}$  tj. detektirale  $\beta$ -čestice.

## primjena protutijela

- protutijela su proteini koje proizvode kralješnjaci kao obranu nakon infekcije
- to su jedinstveni proteini koji “prepoznaju” specifičnu molekulu - antigen
- određeni antigen “izaziva” sintezu određenog proteina
- obilježavanje fluorescentnim spojevima (fluorescentna mikroskopija, FM)

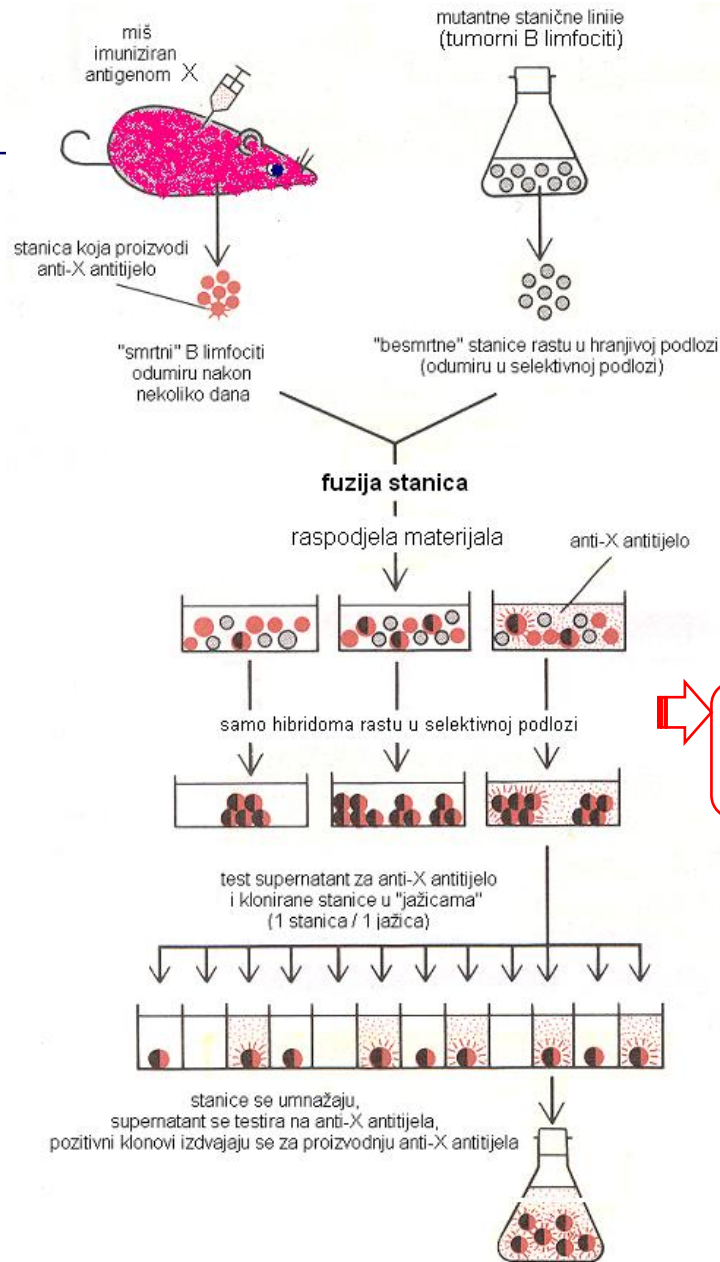
- visoka specifičnost reakcije antigen-protutijelo
- antigeni: proteini, DNA, RNA, polisaharidi, organeli, druga antitijela



- heteroklonska protutijela (B-limfociti, antiserum, životinje)
- monoklonska protutijela (tehnologija hibridoma)



## primjena antitijela



- kloniranje B-limfocita koji proizvode jednu vrstu antitijela (homogena monoklonalna antitijela)
- B-limfociti iz imunizirane životinje fuzirani s "besmrtnim" tumorskim B-limfocitima

animacija: **Producing Monoclonal Antibodies**  
[www.sumanasinc.com/webcontent/animations/molecularbiology.html](http://www.sumanasinc.com/webcontent/animations/molecularbiology.html)

### **Primarne stanice**

stanice oslobođene od ostalog dijela tkiva uzgojene u prikladnim uvjetima rasti i razmnožavaju se tek nekoliko generacija

### **Besmrtne stanice**

(kontinuirane stanične linije)  
posebni izolati koji se razmnožavaju beskonačno

### **Hibridoma**

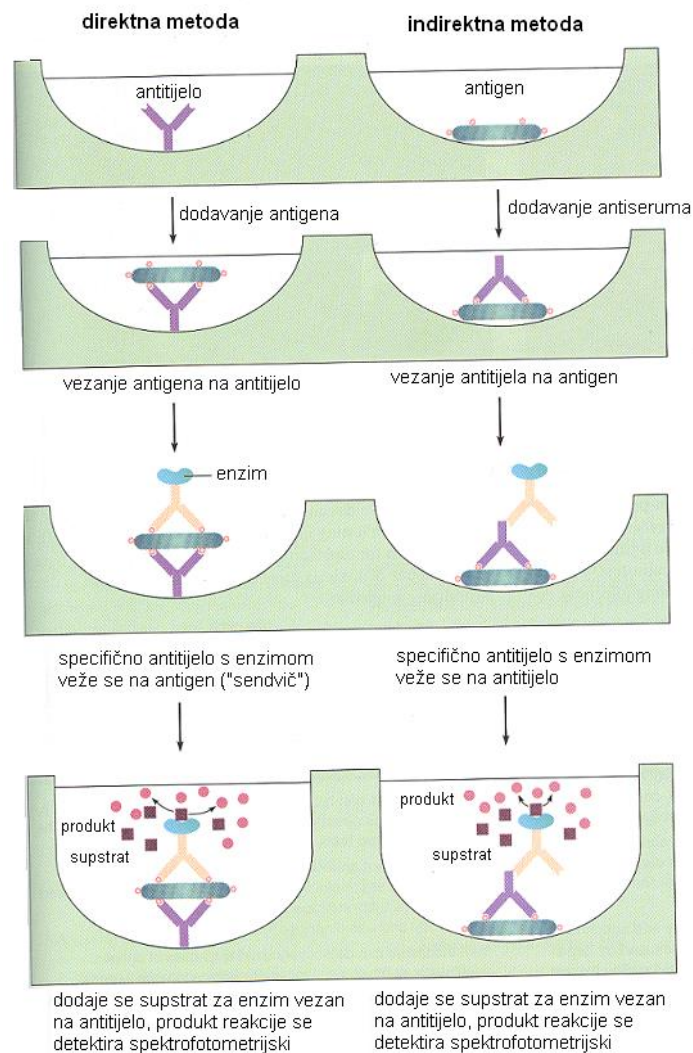
hibrid između primarnih stanica B limfocita i mutiranih - tumorskih stanica B limfocita,  
besmrtne stanice sa značajkama primarnih stanica

Uzgoj biljnih i životinjskih stanica omogućava industrijsku proizvodnju

vakcina, virusa, specifičnih proteina koji se ne mogu proizvesti drugim organizmima;  
monoklonska antitijela u terapijske, dijagnostičke i znanstvene svrhe;  
specifičnih metabolita biljaka i životinja (prehrambeni aditivi, parfemi, agrokemikalije, insekticidi, ...)

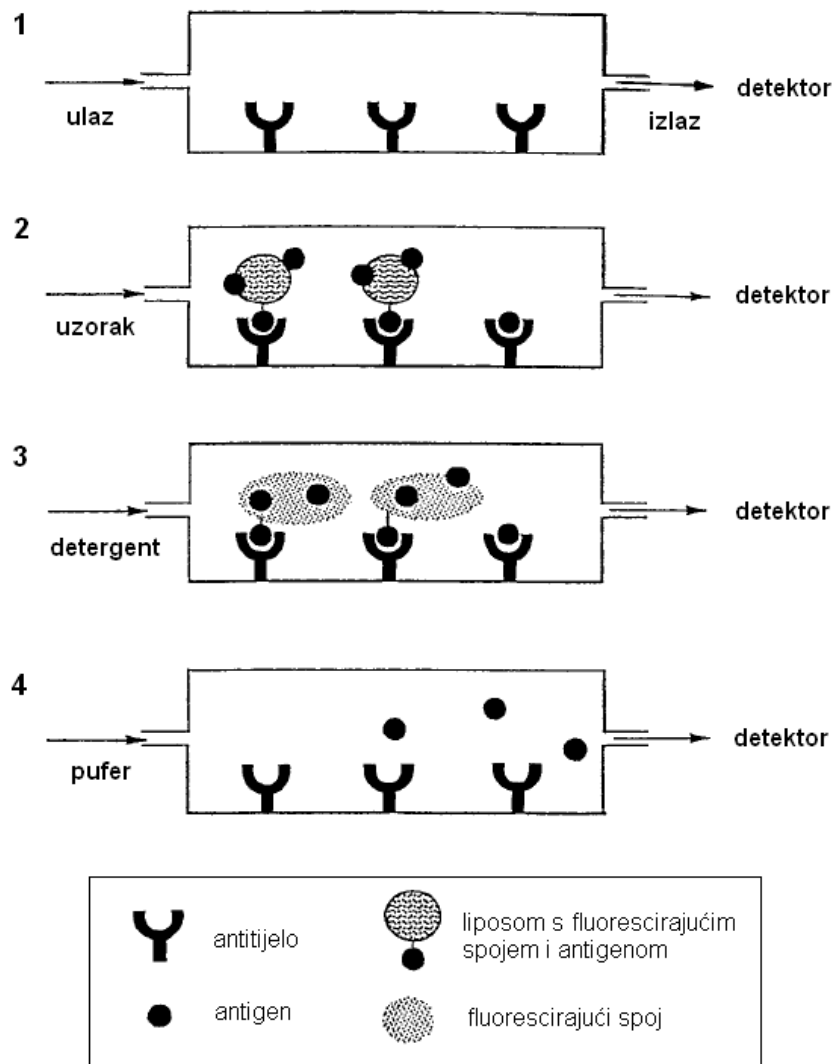


- mogućnost kvalitativne i kvantitativne analize specifičnih antigena
- RIA (eng. RadioImmunoAssay; antitijela sa radioizotopom)
- **ELISA** (eng. Enzyme-Linked Immunosorbent Assay; antitijela s enzimom) ----->



## primjena antitijela

- imunocitokemija (antitijela s feritinom za TEM; fluorescentna antitijela za FM)
- afinitetna kromatografija (High-Performance Immuno Affinity Chromatography, HPIAC):
  - izdvajanje i analiza specifičnih bioloških spojeva (RF, GC, CE, kiralni spojevi, tandem affinity)
- analiza teofilina pomoću HPIAC, kompetitivno vezanje teofilina na imuno-afinitetnu kolonu, teofilin povezan s liposomom koji sadrži karboksifluorescein kao marker



## genetičko inženjerstvo - tehnologija rekombinantne DNA (rDNA)

---

- proizvodni mikroorganizam može biti  
izolat iz prirode (nasumično)  
inducirani mutant (nasumično)  
konstruiran tehnologijom rDNA (selektivnost)
- povijesni pregled

**1869**      **Miescher** izolirao DNA

**1944**      **Avery** dokazao da je genetička informacija zapisana u DNA, a ne u proteinima

**1953**      **Watson** i **Crick** prikazali strukturu DNA modelom dvostruke uzvojnice na temelju rezultata **kristalografije X-zrakama** za koji su zaslužni **Franklin** i **Wilkins**

**1961**      **Marmur** i **Doty** otkrili renaturaciju DNA čime su omogućene reakcije hibridizacije DNA

**1962**      **Arber** otkrio restrikcijske endonukleaze, za njihovu purifikaciju i primjenu u genetičkom inženjerstvu zaslužni **Nathans** i **H. Smith**

**1966**      **Nirenberg**, **Ochoa** i **Khorana** objašnjavaju genetički kod

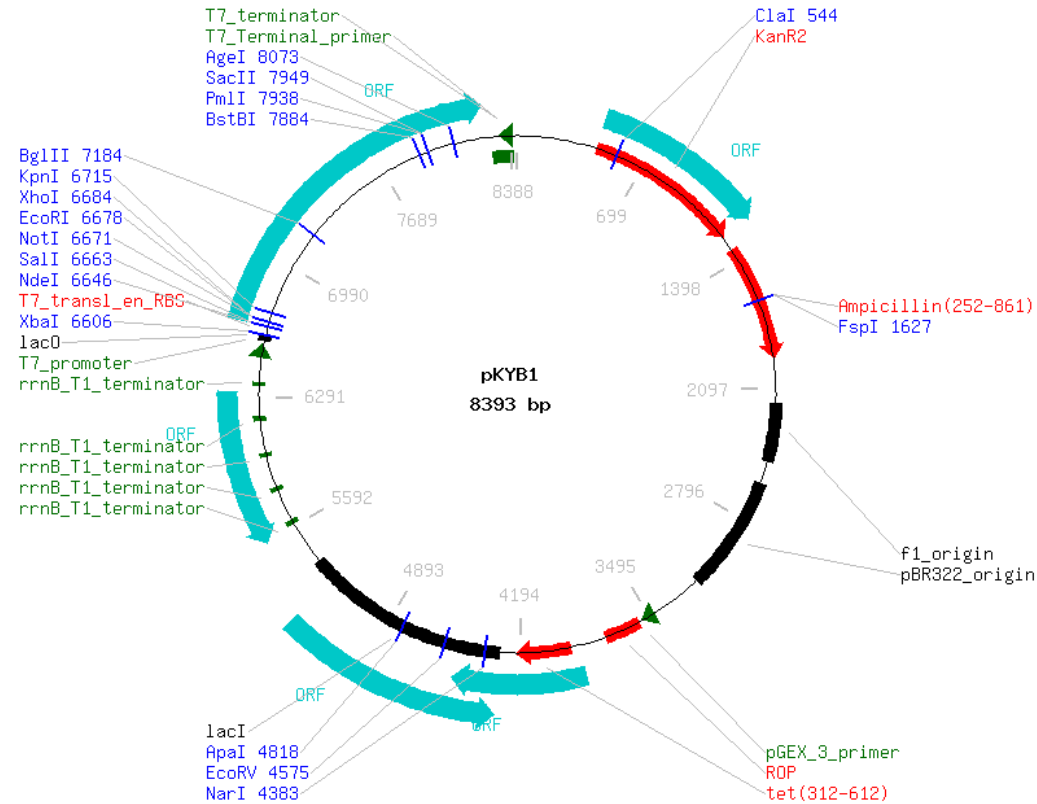
**1967**      **Gellert** otkrio DNA ligazu, enzim koji se koristi za spajanje fragmenata DNA

**1972-1973**      **Boyer**, **Cohen**, **Berg** (Stanford, UC San Francisco) razvili tehnike kloniranja

**1975-1977**      **Sanger** i **Barrel**, te **Maxam** i **Gilbert** razvili brzu metodu za sekvencioniranje DNA (određivanje redosljeda nukleotida)

- genetička informacija može biti prepisana iz  
DNA davatelja gena (niska selektivnost)  
banke gena davatelja (viši stupanj selektivnosti)  
mRNA davatelja gena (viši stupanj selektivnosti)

- restrikcijske endonukleaze
- restrikcijski fragmenti i restrikcijske mape
- DNA ligaza: kloniranje heterologne DNA u plazmide i viruse
- transformacija plazmidne ili virusne DNA u stanicu domaćina
- tehnike hibridizacije
- reverzna transkriptaza: kopiranje mRNA u cDNA (komplementarna, kopirana)
- (automatsko) određivanje redosljeda baza (eng. sequencing)
- određivanje redosljeda aminokiselina proteina iz redosljeda baza
- genomika (sekvencioniranje ukupnog genoma; "omics")
- proteinsko inženjerstvo



<http://www.neb.com/nebecomm/products/productN6701.asp>

- važnost genetičkog inženjerstva u biotehnologiji:
  - mogućnost dobivanja rijetkih proteina iz bilo kojeg izvora u dostatnim količinama za istraživanje,
  - određivanje redoslijeda aminokiselina u proteinima preko redoslijeda nukleotida u DNA,
  - određivanje redoslijeda nukleotida cijelog genoma,
  
  - proizvodnja specifičnih proteina u industrijskom mjerilu,
  - metaboličko inženjerstvo (dobivanje novih proizvoda metabolizma “ubacivanjem” gena za nove enzime),
  - razvitak vektora za “ubacivanje” heterolognih gena u životinjske i biljne stanice (transgenične životinje i biljke).

# baze podataka i algoritmi

**DSMZ** Leibniz-Institut DSMZ-Deutsche Sammlung von Mikroorganismen und Zellkulturen GmbH  
Leibniz Institute DSMZ-German Collection of Microorganisms and Cell Cultures

HOME ABOUT US RESEARCH BACTERIAL DIVERSITY CATALOGUES SERVICES DEPOSIT SHOP DOWNLOADS CONTACT

**RIKEN BIORESOURCE CENTER**  
JAPAN COLLECTION OF MICROORGANISMS



- ▶ What's new
- ▶ Definitions and Terminology
- ▶ Help
- ▶ Citing CAZy
- ▶ Enzyme & Glyco Resources
- ▶ Commercial Providers
- ▶ Scientific Meetings
- ▶ About Us
- ▶ Position(s) available

**ExpASY**  
Bioinformatics Resource

**Visual Guidance**

**Categories**

- proteomics
- genomics
- structural bioinformatics
- systems biology
- phylogeny/evolution
- population genetics
- transcriptomics
- biophysics
- imaging
- IT infrastructure
- drug design

**Resources A..Z**

**Links/Documentation**

**BRENDA**  
The Comprehensive Enzyme Information System

EC-Number Enzyme Name Organism Protein Full text Ligand Advanced Search

NCBI Resources How To

**NCBI Home**

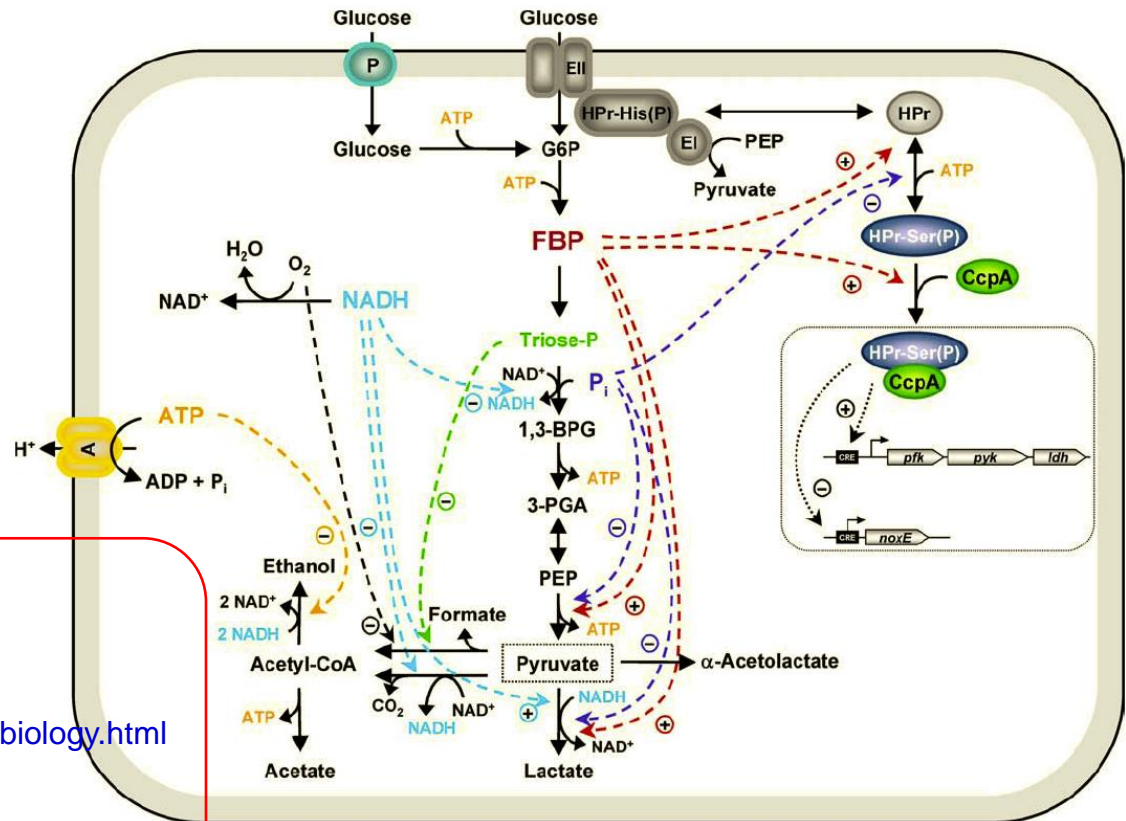
**Resource List (A-Z)**

- All Resources
- Chemicals & Bioassays
- Data & Software
- DNA & RNA
- Domains & Structures
- Genes & Expression
- Genetics & Medicine
- Genomes & Maps
- Homology
- Literature
- Proteins
- Sequence Analysis
- Taxonomy
- Training & Tutorials
- Variation



- dobivanje i proučavanje mutanata
- mutanti: apsolutni i uvjetni (npr. temperaturni)
- određivanje redoslijeda reakcija kod biokemijskih puteva
- proučavanje regulacijskih mehanizama
- proučavanje transporta
- izrada genetičke mape (genetičke rekombinacije)

ccpA catabolite control protein A  
 cre catabolite responsive element  
 noxE NADH oksidaza (H<sub>2</sub>O)



- animacije:
- The Meselson-Stahl Experiment**
  - High-Throughput Sequencing**
  - Construction of a DNA Library**
  - [www.sumanasinc.com/webcontent/animations/biology.html](http://www.sumanasinc.com/webcontent/animations/biology.html)
  - Life Cycle of an mRNA**
  - The Polymerase Chain Reaction (PCR)**
  - Plasmid Cloning**
  - [www.sumanasinc.com/webcontent/animations/molecularbiology.html](http://www.sumanasinc.com/webcontent/animations/molecularbiology.html)

## literatura (1)

---

1. L. Bachmann, W.W. Schmitt (1971) Improved cryofixation applicable to freeze etching, *Proceedings of the National Academy of Sciences USA* **68**, 2149-2152.
2. D. Branton et al. (2005) The invention of freeze fracture EM and the determination of membrane structure, *The Journal of Cell Biology* **168**, 174-175.
3. B.F. Brehm-Stecher , E.A. Johnson (2004) Single-cell microbiology: tools, technologies, and applications, *Microbiology and Molecular Biology Reviews* **68**(3), 538-559.
4. B-PER Protein Extraction Reagents : <http://www.piercenet.com/products>.
5. Fenn J.B., Mann M., Meng C.K., Wong S.F., Whitehouse C.M. (1989) Electrospray ionization for mass spectrometry of large biomolecules, *Science*, 246(4926):64-71.
6. A.M. Feist, B.Ø. Palsson (2008) The growing scope of applications of genome-scale metabolic reconstructions using *Escherichia coli*, *Nature Biotechnology* **26**(6) 659-667.
7. T. Ferenci (2007) Bacterial physiology, regulation and mutational adaptation in a chemostat environment, *Advances in Microbial Physiology* **53**, 169-229.
8. Genome News Network: [http://www.genomenewsnetwork.org/articles/03\\_01/Genomes\\_lit.shtml](http://www.genomenewsnetwork.org/articles/03_01/Genomes_lit.shtml)
9. Grupa autora: *Biochemical Engineering Principles*, M. Berovič, A.W. Nienow (eds.), Faculty of Chemistry and Chemical Technology, University of Ljubljana, Slovenia (2006).
10. D.S. Hage (1999) Affinity chromatography: a review of clinical applications, *Clinical Chemistry* **45**, 593-615.
11. Hušek, P. (1995) Simultaneous profile analysis of plasma amino and organic acids by capillary gas chromatography, *Journal of Chromatography B*, 669, 352-357.
12. Karas M., Hillenkamp F. (1988) Laser desorption ionization of proteins with molecular masses exceeding 10,000 daltons, *Anal. Chem.* 60(20):2299-301.
13. J.R. Lakowicz: *Principles of Fluorescence Spectroscopy*, 2nd edition , Kluwer Academic/Plenum Publishers, New York (1999).
14. V. Marić, B. Šantek: *Biokemijsko inženjerstvo*, S. Grba, P. Horvat, P. Raspor (eds.) Golden marketing - Tehnička knjiga, Zagreb (2009).
15. M. Mueller, R. Kratzer, M. Schiller, A. Slavica, G. Rechberger, M. Kollroser, B. Nidetzky (2010) The role of Cys108 in *Trigonopsis variabilis* D-amino acid oxidase examined through chemical oxidation studies and point mutations C108S and C108D, *Biochimica et Biophysica Acta*, 1804: 1483-1491.

## literatura (2)

---

16. A. Mueller-Taubenberger, K.L. Anderson (2007) Recent advances using green and red fluorescent protein variants, *Applied Microbiology and Biotechnology* **77**, 1-12.
17. Plazmid: <http://www.neb.com/nebecomm/products/productN6701.asp>
18. A.R. Neves et al. (2005) Overview on sugar metabolism and its control in *Lactococcus lactis* – The input from in vivo NMR, *FEMS Microbiology Reviews* **29**, 531-554.
19. Protein Data Bank: <http://www.rcsb.org/pdb>.
20. D. Santos Pontes et al. (2007) Molecular approaches: advantages and artifacts in assessing bacterial diversity, *Industrial Microbiology and Biotechnology* **34**, 463-473.
21. A. Slavica, I. Dib, B. Nidetzky (2005) Single-site oxidation, cysteine 108 to cysteine sulfinic acid, in D-amino acid oxidase from *Trigonopsis variabilis* and its structural and functional consequences, *Applied and Environmental Microbiology* **71**(12):8061-8068.
22. D. Straganz, A. Slavica, H. Hofer, U. Mandl, W. Steiner, B. Nidetzky, (2005) Integrated approach for production of recombinant acetylacetone dioxygenase from *Acinetobacter johnsoni*, *Biocatalysis and Biotransformation* **23**(3-4):261-9, 2005.
23. The Genome Database: <http://www.ncbi.nlm.nih.gov>
24. C. Trampitsch, A. Slavica, W. Riethorst, B. Nidetzky (2005) Reaction of *Trigonopsis variabilis* D-amino acid oxidase with 2,6-dichloroindophenol: kinetic characterization and development of an oxygen-independent assay of the enzyme activity, *Journal of Molecular Catalysis B: Enzymatic* **32**:271-278.
25. Trodimenzionalni model proteina: <http://swissmodel.expasy.org>
26. J.V. Shanks (1988) Metabolic engineering applications of *in vivo* <sup>31</sup>P and <sup>13</sup>C NMR studies of *Saccharomyces cerevisiae*, PhD Thesis.
27. A. Trontel, et al., A. Slavica, S. Novak (2010) (analysis of amino acids) to be published.
28. A. Trontel, et al., A. Slavica, S. Novak (2010) (analysis of oligosaccharides) to be published.

## literatura (3)

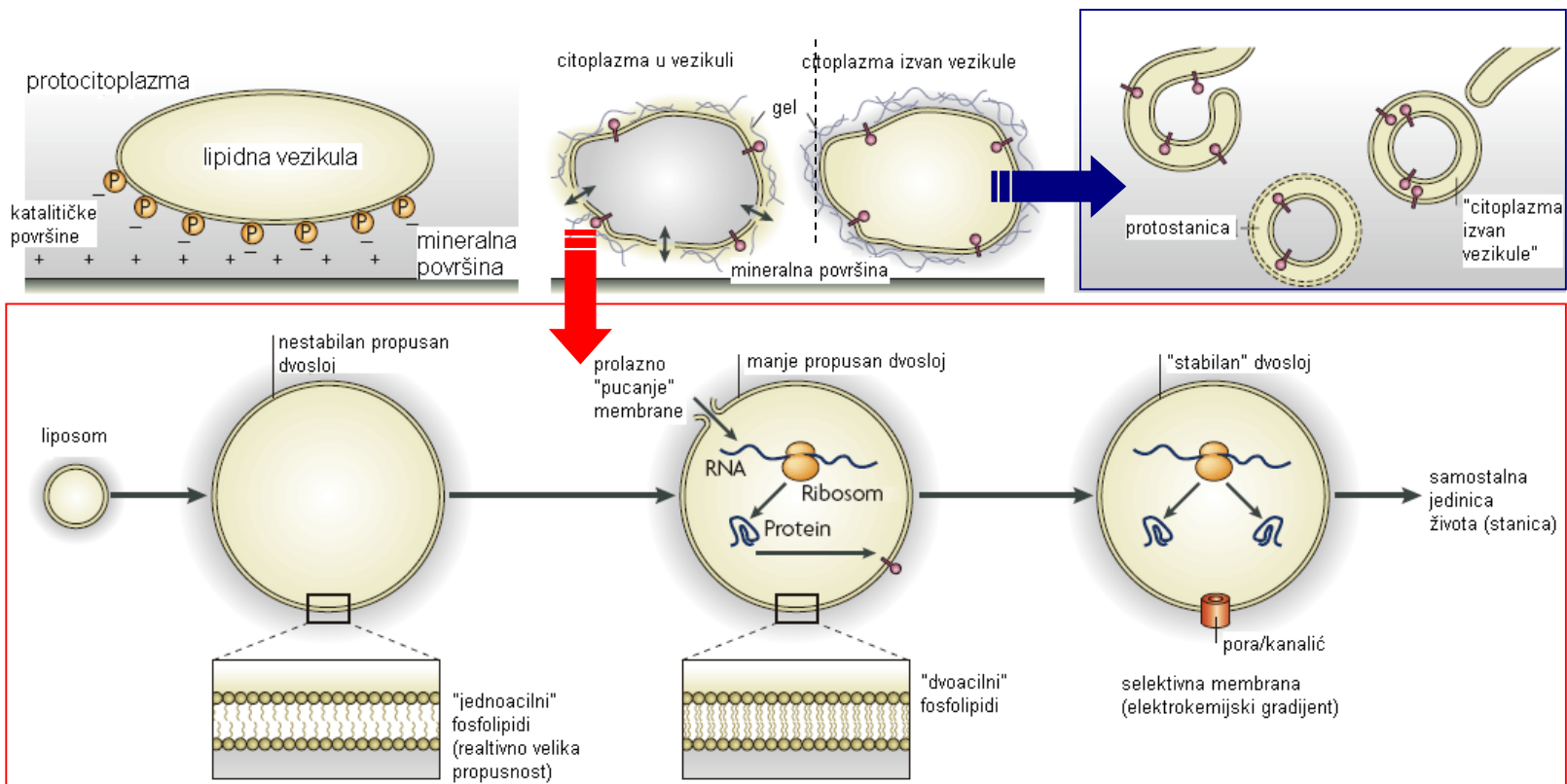
---

29. J. Varnerm D. Ramkrishna (1999) Mathematical models of methabolic pathways, *Current Opinion in Biotechnology* **10**, 146-150.
30. R.A. Weusthuis et al., Chemostat cultivation as a tool for studies on sugar transport in yeasts, *Microbiological Reviews* **58**, 616-630.
31. J. Gunawardena (2012) Silicon dreams of cells into symbols, *Nature Biotechnology* **30**, 838-840.
32. <http://www.ncbi.nlm.nih.gov>

# BIOMEMBRANE – GRAĐA I FUNKCIJA

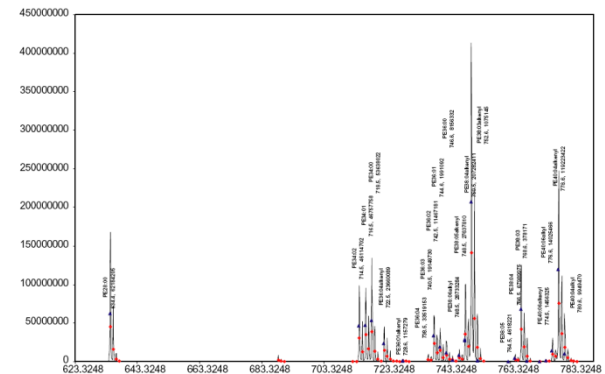
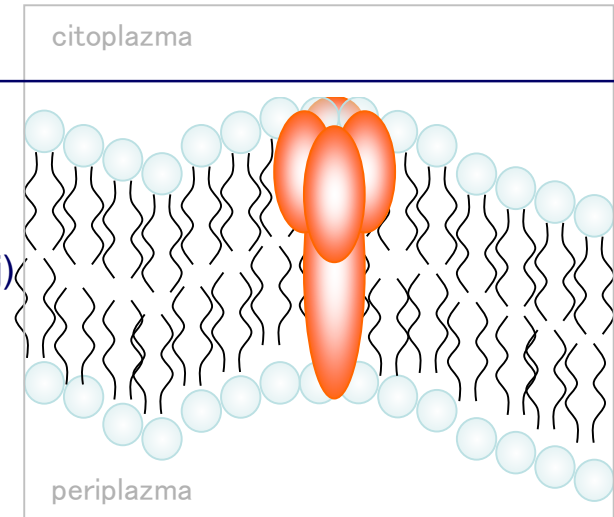
## biomembrane (1)

- plazmina membrana: hidrofobni lipidni dvosloj širine 4-5 nm (30 Å-10 nm), dinamično organiziran okomito i lateralno, predstavlja granicu života i smrti za stanicu
- kako i gdje je nastala prva stanica ?
- (ko-)evolucija citoplazme i membrane: međudjelovanje površina i "problem" formiranja stanice



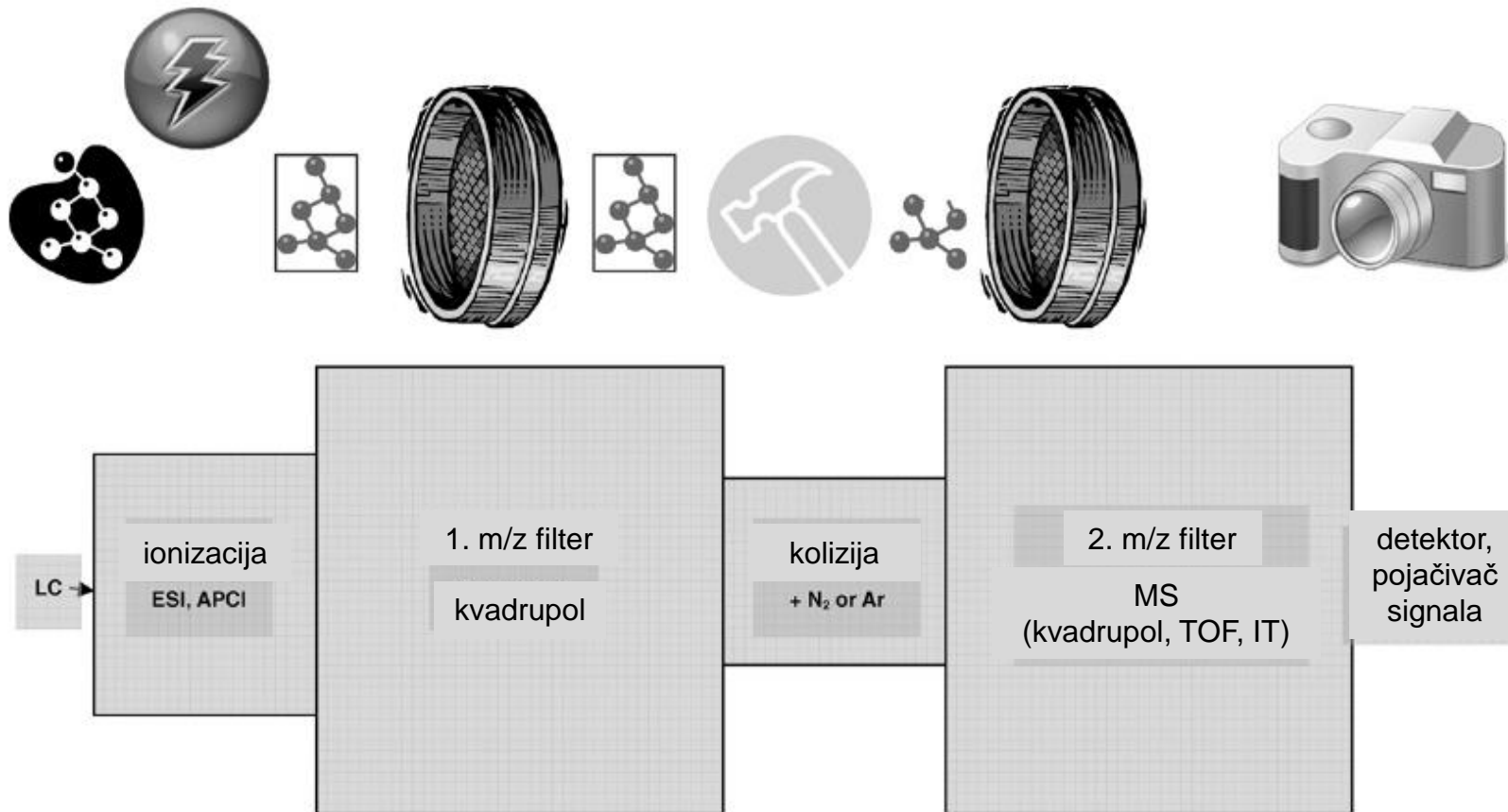
## biomembrane - zajedničke karakteristike (2)

- sastoje se iz lipida (35-50%) i proteina (50-65%)
- molekule lipida poredane su u neprekinuti dvostruki sloj (lipidni dvosloj)
- lanci masnih kiselina su hidrofobni, dok je ostatak polaran polarna “glava”: glicerol + fosforna kiselina + alkoholamin
- molekula fosfolipida je amfifilna
- lipidni dvosloj predstavlja osmotsku barijeru (nepropustan je za većinu u vodi otopljenih molekula)
- proteini membrane (membranski proteini) “otopljeni” su u lipidnom dvosloju
- lipidni dvosloj je dvodimenzionalna tekućina, ima dinamičnu i fluidnu strukturu (velika horizontalna pokretljivost molekula lipida i proteina)
- lipidomics
- oko 5% gena eukariotske stanice kodira za sintezu lipida



## biomembrane - zajedničke karakteristike (3)

### lipidomics - MS/MS





# biomembrane - sinteza i transport lipida (4)

· sinteza lipida odvija se u

sisavci **kvasci**

PL - fosfolipid

plavi PL - struktura

crveni PL - "signaling"

CHOL - kolesterol (si

ERG - ergosterol (kv

PC - fosfatidil-kolin

PE - fosfatidil-etanol

PI - fosfatidil-inozitol

PS - fosfatidil-serin

PA - fosfatidna kiselir

PG - fosfatidil-glicero

Cer - ceramid

TG - triacilglicerol

SM - sfingomijelin

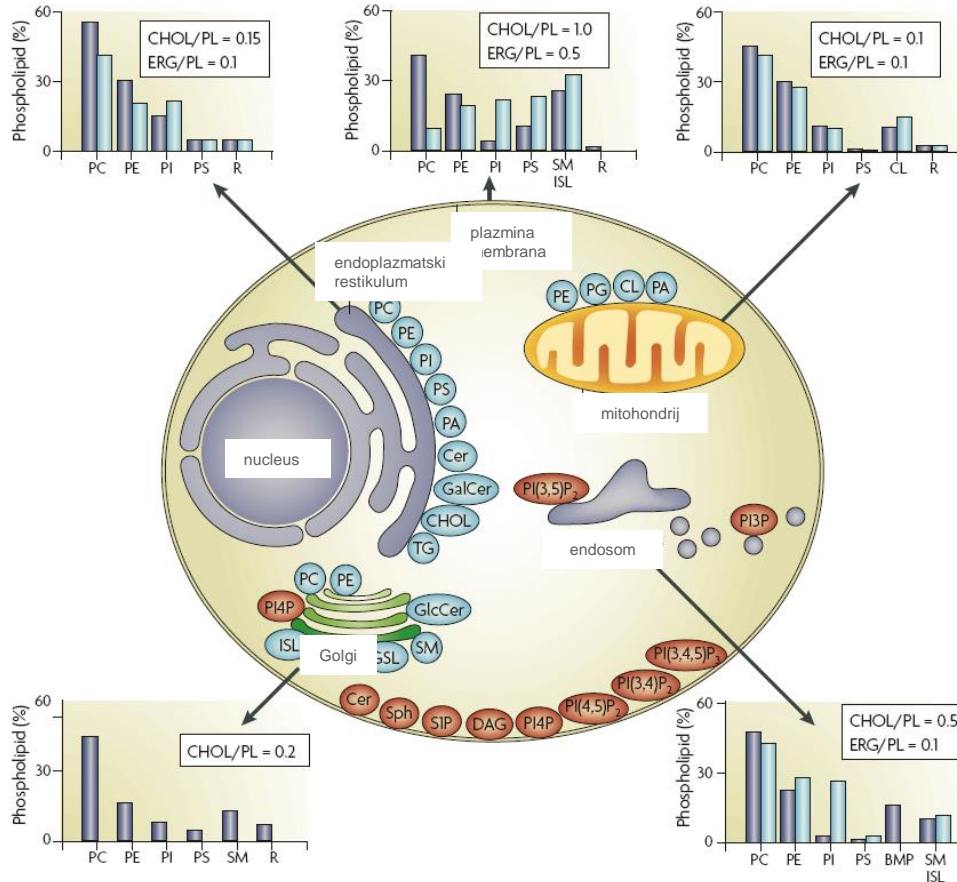
GSL - glikosfingolipic

ISL - inozitol-sfingolij

DAG - diacil-glicerol

CL - kardiolipin

Sph - sfingozin



endoplazmatskom retikulumu (mrežici) i brzo se

transportiraju do drugih organela;

Golgi kompleksu i transportiraju do endosoma, vakuola, ER, plazmine membrane;

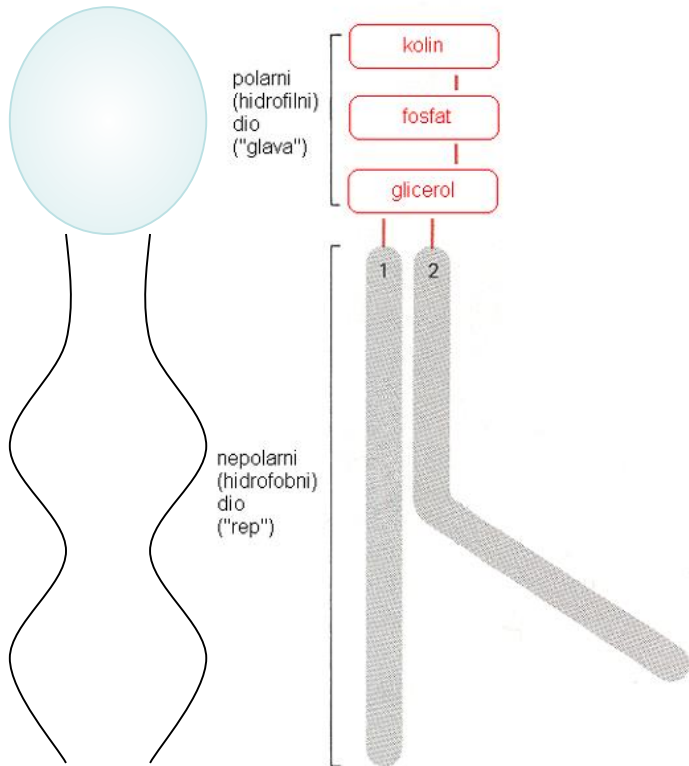
mitochondrijima (kvasci i sisavci)

· plazmina membrana nije odjeljak gdje se odvija autonomna sinteza strukturnih lipida, ovdje se odvijaju specifične reakcije (protein-lipid reakcije) kao dio signalnih kaskada

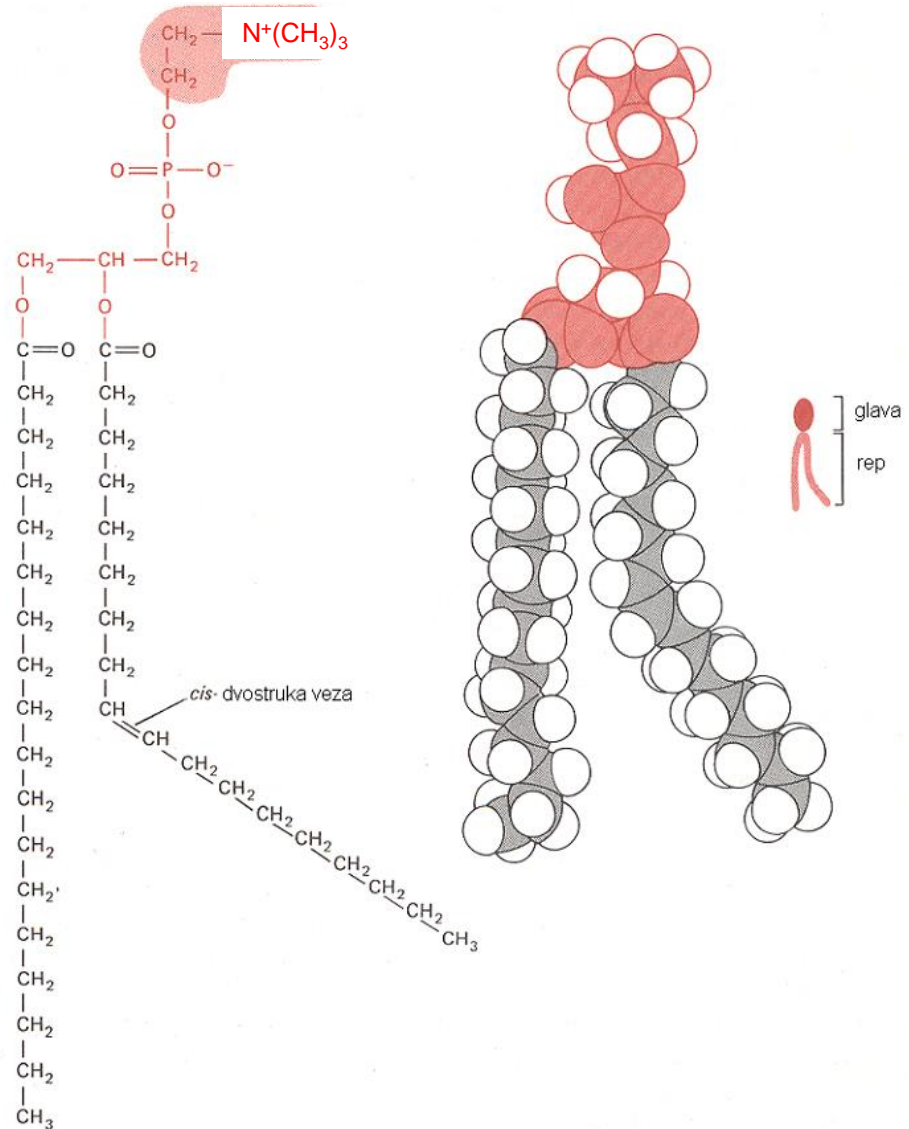
· sve organele sadrže lipide koji su transportirani od odjeljka gdje su sintetizirani

# biomembrane - lipidi (5)

## · struktura lipida membrane



1 i 2 - masne kiseline



## biomembrane - lipidi (6)

### · struktura lipida membrane

arheobakterije: eteri glicerola i dugolančanih alkohola izoprenske strukture (C<sub>20</sub>-C<sub>40</sub>)

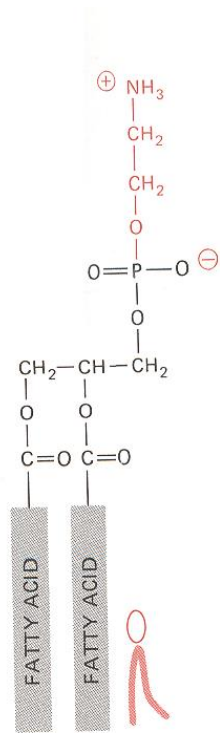
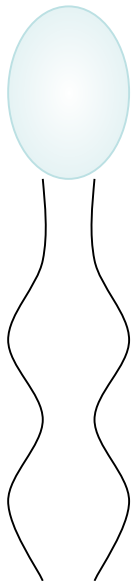
prave bakterije i eukarioti: esteri glicerola tzv. glicerofosfolipidi (derivati fosfatidne kiseline)

najčešći: fosfatidil-kolin (eukarioti)

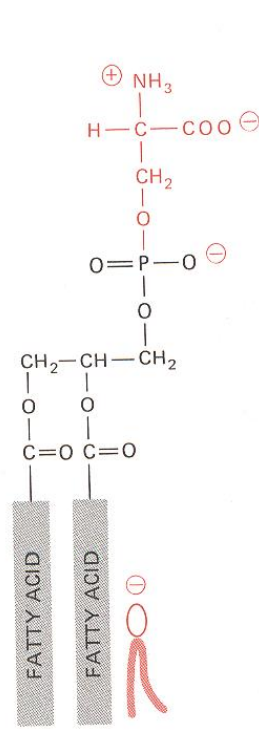
fosfatidil-etanolamin (eukarioti i eubakterije)

fosfatidil-serin (eukarioti i eubakterije)

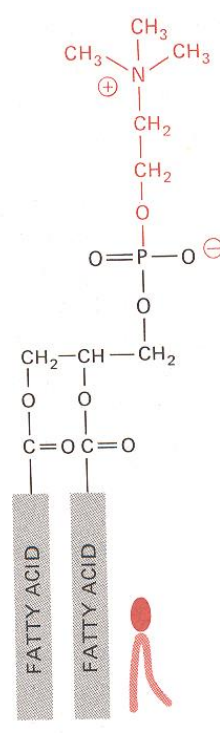
fosfatidil-inozitol (eukarioti)



fosfatidil-etanolamin



fosfatidil-serin



fosfatidil-kolin

## biomembrane - lipidi (7)

· struktura lipida membrane

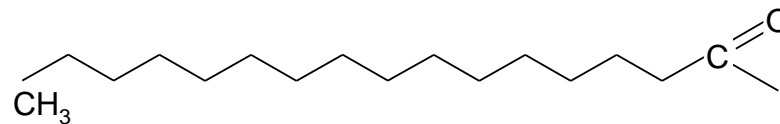
glicerofosfolipidi

fosfatidil-glicerol

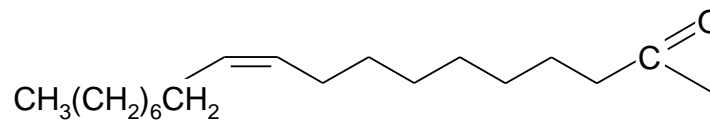
bisfosfatidil-glicerol

generička imena za cijelu grupu spojeva ovisno o tome koji su radikali (acili) masnih kiselina vezani za molekulu glicerola; u pravilu su to masne kiseline s parnim brojem ugljikovih atoma ( $C_{10}$ - $C_{20}$ ); po strukturi to mogu biti:

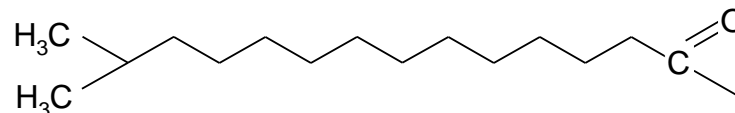
1. ravni zasićeni lanci: najčešće palmitinska ( $C_{16}$ ) i stearinska kiselina ( $C_{18}$ ;  $CH_3(CH_2)_{14}COO^-$ ).



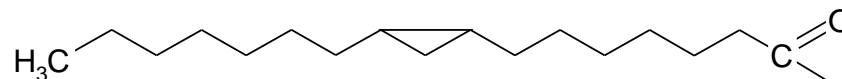
2. ravni nezasićeni lanci (*cis* dvostruka veza): oleinska kiselina ( $C_{18:1}$ ;  $CH_3(CH_2)_7CH=CH(CH_2)_7COO^-$ ).



3. razgranati lanci (prokarioti).

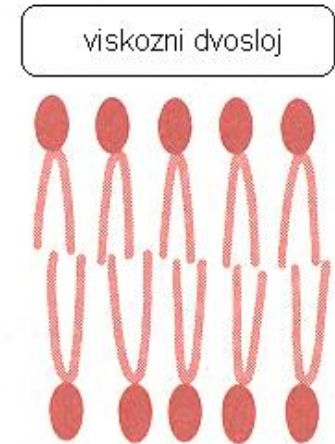
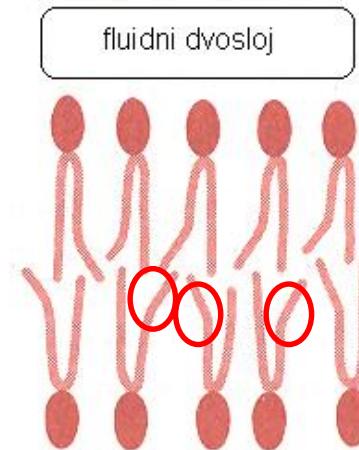
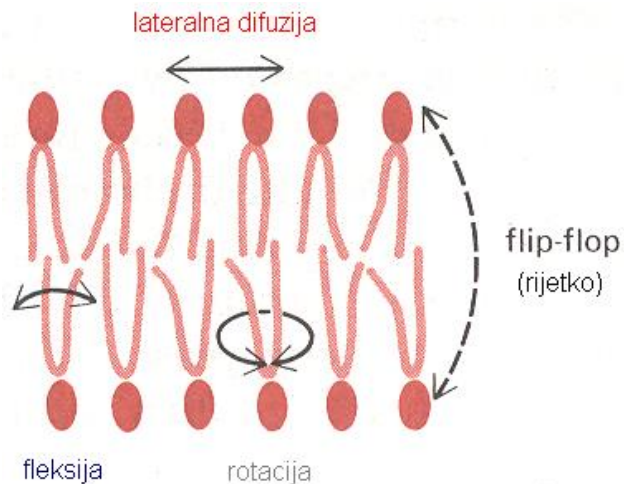


4. lanci sa ciklopropanom (prokarioti).



## biomembrane - lipidi (8)

- pored glicerofosfolipida u građi lipida membrane sudjeluju i  
glikolipidi (oligosaharidi vezani na glicerofosfolipid)  
steroli (kolesterol, zimosterol, ergosterol)
- steroli stabiliziraju membranu i povećavaju fluidnost membrane; regulacija fluidnosti membrane od bitne je važnosti za stanične funkcije, naročito za funkcije proteina membrane.
- fluidnost lipidnog dvosloja ovisi o strukturi lipida membrane



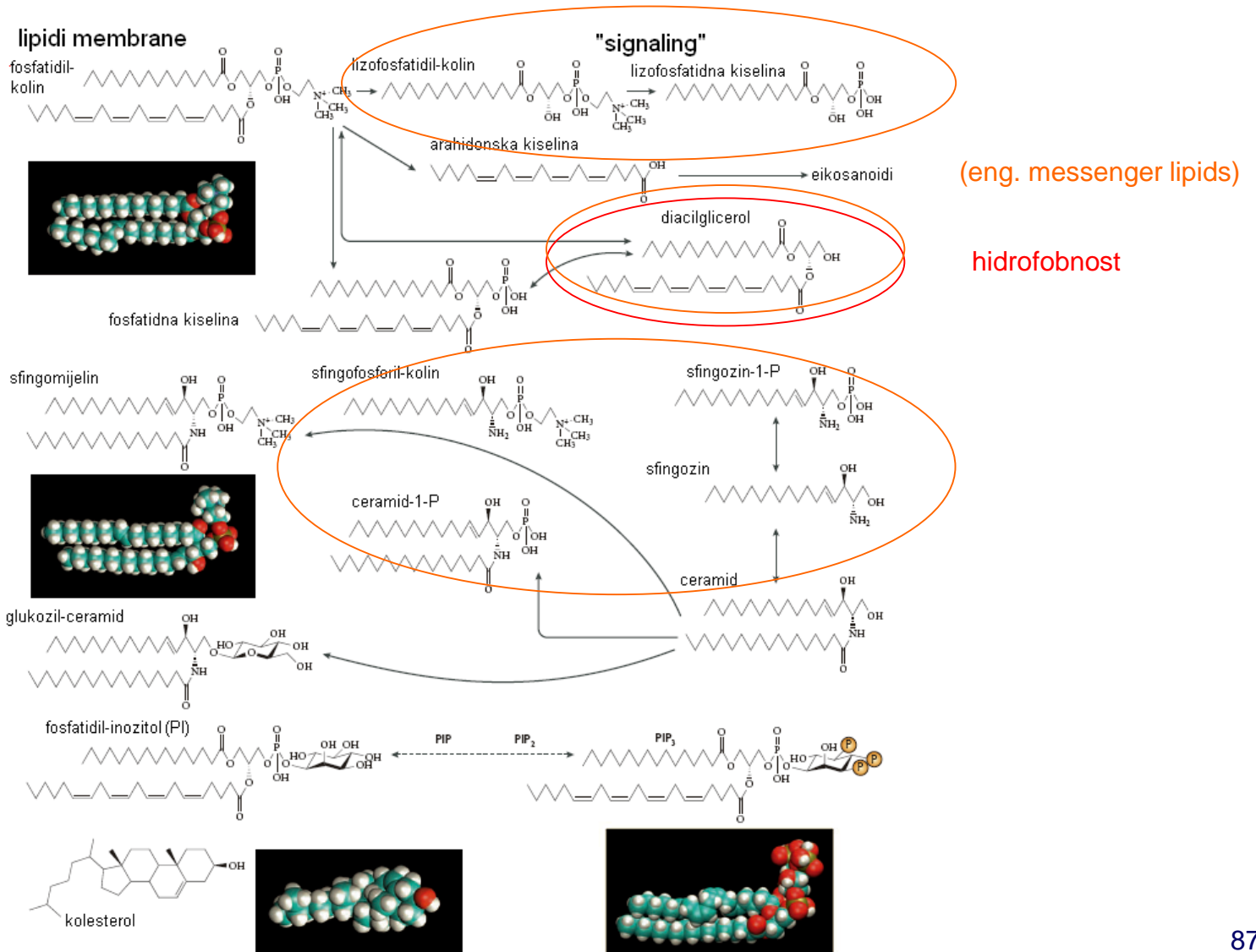
## biomembrane - lipidi (9)

---

· osnovne funkcije lipida u stanici:

- 😊 spremište energije i spojeva (m. kis. i steroli) za biogenezu membrana stanice
- 😊 polarni lipidi dio su matriksa staničnih membrana (entropijski povoljna reakcija asocijacije hidrofobnih dijelova lipida, kao i njihovih hidrofilnih dijelova koji reagiraju jedni s drugima i s molekulama vode, osnova je spontanog formiranja membrana/organela)
- 😊 osim barijere, lipidi omogućavaju pupanje, fuziju i druge promjene membrana koje su preduvjet za procese diobe stanice, reprodukcije i transporta
- 😊 lipidi sudjeluju u procesima prijenosa signala/informacija u membrani (hidrofobni dio) i citosolu (hidrofilni dio)

# biomembrane - lipidi: struktura i "signaling" (10)





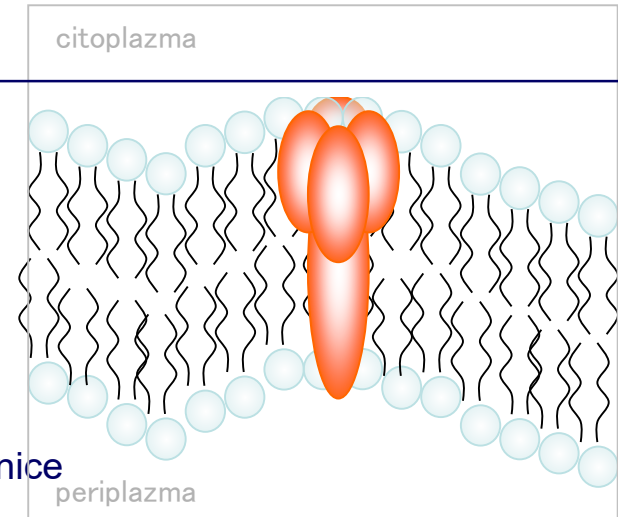
## biomembrane - lipidi (11)

### · osnovne funkcije lipidnog dvosloja:

☺ osmotska barijera

☺ smještaj proteina membrane koji obavljaju brojne funkcije membrane:

- transport određenih molekula u stanicu i iz stanice
- oksidoredukcijske reakcije (respir. lanac)
- fosforilacija ( $H^+$ -ATP-sintaze)
- fotofosforilacija
- biosinteza stanične stijenke
- primanje signala iz okoline stanice (proteini-receptori)
- povezivanje citoskeletona i vanjskog omotača (strukturni proteini)
- pretvorba energije potrebne organelima za proces pokretanja

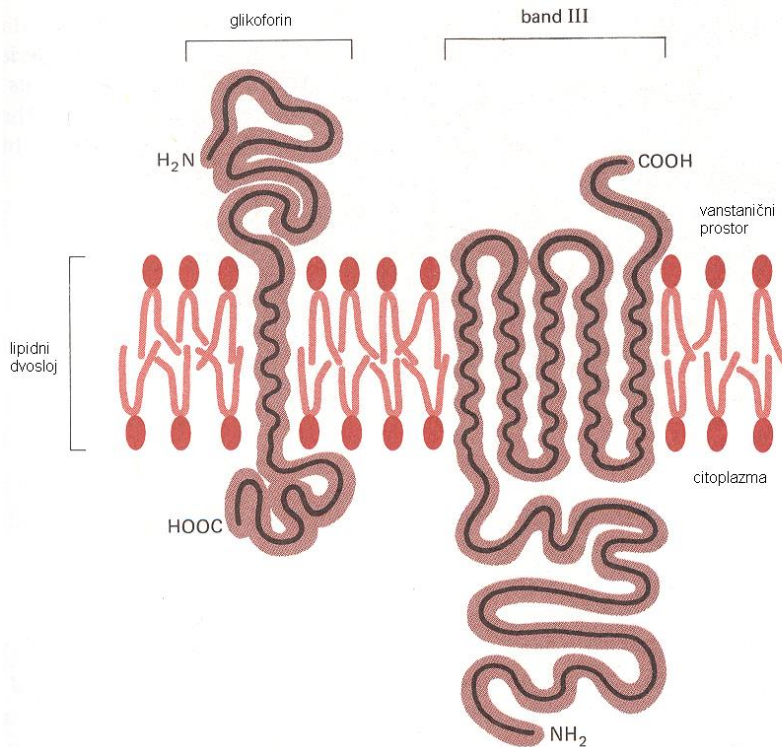


- prokarioti: sve pobrojane funkcije odvijaju se u plazminoj membrani; ako ova površina nije dostatna za potrebe stanice, onda se obično površina membrane povećava invaginacijom u obliku mješnica, cjevčica, membranskih slojeva i tilakoida
- eukarioti: stanice su znatno veće, pa je i omjer površine i volumena znatno manji; „manjak” membranske površine nadoknađuje se unutarstaničnim membranama koje formiraju odvojene odjeljke stanice - organele; kod životinjskih stanica plazmina membrana čini samo 2-5% ukupnih membrana stanice.

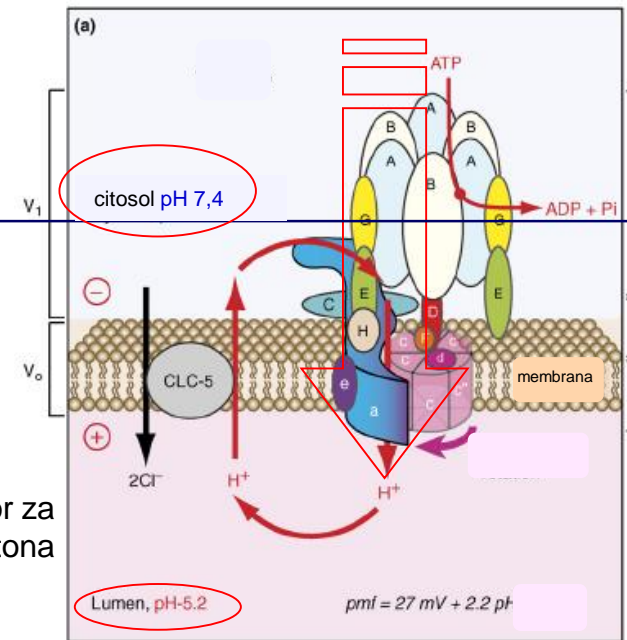


## biomembrane - proteini (12)

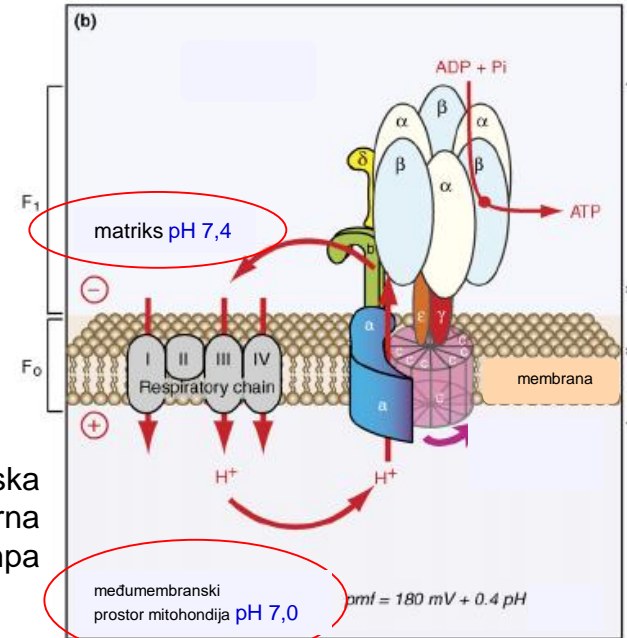
- većina proteina membrane ugrađena je u lipidni dvosloj hidrofobnim interakcijama sa lipidnim molekulama



nano-motor za pumpanje protona



mitohondrijska sekundarna pumpa



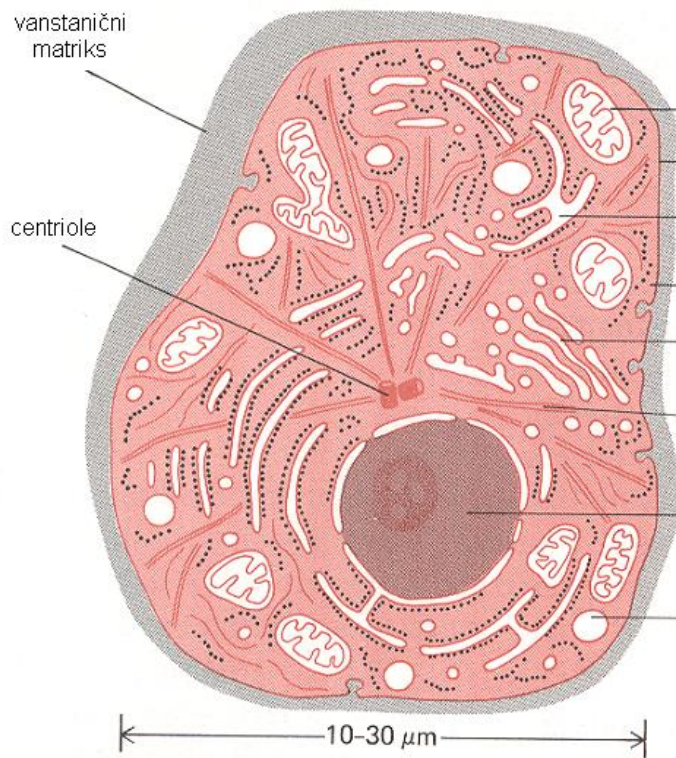
animacija: **ATP Synthase Mechanism**

[www.sumanasinc.com/webcontent/animations/microbiology.html](http://www.sumanasinc.com/webcontent/animations/microbiology.html)

## biomembrane - odjeljci stanice (13)

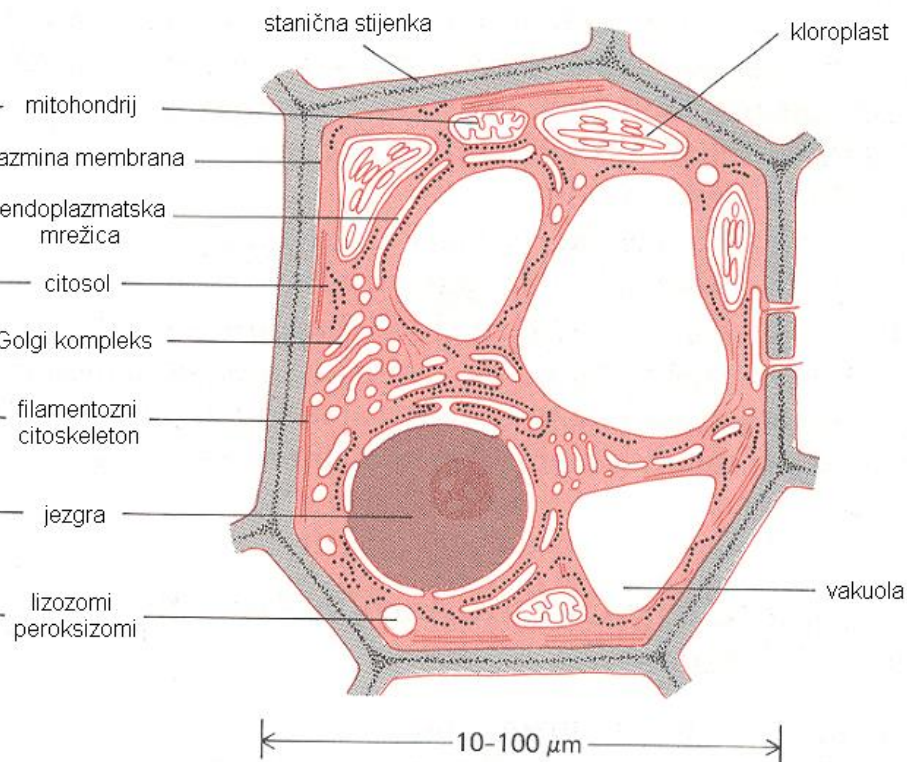
ŽIVOTINJSKA STANICA

pojednostavljeni prikaz presjeka životinjske stanice



BILJNA STANICA

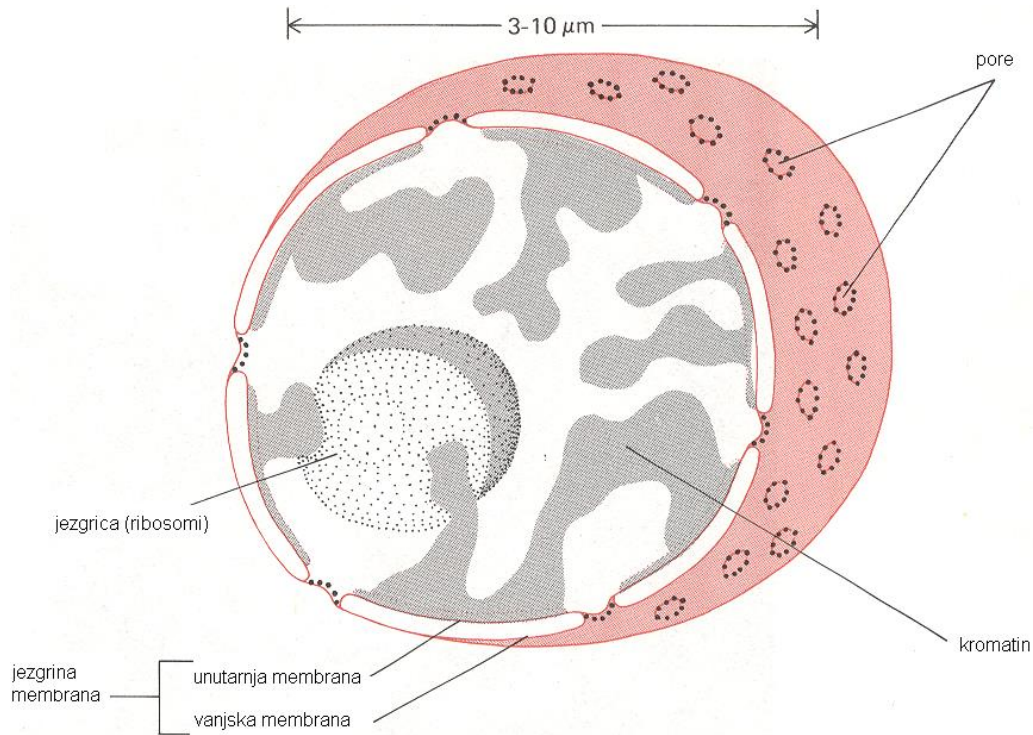
pojednostavljeni prikaz presjeka biljne stanice



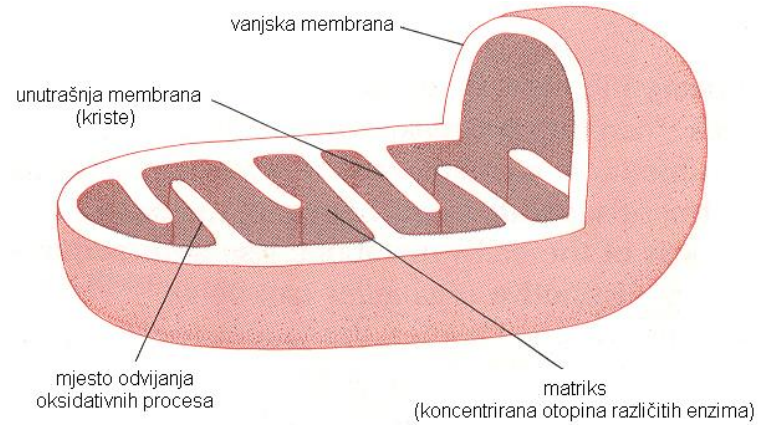


# biomembrane - organele (14)

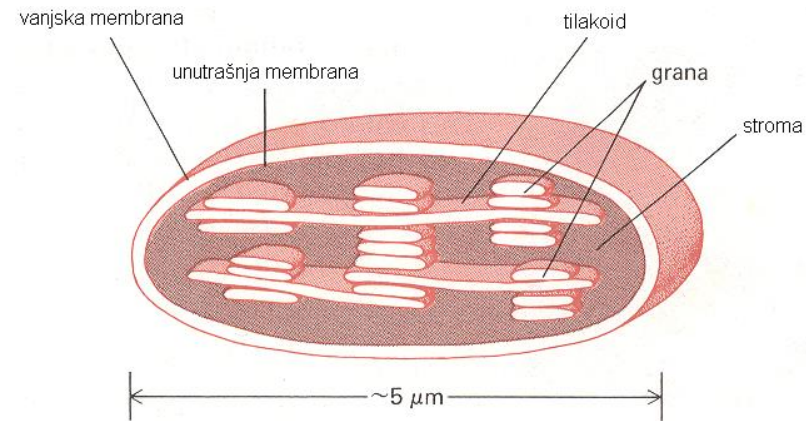
• organele s dvostrukom membranom  
jezgra



mitochondrij



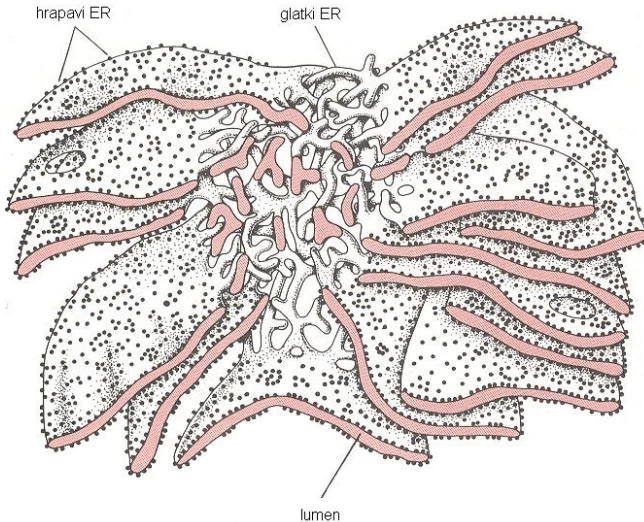
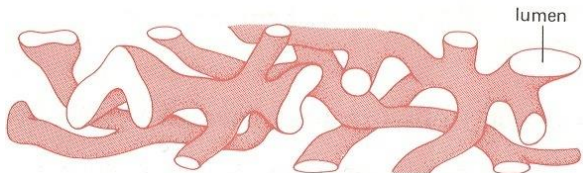
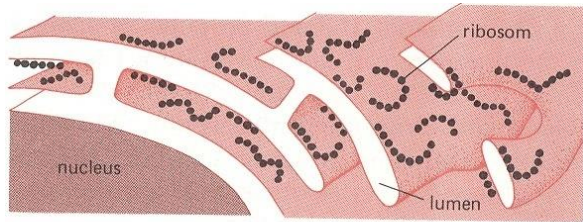
kloroplast



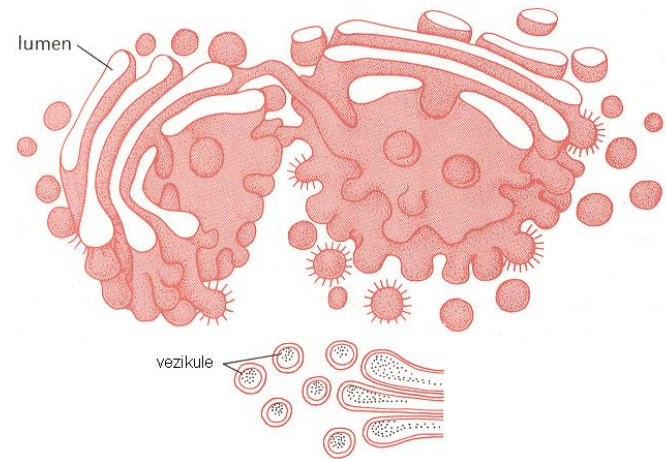


· organele s jednostrukom membranom

endoplazmatska mrežica (retikulum)



Golgijev kompleks (usmjeravanje proteina ka različitim odredištima)



lizozom



0.2-0.5  $\mu\text{m}$

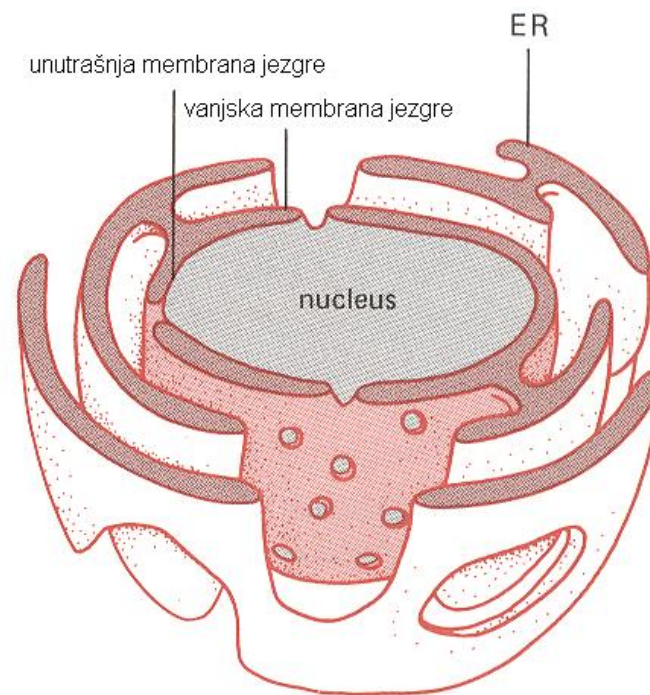
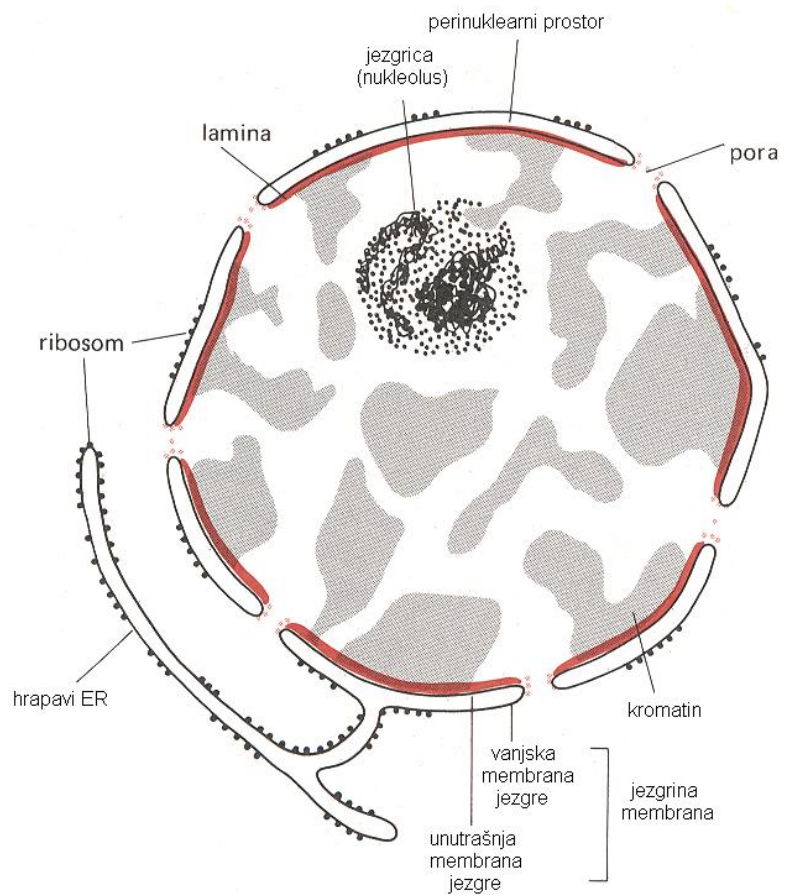
peroksizom



0.2-0.5  $\mu\text{m}$



## biomembrane - organele (16)



## biomembrane (17)

·povežimo prvo predavanje i biomembrane: proizvodnja aminokiselina s pomoću bakterija *C. glutamicum* i

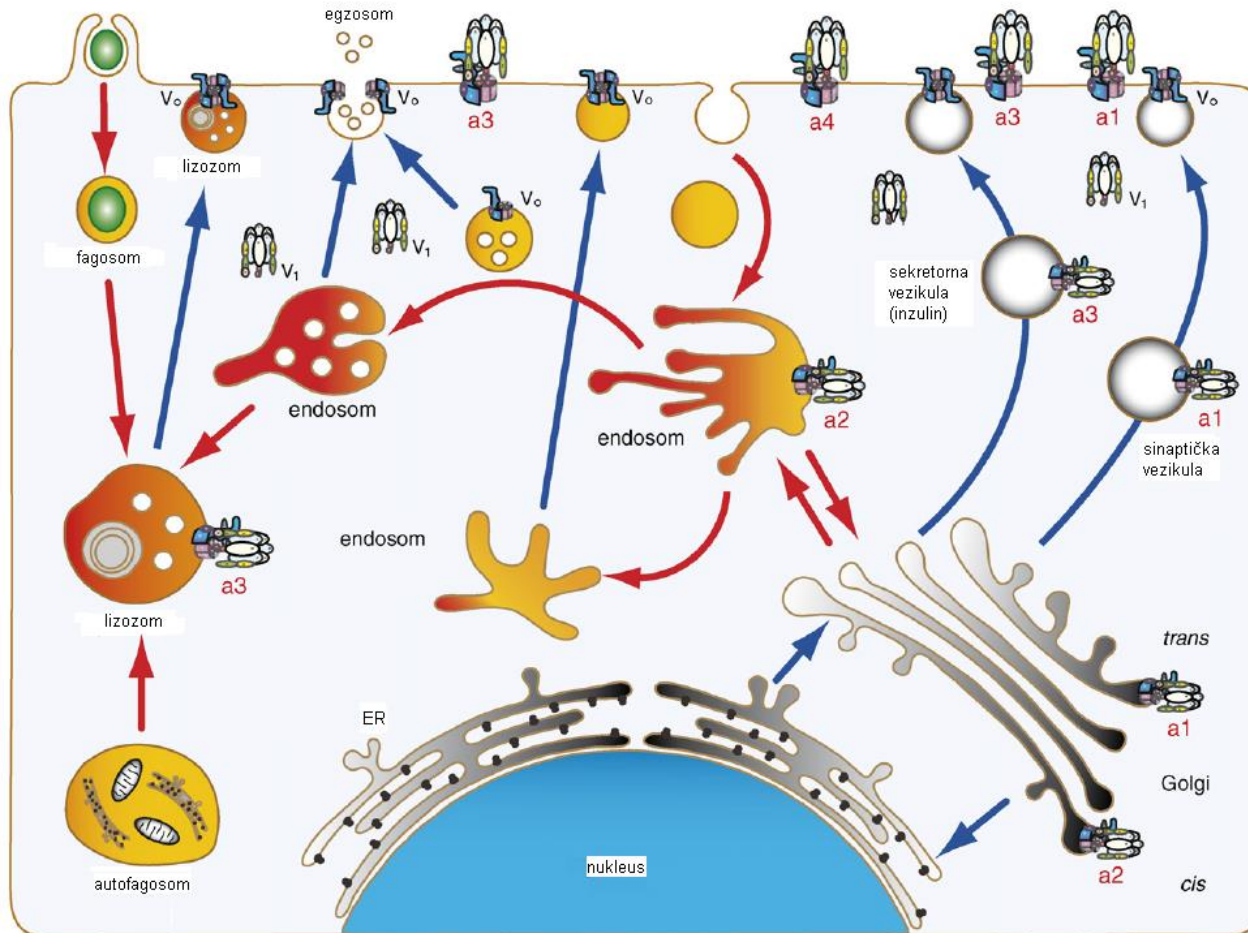
### *E. coli* - transport molekula i iona u stanicu i iz stanice

| Transporter                       | Gene(s)        | Substrate(s)                                 | Characteristics   | Reference(s)   |
|-----------------------------------|----------------|--|---|--|
| <i>Corynebacterium glutamicum</i> |                |  |   |  |
| AroP                              | <i>aroP</i>    | L-Trp, L-Tyr, L-Phe                          | Aromatic amino acids uptake system  | Wehrmann et al. 1995   |
| BmQ                               | <i>bmqQ</i>    | L-Ile  | Na <sup>+</sup> -coupled uptake system  | Tauch et al. 1998  |
| GluABCD                           | <i>gluABCD</i> | L-Glu  | Binding protein-dependent uptake system, expression glucose-repressed                                       | Kronmeyer et al. 1995  |
| Glutamate permease                | ?              | L-Glu  | Uptake active in complex medium   | Burkovski et al. 1996  |
| LysE                              | <i>lysE</i>    | L-Lys, L-Arg                                 | Exporter, expression regulated by LysG, coinducers L-citrulline and L-histidine                             | Vrljic et al. 1996;<br>Bellmann et al. 2001                        |
| LysI                              | <i>lysI</i>    | L-Lys, L-Ala, L-Val, L-Leu                   | Low capacity antiporter   | Seep-Feldhaus et al. 1991  |
| ThrE                              | <i>thrE</i>    | L-Thr, L-Ser                                 | Export carrier  | Simic et al. 2001  |
| <i>Escherichia coli</i>           |                |  |   |  |
| AroP                              | <i>aroP</i>    | L-Trp, L-Tyr, L-Phe                          | General uptake system for aromatic amino acids  | Brown 1970   |
| Aspartate/glutamate carrier       | ?              | L-Asp, L-Glu                                 | Binding protein-dependent uptake system, inhibited by cysteate  | Schellenberg and Furlong 1977                                      |
| GltP                              | <i>gltP</i>    | L-Asp, L-Glu                                 | Na <sup>+</sup> -independent uptake, inhibited by cysteate and β hydroxyaspartate                           | Deguchi et al. 1989;<br>Wallace et al. 1990;<br>Tolner et al. 1992 |
| GltS                              | <i>gltS</i>    | L-Glu  | Na <sup>+</sup> -dependent uptake, inhibited by α methylglutamate   | Deguchi et al. 1990;<br>Kalman et al. 1991                         |
| Glutamate excretion carrier       | ?              | L-Glu  | Stringent response-related export   | Broda 1968;<br>Burkovski et al. 1995                               |
| LIV1                              | <i>livGHJM</i> | L-Leu, L-Ile, L-Val, L-Ala, L-Thr, L-Hom     | Binding-protein-dependent uptake system, expression repressed by LRP  | Templeton and Savageau 1974  |
| Orf299                            | <i>ydeD</i>    | L-Cys and components of the cysteine pathway | Major facilitator protein involved in efflux  | Daßler et al. 2000   |
| PheP                              | <i>pheP</i>    | L-Phe  | High-affinity uptake system specific for phenylalanine  | Pi et al. 1999   |
| RhtA                              | <i>rhtA</i>    |  | Confer resistance to high concentrations of homoserine and threonine, putative threonine excretion carriers | Zakataeva et al. 1997  |
| RhtB                              | <i>rhtB</i>    |  |   | Aleshin et al. 1999;<br>Zakataeva et al. 1999                      |
| RhtC                              | <i>rhtC</i>    |  |   |  |
| SstT                              | <i>sstT</i>    | L-Ser, L-Thr                                 | Na <sup>+</sup> -coupled serine/threonine importer  | Ogawa et al. 1998  |
| TdcC                              | <i>tdcC</i>    | L-Leu, L-Ser, L-Thr, L-Hom                   | Importer active under anaerobic conditions  | Sumantran et al. 1990  |
| Threonine permease                | ?              | L-Thr, L-Ser                                 | Na <sup>+</sup> -independent uptake system  | Kruse et al. 2001  |

biomembrane (18)

animacija: **Vesicle Budding and Fusing**  
[www.sumanasinc.com/webcontent/animations/biology.html](http://www.sumanasinc.com/webcontent/animations/biology.html)  
**Protein Secretion**  
[www.sumanasinc.com/webcontent/animations/molecularbiology.html](http://www.sumanasinc.com/webcontent/animations/molecularbiology.html)

· transport vezikulama kod eukariota



a1, a2, a3, a4-izoforme ATPaze

## literatura

---

1. A. Burkovski, R. Krämer (2002) Bacterial amino acid transport proteins: occurrence, functions, and significance for biotechnological applications, *Applied Microbiology and Biotechnology* **58**, 265-274.
2. G. Griffiths (2007) Cell evolution and the problem of membrane topology, *Nature Reviews* **8**, 1018-1024.
3. Grupa autora: *Molecular biology of the cell*, B. Alberts, D. Bray, J. Lewis, M. Raff, K. Roberts, J.D. Watson (eds.), Garland Publishing, Inc., New York (1983).
4. Grupa autora: *Biology of the procaryotes*, J.W. Lengeler, G. Drews, H.G. Schlegel (eds.) Georg Thieme Verlag, Stuttgart, Germany (1999).
5. Grupa autora: *Applied Microbial Physiology*, P.M. Rhodes, P.F. Stanbury (eds.), IRL Press at Oxford University Press, Oxford, UK (1997).
6. V. Marshansky, M. Futai (2008) The V-type H<sup>+</sup>-ATPase in vesicular trafficking: targeting, regulation and function, *Current Opinion in Cell Biology* **20**, 415-426.
7. S. Martens, H.T. McMahon (2008) Mechanisms of membrane fusion: disparate players and common principles, *Nature Reviews* **9**, 543-556.
8. A.G. Moat, J.W. Foster: *Microbial physiology*, 3rd edition, A.G. Moat, J.W. Foster (eds.), Wiley-Liss, New York, USA (1995).
9. G. van Meer, D.R. Voelker, G.W. Feigenson (2008) Membrane lipids: where they are and how they behave, *Nature Reviews* **9**, 112-124
10. C. Wolf, P.J.Quinn (2008) Lipidomics: practical aspects and applications, *Progress in Lipid Research* **47**,15-36.



# BIOMEMBRANE I BIOENERGETIKA

## bioenergetika (1)

---

- bioenergetika proučava molekulske mehanizme pretvorbe energije u živim stanicama
- sa gledišta termodinamike
  - živa stanica je NEIZOLIRANI, OTVORENI SUSTAV što znači da može obavljati izmjenu tvari i energije s okolinom;
  - živa stanica je vrlo uređena struktura (niske entropije) koja ima sposobnost samoreprodukcije pretvorbom jednostavnih kemijskih spojeva iz okoline;
  - (živa stanica naizgled prkosi II zakonu termodinamike; međutim,...)

ŽIVA JE STANICA KEMIJSKI SUSTAV KOJI DJELUJE U UVJETIMA KONSTANTNOG TLAKA, VOLUMENA I TEMPERATURE I PROVODI PRETVORBU ENERGIJE IZ JEDNOG OBLIKA U DRUGI, U SKLADU SA ZAKONIMA TERMODINAMIKE.

- STANICA NE MOŽE PROIZVODITI ENERGIJU IZ NIČEGA (I zakon termodinamike), NITI MOŽE TERMALNU ENERGIJU PRETVARATI U DRUGE OBLIKE SLOBODNE ENERGIJE (II zakon termodinamike)
- POVEĆANJE REDA (SMANJENJE ENTROPIJE) U STANICI POSLJEDICA JE POVEĆANJA NEREDA (ENTROPIJE) U OKOLINI STANICE

## bioenergetika (3)

---

· živa stanica koristi ove izvore energije:

### 1. KEMIJSKA ENERGIJA (sva živa bića)

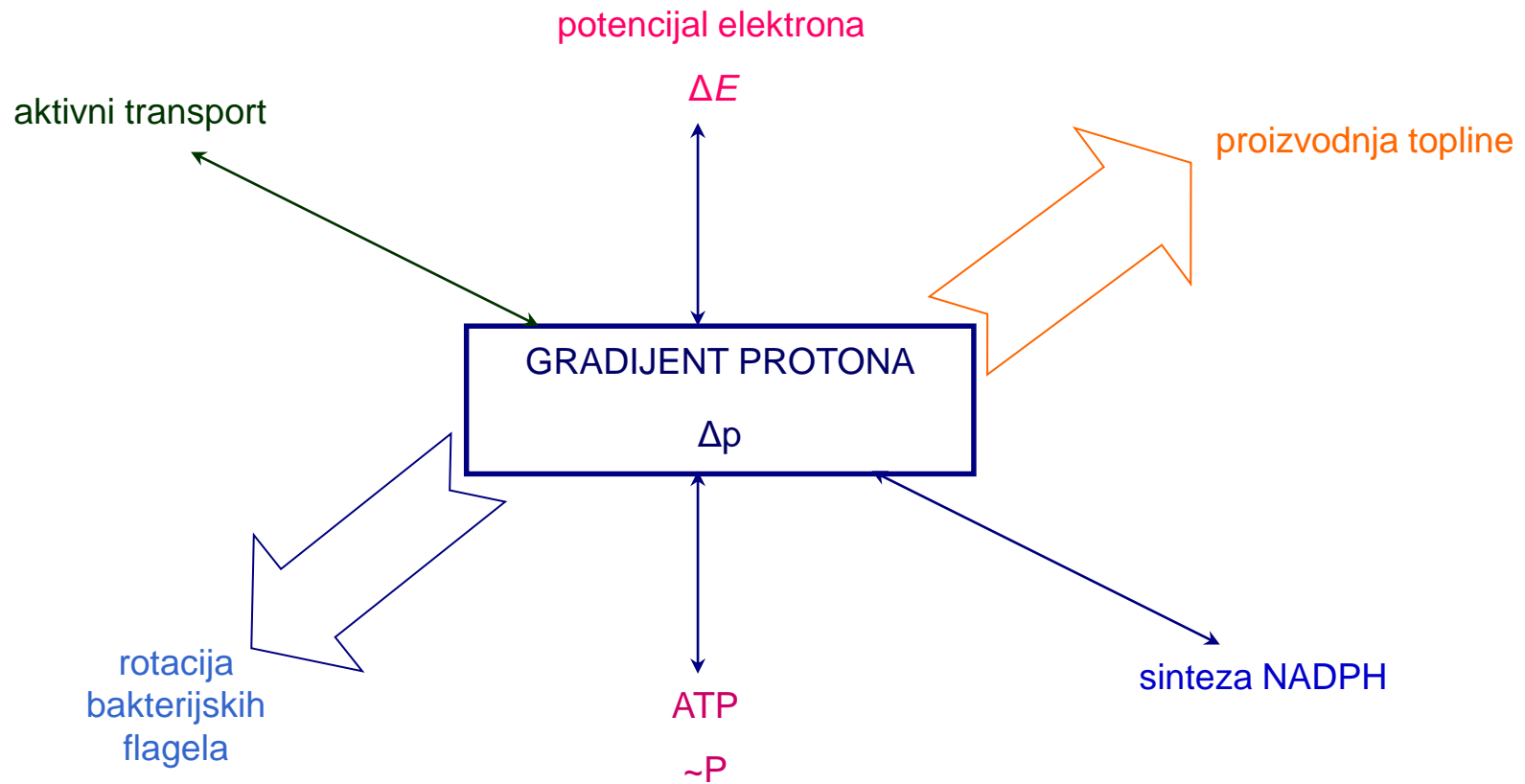
1.1. reducirani spojevi (SUPSTRATI: metan, alkani, alkoholi, organske kiseline, ugljikohidrati,  $H_2$ ,  $H_2S$ ,  $NH_3$ , itd.; KOENZIMI:  $NAD(P)H + H^+$ ,  $FAD(H_2)$ ,  $FMN(H_2)$ )

1.2. spojevi sa velikom energijom hidrolize (SUPSTRATI: 1,3-BPG, PEP, PP, acetil-CoA, acetil-fosfat; KOENZIMI: ATP, ADP, GTP i drugi trifosfonukleotidi)

1.3. gradijent protona ( $\Delta p$ )

### 2. ENERGIJA SVJETLOSTI ( $h\nu$ )

bioenergetika: transmembranski gradijent protona pokreće niz energetskih procesa u stanici (4)



## bioenergetika: metabolizam stanice (5)

---

- kemijske reakcije koje u ukupnosti čine metabolizam stanice dijele se na kataboličke i anaboličke

| KATABOLIZAM                      | ANABOLIZAM                      |
|----------------------------------|---------------------------------|
| razgradnja                       | sinteza                         |
| dobivanje energije               | trošenje energije               |
| dobivanje ATP                    | trošenje ATP                    |
| dobivanje ekvivalenata redukcije | trošenje ekvivalenata redukcije |
| povećanje entropije              | smanjenje entropije             |
| energetski metabolizam           | biosinteza staničnog materijala |

---

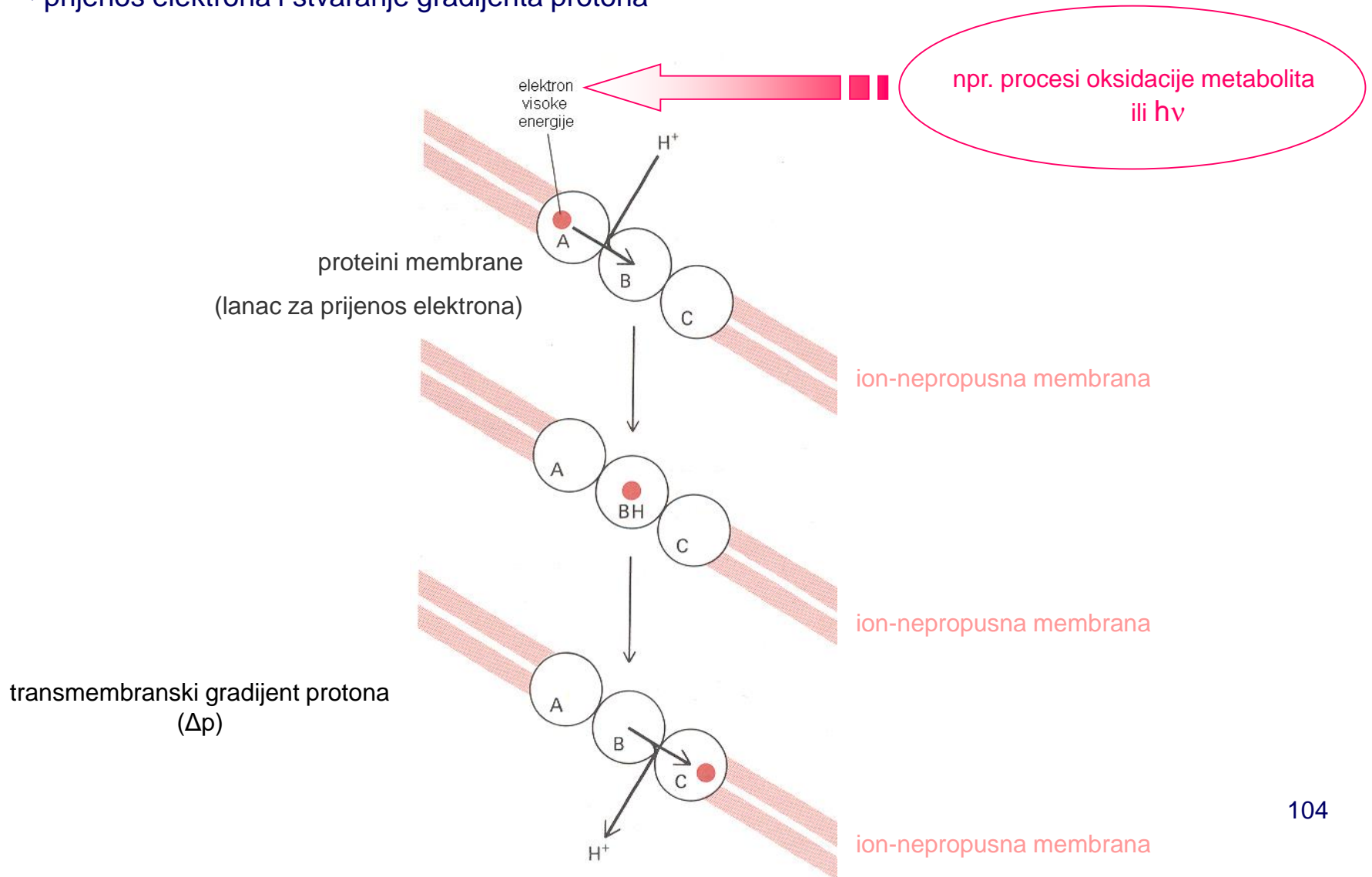
## bioenergetika: dobivanje ATP (6)

---

- dobivanje ATP u kataboličkim reakcijama odvija se na tri načina:
  1. fosforilacija u lancu supstrata (citoplazma, glikoliza)
  2. oksidativna fosforilacija (biomembrane)
  3. fotofosforilacija (biomembrane)
  
- oksidativna fosforilacija (stanično disanje ili respiracija)
  - prokarioti: plazmina membrana
  - eukarioti: unutrašnja membrana mitohondrija
  
- povezivanje oksidativne fosforilacije i reakcije ATP-sintaze: oksido-redukcijske reakcije u membrani dovode do stvaranja transmembranskog protonskog gradijenta; tok protona niz gradijent koncentracije kroz protonski kanalić (podjedinica  $F_0$  ATP-sintaze) dovodi do sinteze ATP iz ADP i fosfata na podjedinici  $F_1$  ATP-sintaze

# prijenos elektrona - kemiosmotski mehanizam

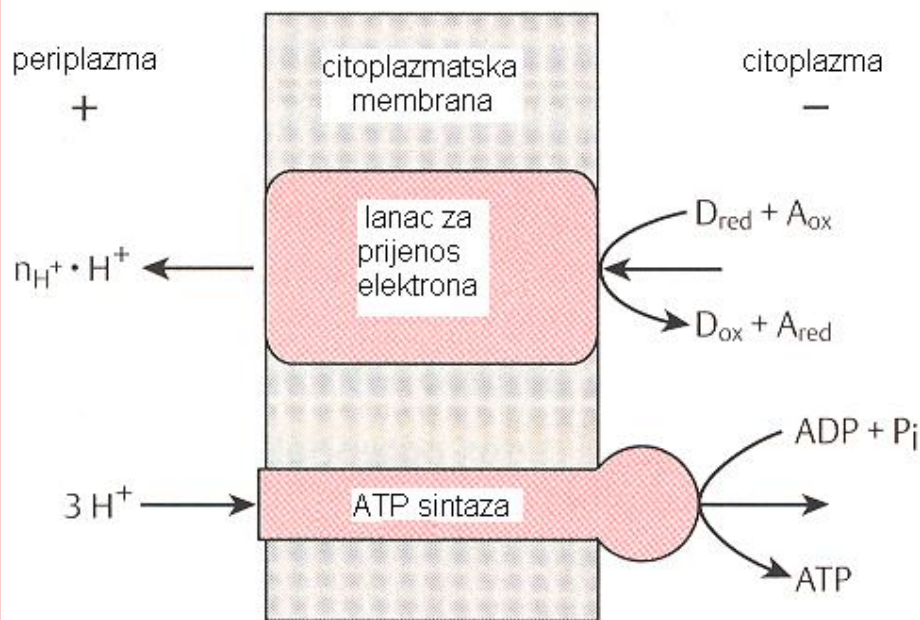
- prijenos elektrona i stvaranje gradijenta protona





prijenos elektrona i fosforilacija ADP (eng. electron-transport-coupled phosphorylation, ETP)

Ilanac za prijenos elektrona i ATP-sintaza u citoplazmatskoj membrani bakterija



$D_{red}$  donor (npr. sukcinat)  
 $A_{ox}$  akceptor (npr.  $O_2$ )

cilj: pridobivanje ATP

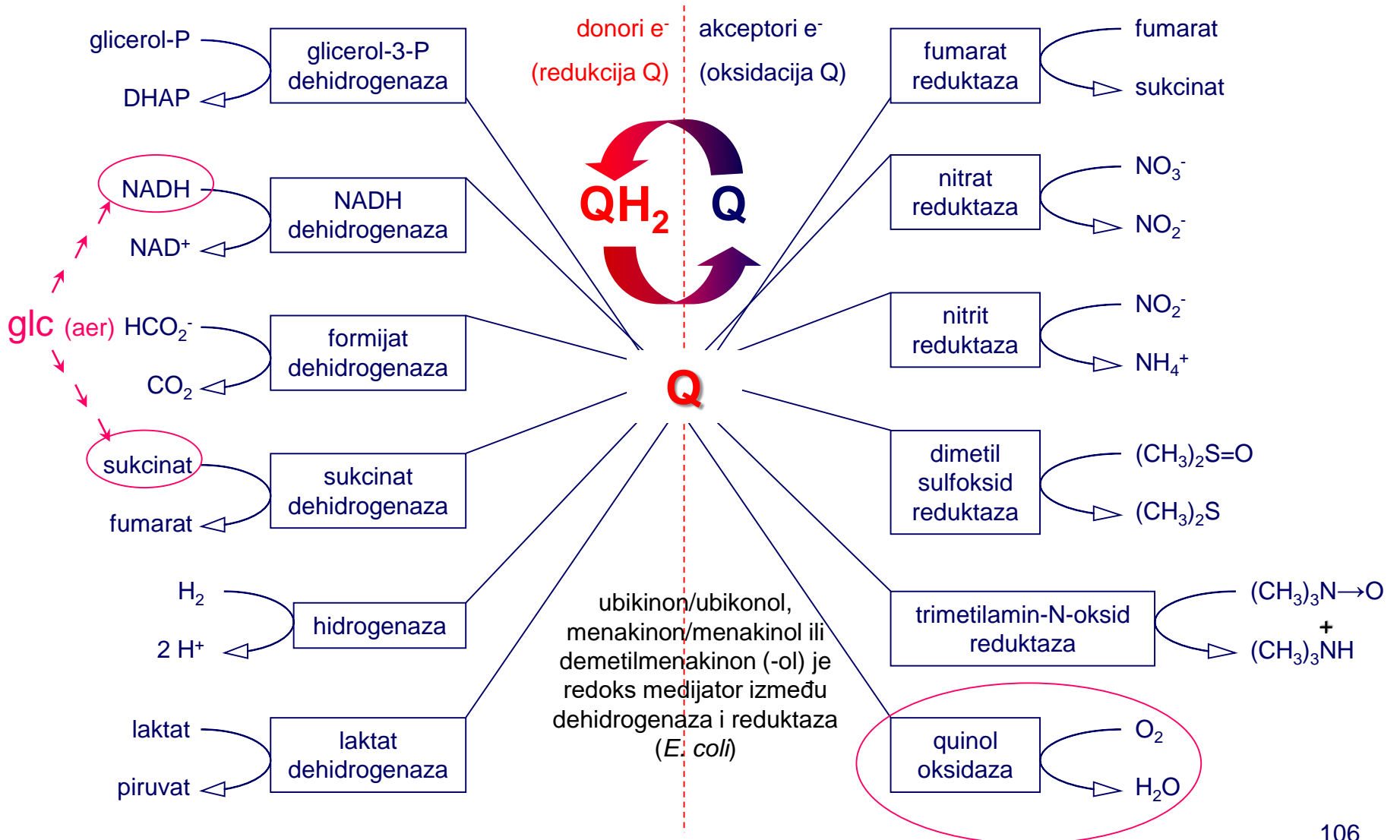
standardni redoks potencijal ( $E'_0$ ) različitih donora i akceptora elektrona pri pH 7

| redoks parovi                     | $E'_0$ (V) |
|-----------------------------------|------------|
| $HCO_3^- / HCO_2^-$               | -0.41      |
| $H^+ / H_2$                       | -0.42      |
| $HCO_3^- / acetate$               | -0.35      |
| $HCO_3^- / CH_4$                  | -0.33      |
| NAD/NADH                          | -0.32      |
| $S^0 / HS^-$                      | -0.27      |
| Acetaldehid / etanol              | -0.20      |
| Piruvat / laktat                  | -0.19      |
| DHAP / glicerol-P                 | -0.19      |
| Oksaloacetat / malat              | -0.17      |
| $HSO_3^- / HS^-$                  | -0.12      |
| $SeO_4^{2-} / SeO_3^{2-}$         | +0.02      |
| Fumarat / sukcinat                | +0.03      |
| $NO_2^- / NH_4^+$                 | +0.06      |
| Trimetilamin oksid / trimetilamin | +0.13      |
| Dimetilsulfoksid / dimetilsulfid  | +0.16      |
| $NO_2^- / NH_4^+$                 | +0.34      |
| $NO_2^- / NO$                     | +0.35      |
| $NO_3^- / NO_2^-$                 | +0.43      |
| $Fe^{3+} / Fe^{2+}$               | +0.77      |
| $O_2 / H_2O$                      | +0.82      |
| $NO / N_2O$                       | +1.18      |
| $N_2O / N_2$                      | +1.36      |

oxphos

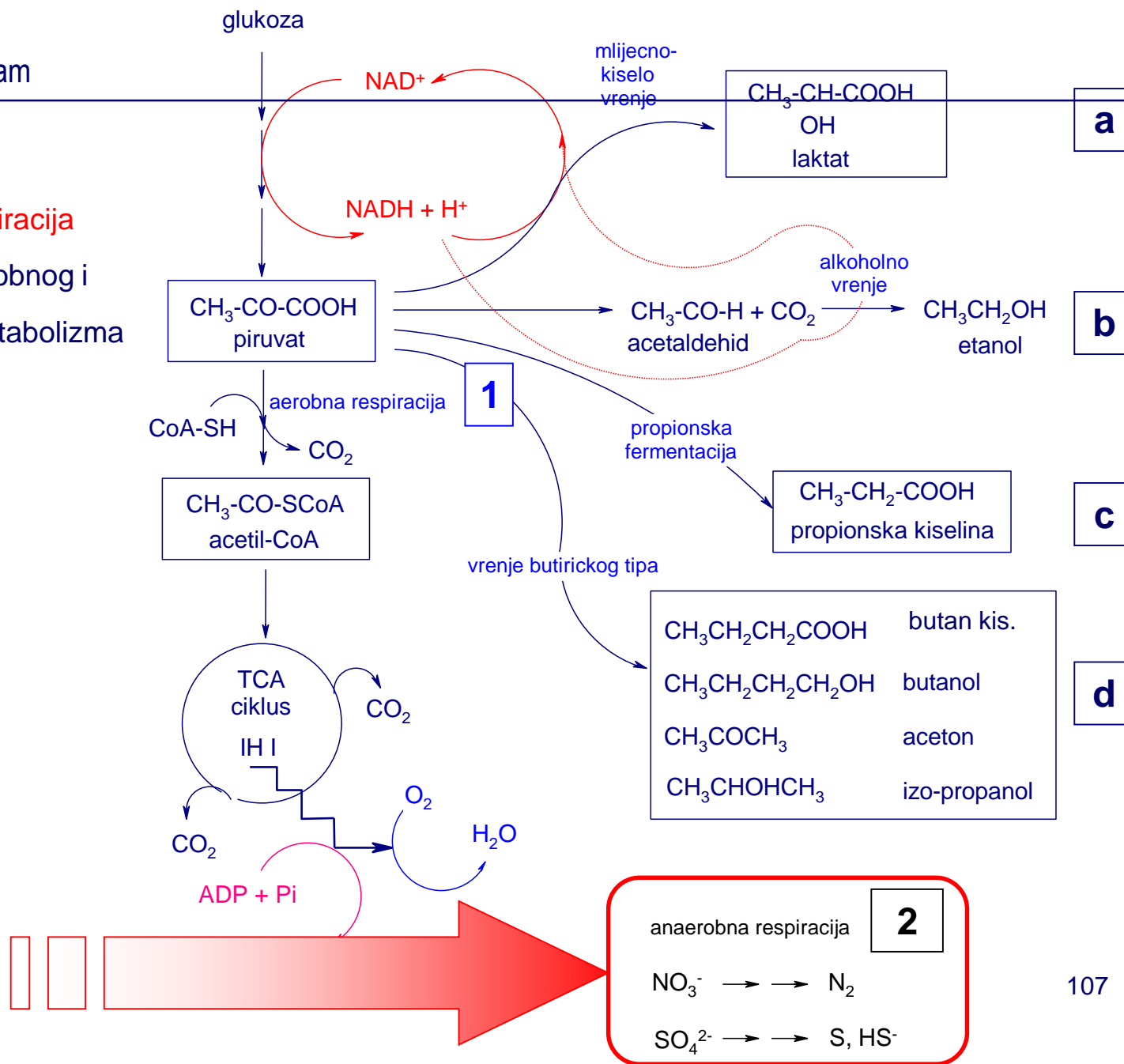


aerobna i anaerobna respiracija (disanje) kod *E. coli*



stanični metabolizam

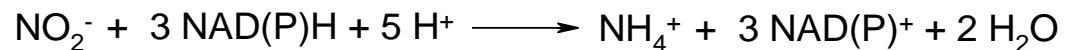
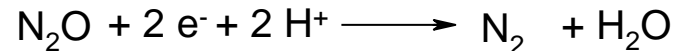
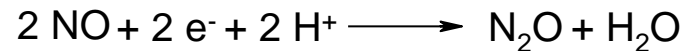
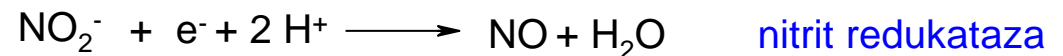
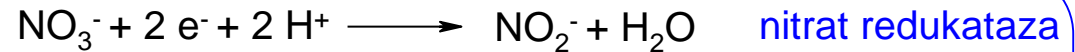
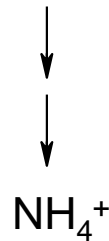
- anaerobna respiracija
- razdvajanje aerobnog i anaerobnog metabolizma ugljikohidrata



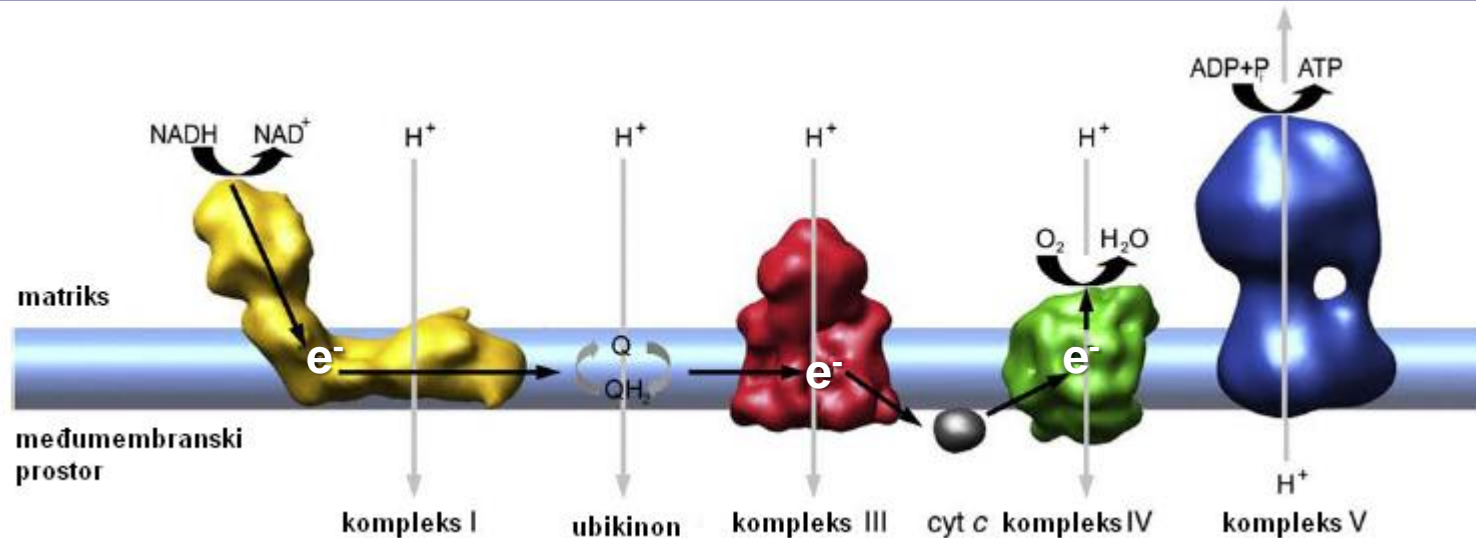
· anaerobna respiracija

U anaerobnim respiracijama oksidirani su organski spojevi ili vodik, a primaoci elektrona ( $\text{NO}_3^-$ ,  $\text{NO}_2^-$ , ioni željeza, dimetilsulfoksid, ugljični dioksid, sulfat ili organski spojevi klora) su reducirani.

DENITRIFIKACIJA (uzastopna redukcija počevši od nitrata) i AMONIFIKACIJA



## RL – eukarioti (unutrašnja membrana mitohondrija)



animacija: **Electron Transport Chain**  
[www.sumanasinc.com/webcontent/animations/biology.html](http://www.sumanasinc.com/webcontent/animations/biology.html)  
→ Cellular Respiration → Electron Transport

- kompleks I** (protonska pumpa) NADH ubikinon oksidoreduktaza (L-oblik kod svih organizama)
- kompleks II** sukcinat dehidrogenaza (sukcinat → kompleks II → ubikinon)
- kompleks III** (protonska pumpa) ubikinol cytochrom c oksidoreduktaza (citokrom  $bc_1$  kompleks)
- kompleks IV** (protonska pumpa) cytochrom c oksidaza
- kompleks V**  $F_1F_0$ -ATP sintaza ( $F_0$  – pumpanje protona,  $F_1$  – katalitička domena, sinteza ATP)

### ATP

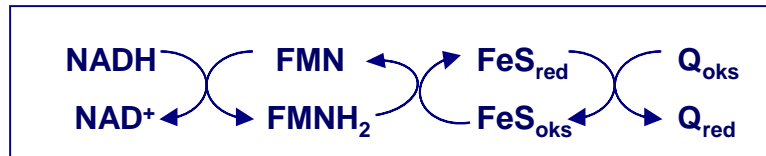
### energetska moneta u stanici

animacija: **ATP Synthase Mechanism**  
[www.sumanasinc.com/webcontent/animations/microbiology.html](http://www.sumanasinc.com/webcontent/animations/microbiology.html)

## RL – protonske pumpe

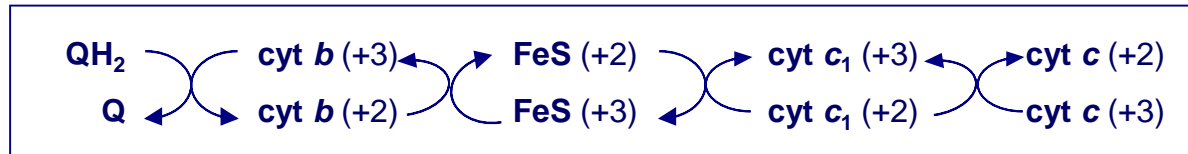
### kompleks I

(protonska pumpa) NADH ubikinon oksidoreduktaza



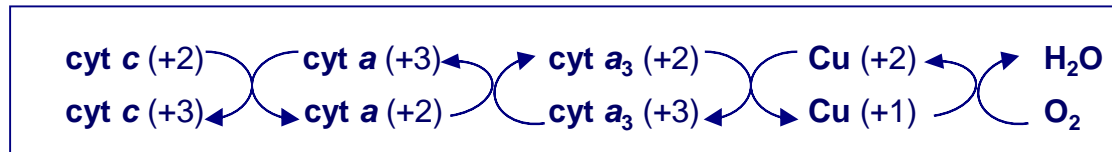
### kompleks III

(protonska pumpa) ubikinol citokrom c oksidoreduktaza (citokrom *bc*<sub>1</sub> kompleks)

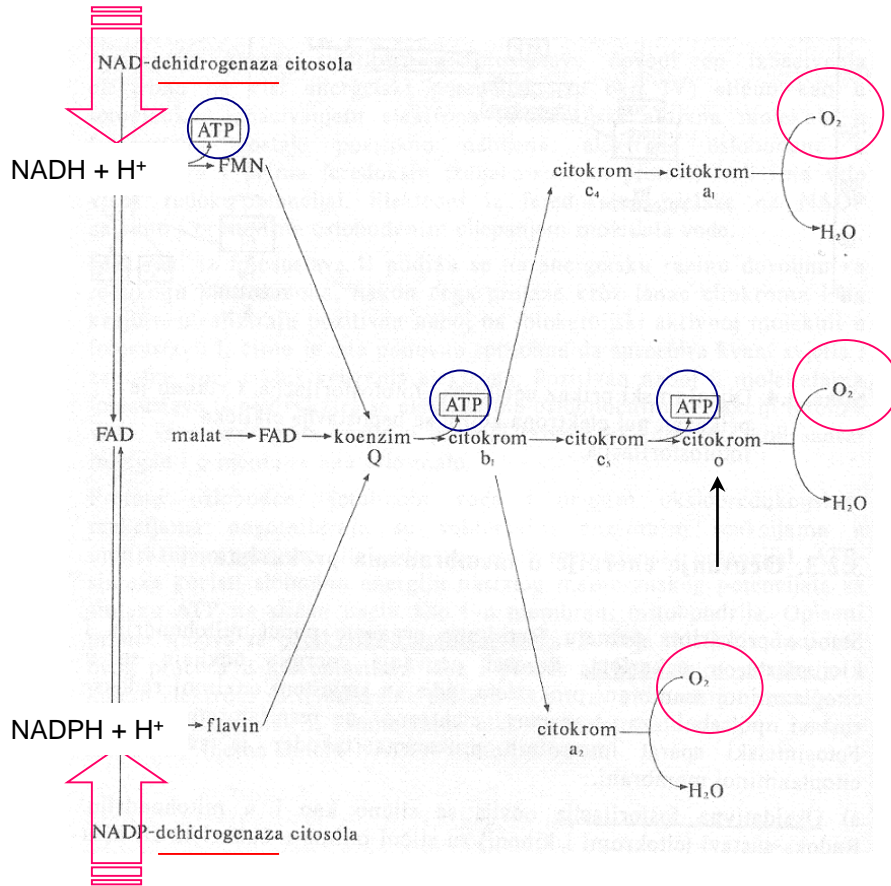


### kompleks IV

(protonska pumpa) citokrom c oksidaza



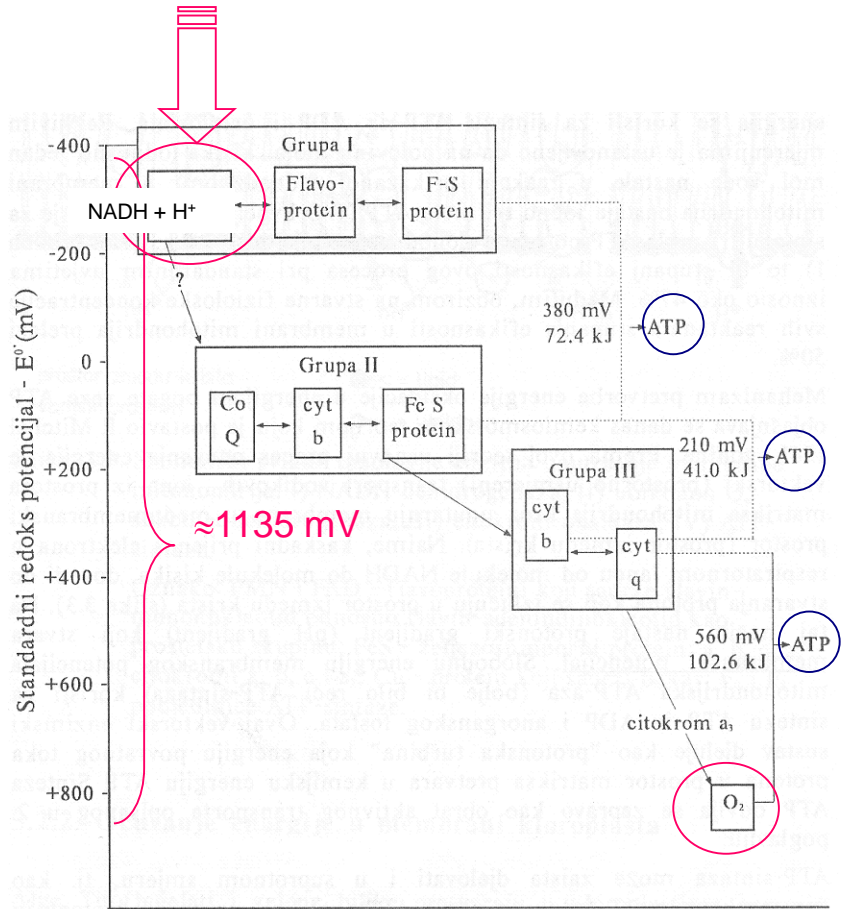
# lanci za prijenos elektrona kod prokariota (*Azotobacter vielandii*) i eukariota



“ulaz” e<sup>-</sup> u RL

· razgranati lanci za transport elektrona

## ciklus limunske kiseline (mitohondrij)



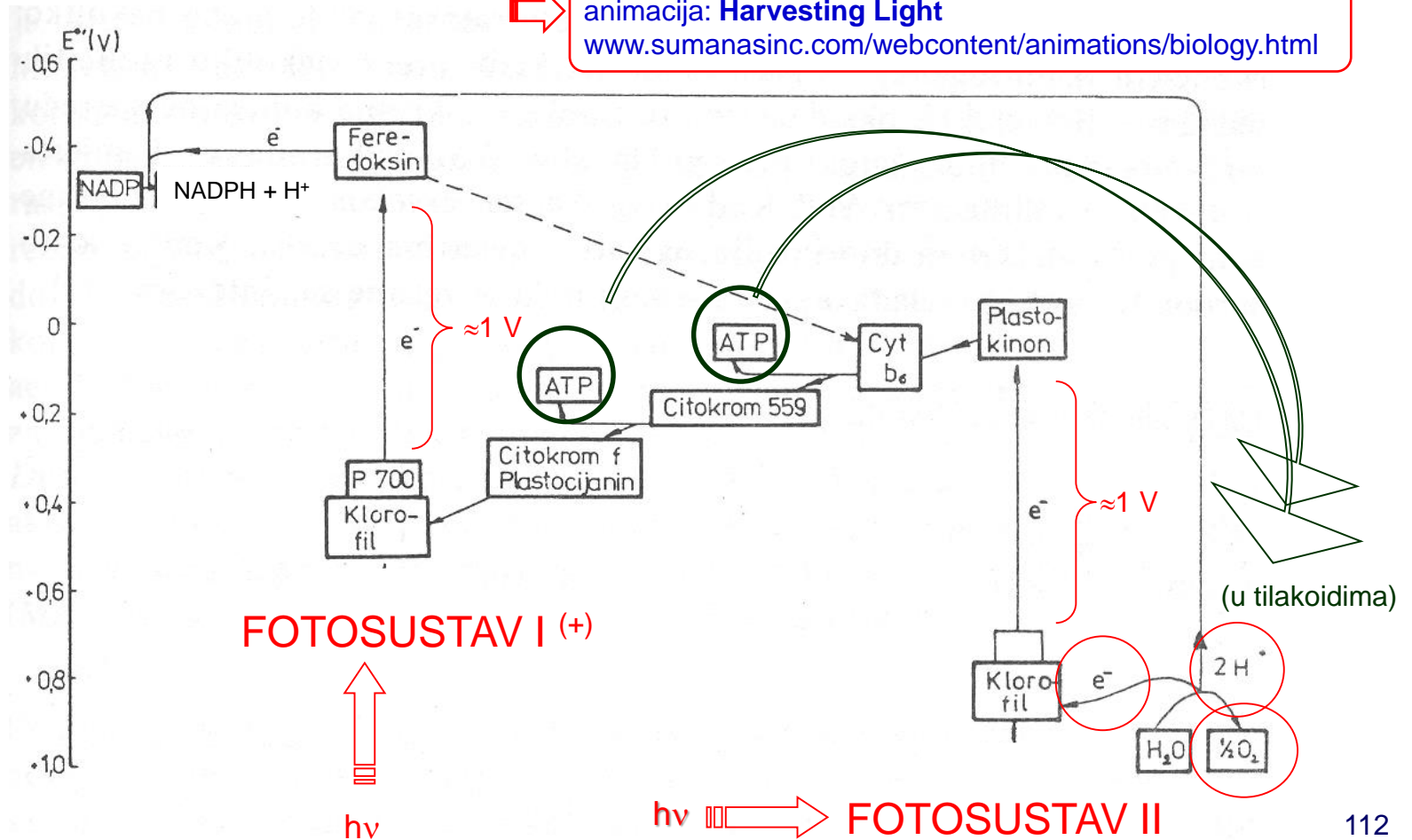


# neciklička oksidativna fosforilacija

- alge, fitoflagelati, zelene biljke
- fotosinteza (fotoliza vode)



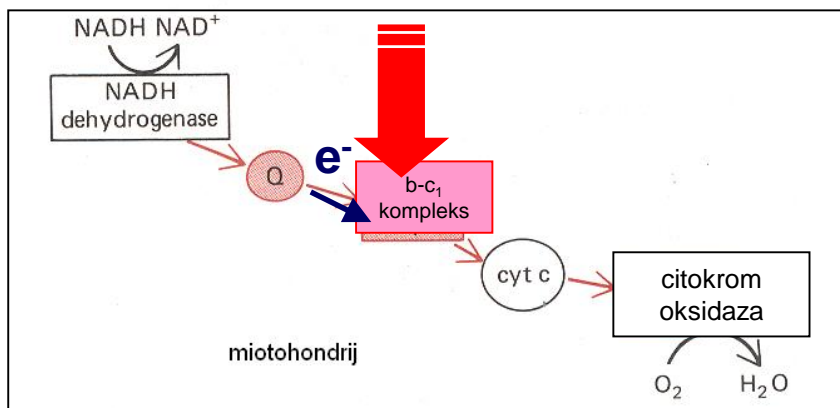
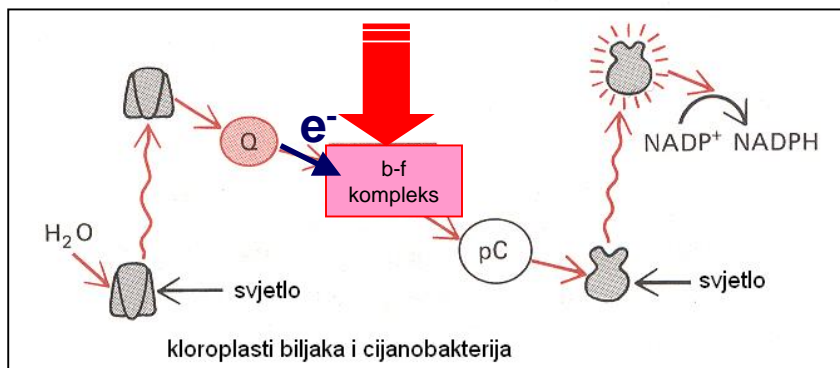
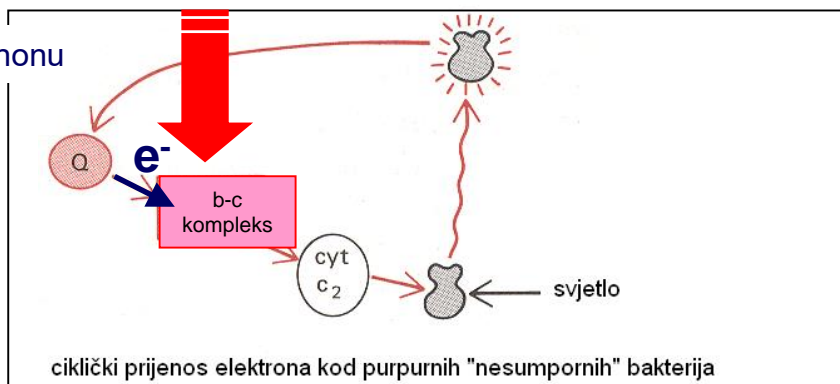
animacija: **Harvesting Light**  
[www.sumanasinc.com/webcontent/animations/biology.html](http://www.sumanasinc.com/webcontent/animations/biology.html)



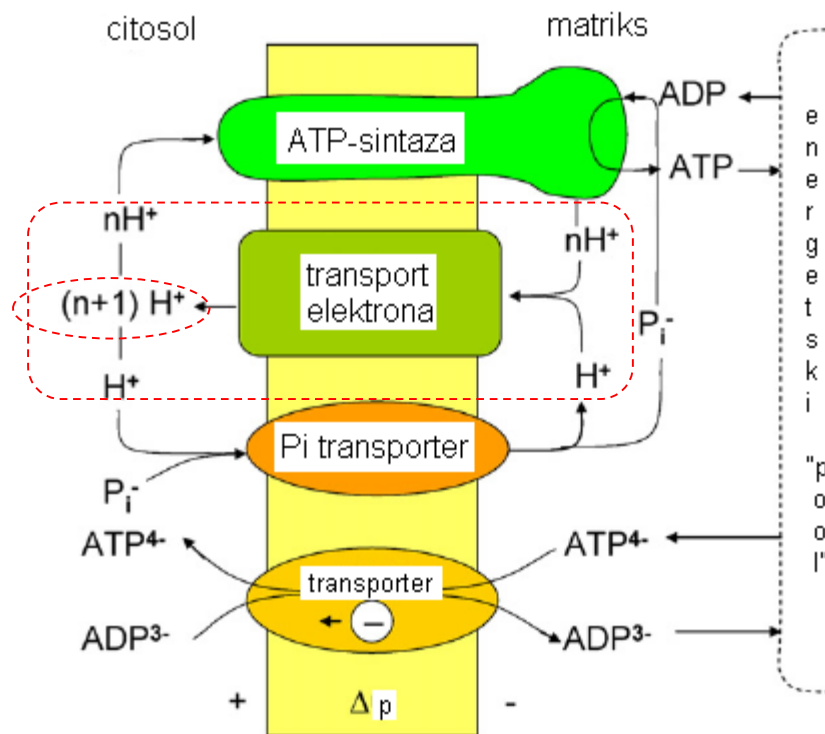
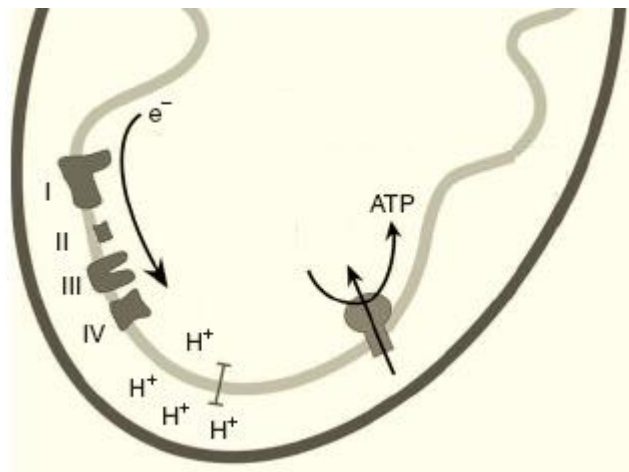


## RL: usporedba fotofosforilacije i oksidativne fosforilacije

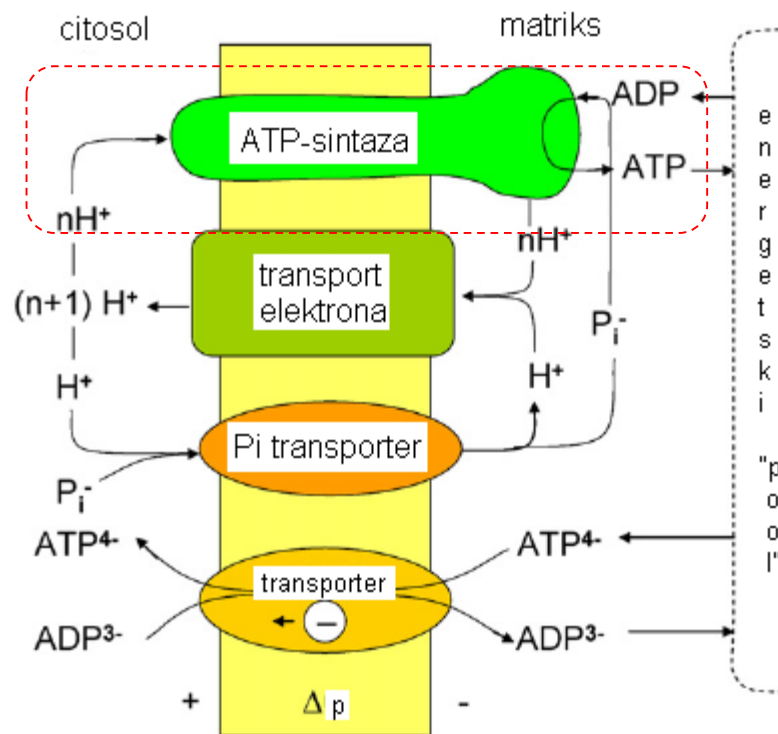
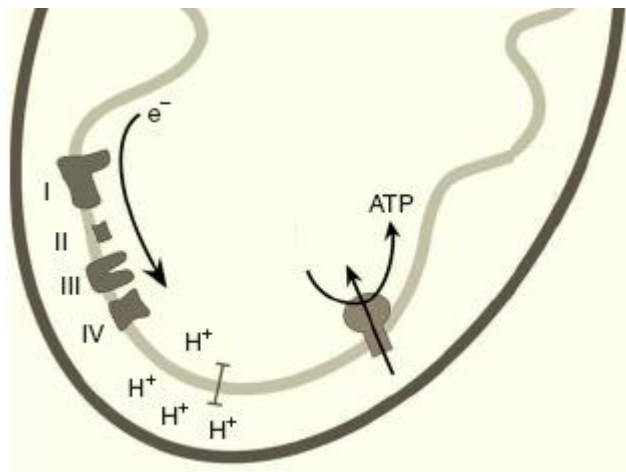
Q - prijenosnik  $e^-$  sličan ubikinonu



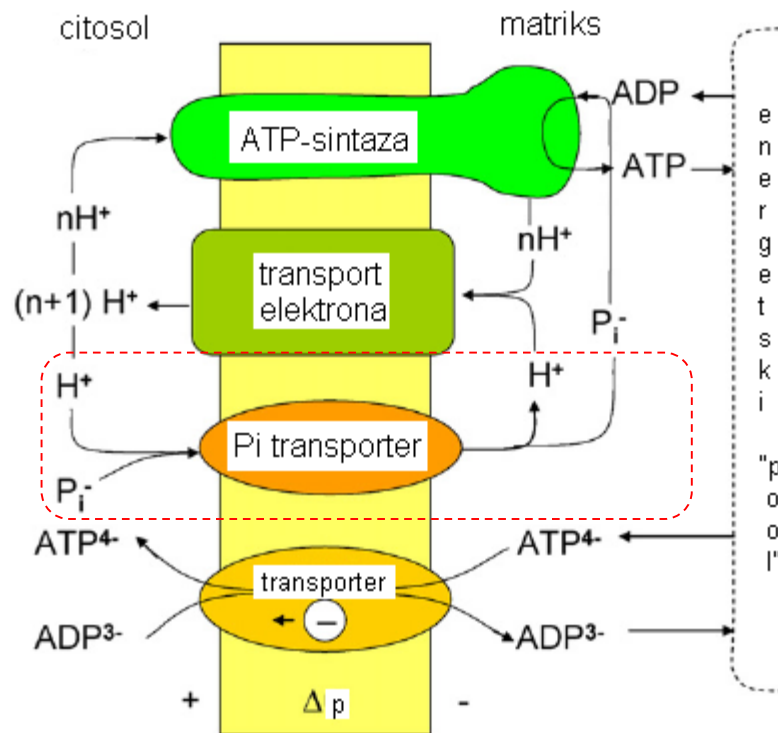
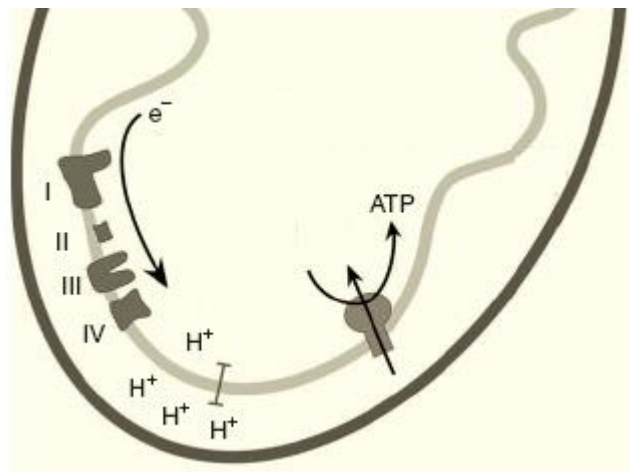
# regulacija transporta $H^+$ za sintezu citosolnog ATP (1)



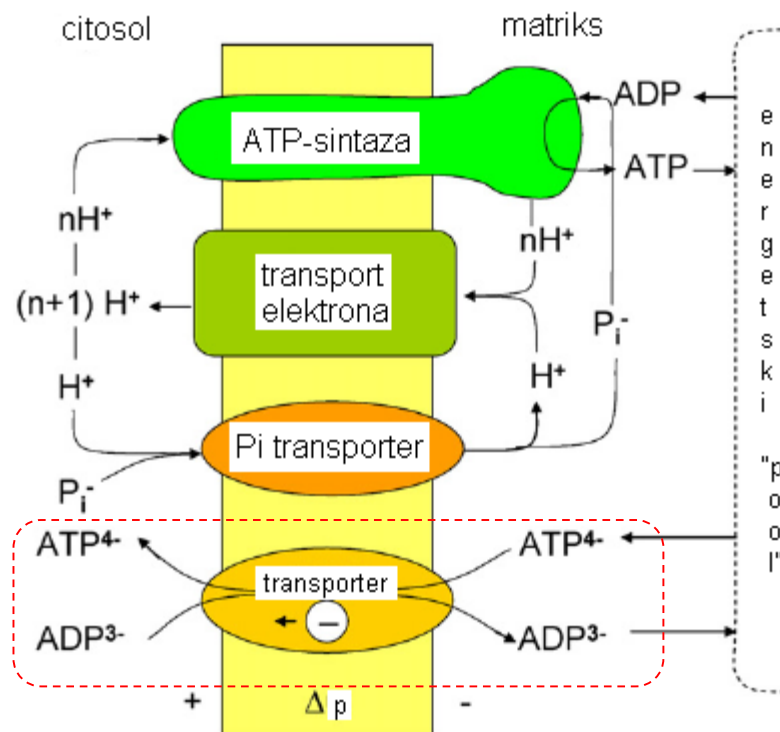
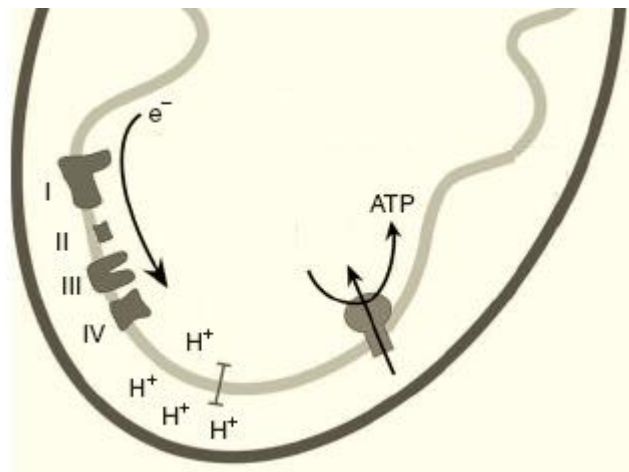
## regulacija transporta $H^+$ za sintezu citosolnog ATP (2)

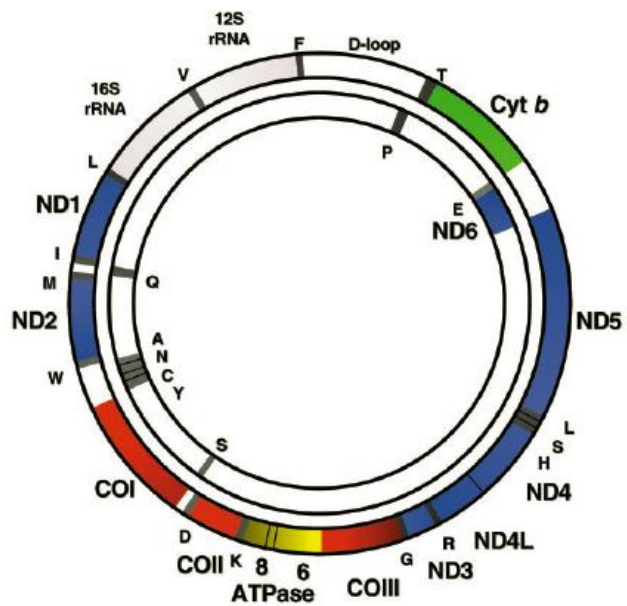
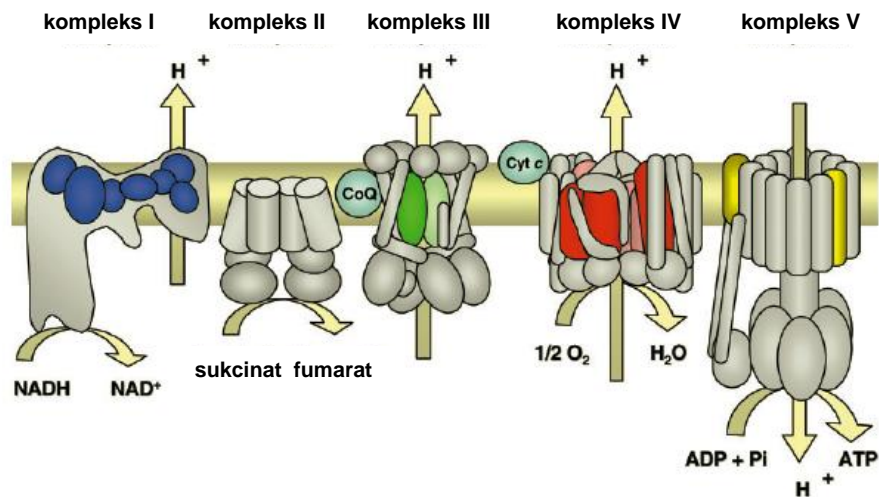


# regulacija transporta $H^+$ za sintezu citosolnog ATP (3)



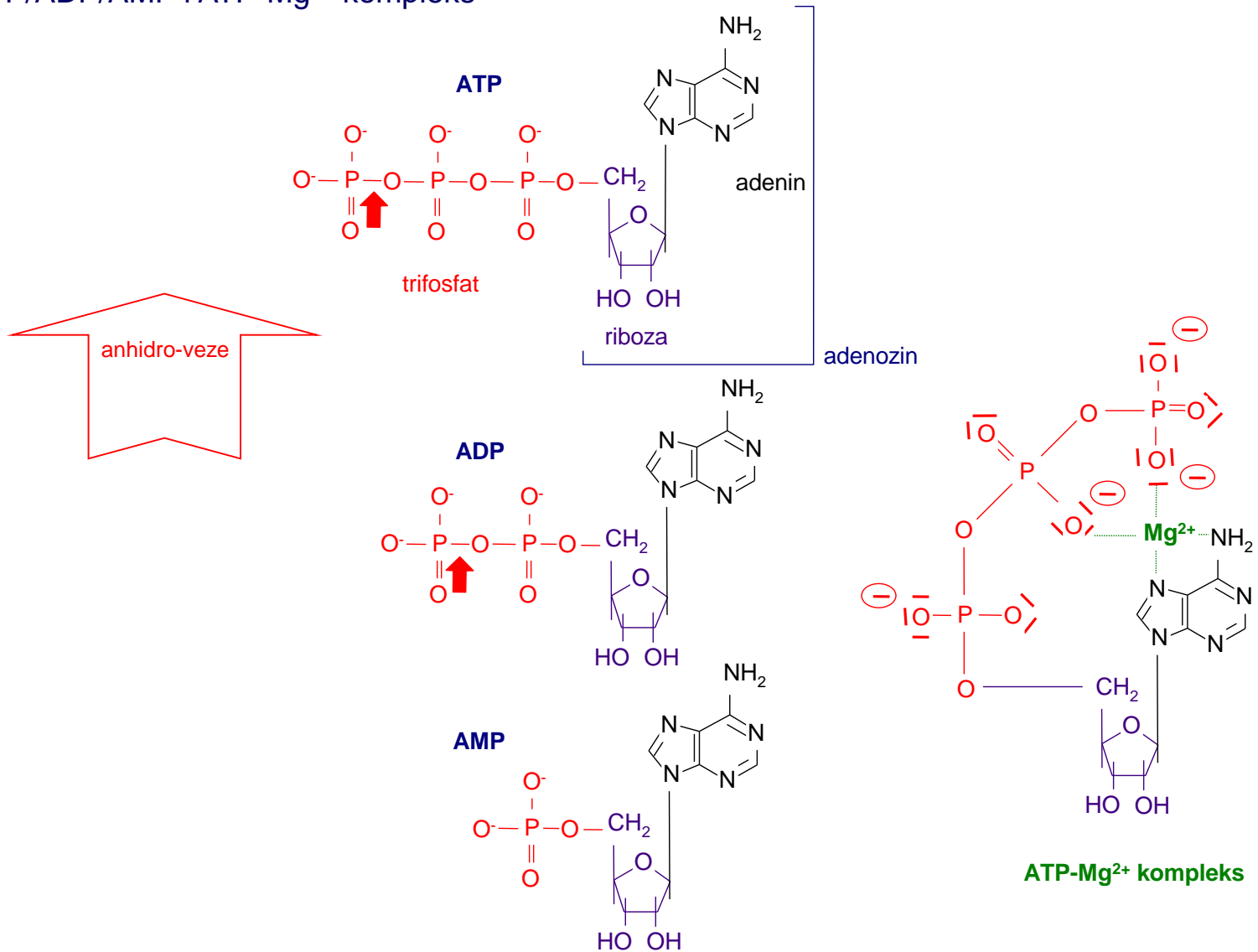
# regulacija transporta $H^+$ za sintezu citosolnog ATP (4)





# bioenergetika: neki važni energijom bogati spojevi

## · ATP/ADP/AMP i ATP-Mg<sup>2+</sup> kompleks





## ATP - energetska moneta stanice

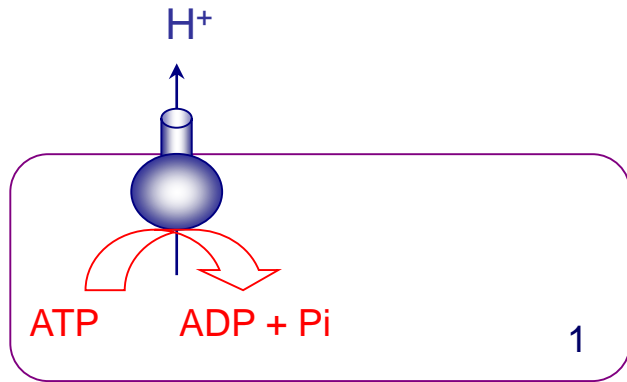
- promjena standardne slobodne energije hidrolize nekih energijom bogatih spojeva u fiziološkim uvjetima

| reakcija       |                         | $G^{\circ}$ (kJ mol <sup>-1</sup> ) |
|----------------|-------------------------|-------------------------------------|
| PEP            | piruvat + ortofosfat    | -61.9                               |
| 1,3-DPG        | 3-PG + ortofosfat       | -54.5                               |
| acetil-P       | acetat + ortofosfat     | -42.3                               |
| ATP            | AMP + difosfat          | -37.4                               |
| acetil-CoA     | acetat + koenzim A      | -35.1                               |
| aminoacil-tRNA | aminokiselina + tRNA    | -35.1                               |
| <b>ATP</b>     | <b>ADP + ortofosfat</b> | <b>-34.5</b>                        |
| difosfat       | 2 ortofosfata           | -33.4                               |
| glc-1-P        | glukoza + ortofosfat    | -20.9                               |
| alanin-glicin  | alanin + glicin         | -16.7                               |
| glc-P          | glc + ortofosfat        | -13.8                               |

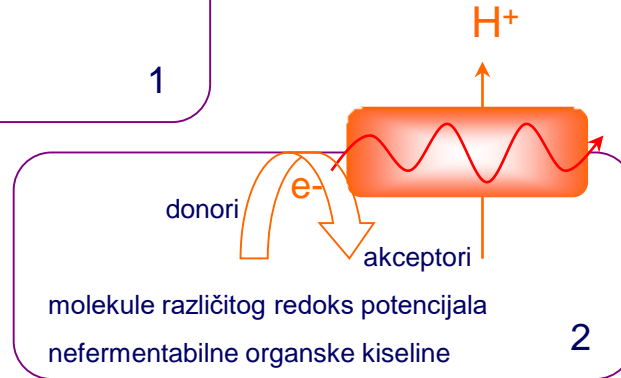
- ATP se po standardnoj slobodnoj energiji hidrolize nalazi između spojeva koji sudjeluju u energetske metabolizmu prilikom izgradnje organske tvari i spojeva koji predstavljaju građevne blokove za izgradnju osnovnih sastojaka stanice (povezuje procese katabolizma i anabolizma)



hipoteza: integracija organela za pridobivanje energije u eukariotsku stanicu ili evolucija oksidativne fosforilacije

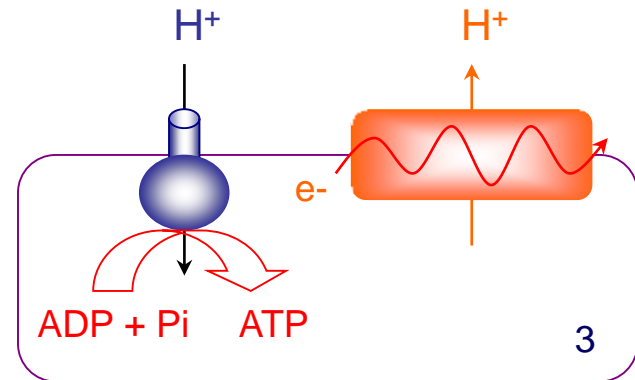


- fermentacija (proizvodnja kiselina), “unutarstanično zakiseljevanje”
- “pumpanje”  $H^+$  izvan stanice “na račun” energije hidrolize ATP



- “pumpanje”  $H^+$  bez hidrolize ATP, ATP se čuva za druge procese u stanici, membranski proteini energiju dobivenu tijekom prijenosa  $e^-$  sa različitih molekula koriste za “pumpanje”  $H^+$  izvan stanice

- elektrokemijski gradijent ( $\Delta p$ ) nastao djelovanjem respiratornog (disajnog) lanca (RL) koristi se za “pumpanje”  $H^+$  natrag u stanicu i na račun ovog transporta (pridobivene energije) fosforilira se ADP



## literatura

---

1. A. Barrientos (2002) *In vivo* in organello assessment of OXPHOS activities, *Methods* **26**, 307-316.
2. Grupa autora: *Molecular biology of the cell*, B. Alberts, D. Bray, J. Lewis, M. Raff, K. Roberts, J.D. Watson (eds.), Garland Publishing, Inc., New York (1983).
3. Grupa autora: *Biology of the procaryotes*, J.W. Lengeler, G. Drews, H.G. Schlegel (eds.) Georg Thieme Verlag, Stuttgart, Germany (1999).
4. Grupa autora: *Applied Microbial Physiology*, P.M. Rhodes, P.F. Stanbury (eds.), IRL Press at Oxford University Press, Oxford, UK (1997).
5. M. Huettemann, I. Lee, A. Pecinova, P. Pecina, K. Przyklenik, J.W. Doan (2008) Regulation of oxidative phosphorylation, the mitochondrial membrane potential, and their role in human disease, *Journal of Bioengineering and Biomembrane* **40**, 445-456.
6. M. Klingenberg (2008) The ADP and ATP transport in mitochondria and its carrier, *Biochimica et Biophysica Acta* **1778**, 1978-2021.
7. A.G. Moat, J.W. Foster: *Microbial physiology*, 3rd edition, A.G. Moat, J.W. Foster (eds.), Wiley-Liss, New York, USA (1995).
8. H. Schaegger (2002) Respiratory chain supercomplexes of mitochondria and bacteria, *Biochimica et Biophysica Acta* **1555**, 154-159.
9. J. Vonck, E. Schäfer (2008) Supramolecular organization of protein complexes in the mitochondrial inner membrane, *Biochimica et Biophysica Acta* , doi:10.1016/j.bbamcr.2008.05.19.
10. M. Zeviani, S. Di Donato (2004) Mitochondrial disorders, *Brain* **127**, 2153-2172.